

เชลลูโลสไฟบริลจากต้นยาสูบ สำหรับพอลีแล็กทิกแอซิด/เชลลูโลสไฟบริล เบลนด์

นางสาวพิชญาสินี โภมตรี

จุฬาลงกรณ์มหาวิทยาลัย

CHULALONGKORN UNIVERSITY

บทคัดย่อและแฟ้มข้อมูลฉบับเต็มของวิทยานิพนธ์ตั้งแต่ปีการศึกษา 2554 ที่ให้บริการในคลังปัญญาจุฬาฯ (CUIR)

เป็นแฟ้มข้อมูลของนิสิตเจ้าของวิทยานิพนธ์ ที่ส่งผ่านทางบันทึกวิทยาลัย

The abstract and full text of theses from the academic year 2011 in Chulalongkorn University Intellectual Repository (CUIR)

are the thesis authors' files submitted through the University Graduate School.

วิทยานิพนธ์นี้เป็นส่วนหนึ่งของการศึกษาตามหลักสูตรปริญญาวิทยาศาสตร์มหาบัณฑิต

สาขาวิชาปิโตรเคมีและวิทยาศาสตร์พอลิเมอร์

คณะวิทยาศาสตร์ จุฬาลงกรณ์มหาวิทยาลัย

ปีการศึกษา 2558

ลิขสิทธิ์ของจุฬาลงกรณ์มหาวิทยาลัย

CELLULOSE FIBRIL FROM TOBACCO STEM FOR POLY(LACTIC ACID)/CELLULOSE FIBRIL
BLEND



A Thesis Submitted in Partial Fulfillment of the Requirements
for the Degree of Master of Science Program in Petrochemistry and Polymer Science
Faculty of Science
Chulalongkorn University
Academic Year 2015
Copyright of Chulalongkorn University

หัวข้อวิทยานิพนธ์
โดย
สาขาวิชา
อาจารย์ที่ปรึกษาวิทยานิพนธ์หลัก
อาจารย์ที่ปรึกษาวิทยานิพนธ์ร่วม

เชลลูโลสไฟเบอร์จากต้นยาสูบ สำหรับพอลิแล็กทิกแอซิด/
เชลลูโลสไฟเบอร์ เบลนด์
นางสาวพิชญาสินี โภมลดรี
ปิตโรเมียและวิทยาศาสตร์พอลิเมอร์
รองศาสตราจารย์ ดร. กาวี ศรีกุลกิจ
อาจารย์ ดร. กฤษณา ศิรเลิศมุกุล

คณะวิทยาศาสตร์ จุฬาลงกรณ์มหาวิทยาลัย อนุมัติให้นับวิทยานิพนธ์ฉบับนี้เป็นส่วนหนึ่ง
ของการศึกษาตามหลักสูตรบริณญาณ habilitate

คณบดีคณะวิทยาศาสตร์

(รองศาสตราจารย์ ดร. พลกฤษณ์ แสงวนิช)

คณะกรรมการสอบบัณฑิต

ประธานกรรมการ

(ศาสตราจารย์ ดร. ภัทรพรรณ ประสาสน์สารกิจ)

อาจารย์ที่ปรึกษาวิทยานิพนธ์หลัก

(รองศาสตราจารย์ ดร. กาวี ศรีกุลกิจ)

อาจารย์ที่ปรึกษาวิทยานิพนธ์ร่วม

(อาจารย์ ดร. กฤษณา ศิรเลิศมุกุล)

กรรมการ

(รองศาสตราจารย์ ดร. วรรเวร โยเว่น)

กรรมการภายนอกมหาวิทยาลัย

(รองศาสตราจารย์ เสาระจน ช่วยจุลจิตร)



5672038723 : MAJOR PETROCHEMISTRY AND POLYMER SCIENCE

KEYWORDS: CELLULOSE, POLY(LACTIC ACID), POLYMER BLEND, POLY(VINYL ACETATE),
91 FIBRLS

PITCHAYASINEE KOMONTREE: CELLULOSE FIBRIL FROM TOBACCO STEM FOR
POLY(LACTIC ACID)/CELLULOSE FIBRIL BLEND. ADVISOR: ASSOC. PROF.
KAWEE SRIKULKIT, Ph.D., CO-ADVISOR: DR. KRISANA SIRALERTMUKUL, Ph.D.,
pp.

This work presented the preparation of tobacco cellulose fibril and investigation of its dispersibility in poly(lactic acid) in the presence of poly(vinyl acetate) compatibilizer. In this experiment, cellulose fibril was prepared by acid hydrolysis using 75 % (v/v) sulfuric acid at 0 °C for 12 h in the presence of chitosan as an anticoagulant. By this method, cellulose fibril in gel form with particle sizes of 10-15 microns was obtained. XRD result showed that cellulose fibril exhibited high crystallinity. Thus obtained cellulose fibril gel was employed for the preparation of poly(lactic acid)/cellulose fibril blend in the presence of poly(vinyl acetate) compatibilizer. Polymer blends were prepared by solution casting method. Compatibility study between cellulose fibril and poly(lactic acid) was evaluated by SEM, TGA, and DSC. SEM images revealed the homogenous blend without any observation of cellulose fibril in poly(lactic acid) matrix. TGA thermograms presented a single step degradation curve which was indicative of perfect poly(lactic acid)/cellulose fibril blend. In addition, DSC data indicated that cellulose fibril was capable of nucleating poly(lactic acid) by inducing the crystal structure when compared to neat poly(lactic acid). Lastly, XRD diffractograms provided the supportive result that cellulose fibril acted as a nucleating agent for poly(lactic acid) when employed in the presence of poly(vinyl acetate).



สารบัญ

หน้า

บทคัดย่อภาษาไทย.....	๑
บทคัดย่อภาษาอังกฤษ.....	๑
กิตติกรรมประกาศ.....	๙
สารบัญ.....	๙
สารบัญตาราง.....	๑
หน้า.....	๑
บทที่ ๑ บทนำ	๑
1.1 ความเป็นมาและความสำคัญของปัญหา	๑
1.2 วัตถุประสงค์ของการวิจัย	๓
1.3 ขอบเขตของการวิจัย	๓
1.4 ประโยชน์ที่คาดว่าจะได้รับ	๓
บทที่ ๒ วารสารปริทัศน์	๔
2.1 พอลิแล็กทิกแอซิด (Polylactic acid)	๔
2.1.1 การสังเคราะห์พอลิแล็กทิกแอซิด	๕
2.1.1.1 การสังเคราะห์พอลิแล็กทิกแอซิดจากการควบแน่นแบบอะซีโตรปิกดีไซเดรชัน	๕
2.1.1.2 การสังเคราะห์พอลิแล็กทิกแอซิดจากปฏิกิริยาพอลิเมอไรเซนแบบเปิดวง	๕
2.1.1.3 การสังเคราะห์พอลิแล็กทิกแอซิดจากปฏิกิริยาพอลิเมอไรเซนแบบควบแน่นและการใช้สารคุกคาม	๕
2.1.2 สมบัติของพอลิแล็กทิกแอซิด	๕
2.1.2.1 สมบัติของพอลิแล็กทิกแอซิดที่ทำให้เหมาะสมต่อการใช้งานด้านบรรจุภัณฑ์	๖
2.1.3 ตัวอย่างกระบวนการขึ้นรูปพอลิแล็กทิกแอซิด	๘

หน้า

2.1.3.1 การรีดพอลิแล็กทิกแอซิด	8
2.1.3.2 Injection molding.....	9
2.1.3.3 Stretch blow molding.....	9
2.1.3.4 การขึ้นรูปเป็นฟิล์มและแผ่น	11
2.1.4 การปรับปรุงสมบัติของพอลิแล็กทิกแอซิด	13
2.1.4.1 การทำโคโพลิเมอไรเซชันໄเรเซชัน	13
2.1.4.2 พลาสติไซเซชัน.....	13
2.1.4.3 การทำพอลิเมอร์ผสม	13
2.2 พอลีไวนิลแอซีเทต	14
2.3 เซลลูโลส (cellulose).....	15
2.3.1 เซลลูโลสนาโนไฟบริล	16
2.3.1.1 การเตรียมเซลลูโลสนาโนไฟบริล.....	16
2.4 พอลิเมอร์ผสม(polymer blend)	17
2.4.1 การผสมพอลิเมอร์	18
2.4.1.1 การผสมกันโดยเกิดปฏิกิริยาเคมี.....	18
1. การเติมบล็อกหรือกราฟต์โคโพลิเมอร์ (Addition of Block or Graft Copolymers).....	18
2. การเติมพอลิเมอร์ที่หมุนฟังก์ชันหรือส่วนที่ว่องไวต่อการทำปฏิกิริยา (Addition of	19
Functional/Reactive Polymers).....	19
3. การทำให้เกิดปฏิกิริยากราฟต์โคโพลิเมอร์หรือพอลิเมอไรเซชันในระหว่างการผสม	19
(In-situ Grafting Polymerization)	19
2.4.1.2 การผสมพอลิเมอร์โดยไม่เกิดปฏิกิริยาเคมี	20

2.4.2 กลไกสภาพเข้ากันได้ (Compatibility Mechanism).....	20
2.5 เทคนิคที่ใช้ในการวิเคราะห์สมบัติของพอลิเมอร์ผสม	21
2.5.1 XRD	21
2.5.2 การวิเคราะห์และตรวจสอบโครงสร้างทางเคมีด้วยเทคนิคฟูเรียร์ทรายสเปกตรัม อินฟราเรดスペกโตรสโคป (Fourier Transform Infrared Spectroscopr; FT-IR)..	22
2.5.3 การวิเคราะห์สมบัติทางความร้อน.....	23
2.5.3.1 เทอร์โมกราฟิเมทริกแอนนาไลซิส (Thermogravimetric analysis; TGA)...	24
2.5.3.2 ดิฟเฟอเรนเชียลสแกนนิ่งคัล ori เมทรี (Differential scanning calorimetry; DSC).....	25
2.6 ทฤษฎีที่สำคัญและงานวิจัยที่เกี่ยวข้อง	26
บทที่ 3 การทดลอง	28
3.1 วัสดุที่ใช้ในการทดลอง	28
3.1.1 ต้นยาสูบสายพันธุ์เวอร์จิเนียตามรูปที่ 3.1	28
3.1.2 เม็ดพลาสติกพอลิแล็กทิกแอชิด	28
3.1.3 สารเคมีที่ใช้ในการทดลอง.....	28
3.2 อุปกรณ์และเครื่องมือที่ใช้ในการทดลอง	29
3.3 เครื่องมือวิเคราะห์สำหรับการทดลองนี้	29
3.4 วิธีการทดลอง.....	29
3.4.1 การสกัดเยื่อเซลลูโลสจากต้นยาสูบ	29
3.4.2 การวิเคราะห์เยื่อเซลลูโลส	32
3.4.3 การเตรียมเซลลูโลสไฟบริล	32
3.4.4 การเตรียมพอลิเมอร์ผสมของเซลลูโลสไฟบริล/พอลิไวนิลแอซีเทด/พอลิแล็กทิกแอชิด	34

3.4.5 การวิเคราะห์โครงสร้างผลึกของเซลลูโลสไฟบริลและพอลิเมอร์สมด้วยเทคนิค XRD	36
3.4.6 การตรวจสอบสัณฐานวิทยาของเซลลูโลสไฟบริลและพอลิเมอร์สมด้วยเทคนิค SEM.....	37
3.4.4 การวิเคราะห์สมบัติทางความร้อนของพอลิเมอร์ผสานด้วยเทคนิคเทอร์โมการิเมทริก แอนอลิซิส (Thermal gravimetric analysis; TGA)	38
3.4.7 การวิเคราะห์สมบัติทางความร้อนของพอลิเมอร์ผสานด้วยเทคนิค DSC.....	39
3.4.8 การวิเคราะห์หมุนผงชันของพอลิเมอร์ผสานด้วยเทคนิคฟูเรียร์ทรายสฟอร์ม อินฟราเรด สเปกโตรสโคปี (FT-IR)	40
บทที่ 4 ผลการทดลองและวิจารณ์ผล.....	41
4.1 สรุปขอบเขตของงานวิจัย	41
4.2 การสกัดเซลลูโลสไฟบริล.....	41
4.2 การเตรียมเซลลูโลสไฟบริล	46
4.2.1 ขนาดของอนุภาคเซลลูโลสไฟบริล	48
4.2.2 การวิเคราะห์ความเป็นผลึกของเซลลูโลสไฟบริลด้วย XRD	49
4.2.3 ผลการวิเคราะห์สัณฐานวิทยาของเซลลูโลสไฟบริลด้วยกล้องจุลทรรศน์อิเล็กตรอน แบบส่องกราด (Scanning electron microscope, SEM)	50
4.2.4 การทดสอบการบวมตัวเซลลูโลสไฟบริลด้วยวิธี swelling test.....	51
4.3 การวิเคราะห์พอลิเมอร์ผสาน	53
4.2.2 การศึกษาสมบัติสัณฐานวิทยาของพอลิเมอร์ผสานด้วยเทคนิค SEM	53
4.2.3 การศึกษาสมบัติทางความร้อนของพอลิเมอร์ผสานด้วยเทคนิค TGA	55
4.2.4 การศึกษาสมบัติทางความร้อนของพอลิเมอร์ผสานด้วยเทคนิค DSC.....	58
จากผลการศึกษาความเป็นผลึกของพอลิเมอร์ผสาน และทำการวิเคราะห์เบอร์เจ้นต์ความ เป็นผลึกด้วยเทคนิค XRD เมื่อเบอร์เจ้นต์พอลิไวนิลแอซีเทตเพิ่มขึ้นจากตัวอย่างที่ 1 ถึงตัวอย่างที่ 4	62

4.2.6 การวิเคราะห์หมู่ฟังก์ชันของพอลิเมอร์สมมophilic/philic/ hydrophilic/hydrophobic และ FT-IR 62
บทที่ 5 สรุปผลการทดลองและข้อเสนอแนะ 65
5.1 สรุปผลการทดลอง 65
5.2 ข้อเสนอแนะ 66
รายการอ้างอิง 67
ประวัติผู้เขียนวิทยานิพนธ์ 91



สารบัญตาราง

หน้า

ตารางที่ 2. 1 สมบัติทางกายภาพของพอลิแล็กทิกแอซิด	12
ตารางที่ 2. 2 สมบัติทั่วไปของพอลิไวนิลแอซีเทต	14
ตารางที่ 2. 3 ขนาดของเซลลูโลสนาโนไฟบริล	16
ตารางที่ 3. 1 มาตรฐานการทดสอบสมบัติเยื่อเซลลูโลส	32
ตารางที่ 3. 2 สัดส่วนการผสมของพอลิแล็กทิกแอซิด/พอลิไวนิลแอซีเทต/เซลลูโลสไฟบริล	34
ตารางที่ 4. 1 ค่าการทดสอบสมบัติทางเคมีของเซลลูโลสจากต้นยาสูบ	43
ตารางที่ 4. 2 น้ำหนักของเซลลูโลสไฟบริลเปียกและถูกอบจนแห้งและเปอร์เซ็นต์การบวมตัว	52
ตารางที่ 4. 3 สัดส่วนโดยน้ำหนักและเปอร์เซ็นต์ของส่วนผสมในพอลิเมอร์ผสม	53
ตารางที่ 4. 4 อุณหภูมิการสลายตัวเมื่อได้รับความร้อนของพอลิเมอร์ผสม	57
ตารางที่ 4. 5 สมบัติทางความร้อนของพอลิเมอร์ผสม	60
ตารางที่ 4. 6 เปอร์เซ็นต์ความเป็นผลึกของพอลิเมอร์ผสม	61
ตารางที่ 4. 7 ค่าการดูดกลืนแสงด้วยเทคนิค FT-IR ของหมู่ฟังก์ชันต่างๆ	62
ตารางที่ 4. 1 ค่าการทดสอบสมบัติทางเคมีของเซลลูโลสจากต้นยาสูบ	43
ตารางที่ 4. 2 น้ำหนักของเซลลูโลสไฟบริลเปียกและถูกอบจนแห้งและเปอร์เซ็นต์การบวมตัว	52
ตารางที่ 4. 3 สัดส่วนโดยน้ำหนักและเปอร์เซ็นต์ของส่วนผสมในพอลิเมอร์ผสม	53
ตารางที่ 4. 4 อุณหภูมิการสลายตัวเมื่อได้รับความร้อนของพอลิเมอร์ผสม	57
ตารางที่ 4. 5 สมบัติทางความร้อนของพอลิเมอร์ผสม	60
ตารางที่ 4. 6 เปอร์เซ็นต์ความเป็นผลึกของพอลิเมอร์ผสม	61
ตารางที่ 4. 7 ค่าการดูดกลืนแสงด้วยเทคนิค FT-IR ของหมู่ฟังก์ชันต่างๆ	62

สารบัญรูปภาพ

	หน้า
รูปที่ 1. 1 ปฏิกริยาการสังเคราะห์พอลิแล็คทิกแอซิด	2
รูปที่ 2. 1 การสังเคราะห์พอลิแล็คทิกแอซิดและการย่อyle слайพอลิแล็คทิกแอซิด	4
รูปที่ 2. 2 ปฏิกริยาการย่อyle слайพอลิแล็คทิกแอซิดโดยน้ำ	6
รูปที่ 2. 3 การย่อyle слайของขวดที่ทำมาจากพอลิแล็คทิกแอซิด	7
รูปที่ 2. 4 เครื่องรีดแบบสกรูเดี่ยว.....	8
รูปที่ 2. 5 injection molding	9
รูปที่ 2. 6 Injection stretch blow molding ของพอลิแล็คทิกแอซิด	10
รูปที่ 2. 7 เครื่องขึ้นรูปแผ่นฟิล์ม	11
รูปที่ 2. 8 โครงสร้างโมเลกุลพอลิไวนิลแอซีเทต	14
รูปที่ 2. 9 โครงสร้างโมเลกุลเซลลูโลส.....	15
รูปที่ 2. 10 ปฏิกริยาการผสมระหว่าง พอลิเมทิลเมทาครีเลตและพอลิสไตรีนที่มีการเติมหมู่ไฮดรอกซิล	20
รูปที่ 2. 11 เทอร์โมแกรมทั่วไปที่ได้จากการวิเคราะห์ด้วยเทคนิค DSC	25
รูปที่ 3. 1 ต้นยาสูบพันธุ์เวอร์จิเนีย (ซ้าย) ต้นยาสูบสด (ขวา) ต้นยาสูบที่ผ่านการตากให้แห้ง	28
รูปที่ 3. 2 ขั้นตอนการสกัดเยื่อเซลลูโลสจากต้นยาสูบ	31
รูปที่ 3. 3 ขั้นตอนการเตรียมเซลลูโลสไฟบริล	33
รูปที่ 3. 4 ขั้นตอนการเตรียมพอลิเมอร์ผสม	35
รูปที่ 3. 5 เครื่อง x-ray Diffractometer ของบริษัท Bruker รุ่น X8 APEX (Fremont, California).....	36
รูปที่ 3. 6 กล้องจุลทรรศน์อิเล็กตรอนแบบส่องกราด บริษัท joel รุ่น jsm 6400	37
รูปที่ 3. 7 เครื่องเทอร์โมกราฟิเมทริกแอนาไลเซอร์ (Thermogravimetric analyzer, TGA) ของ บริษัท Mettler Toledo รุ่น TGA/SDTA851[°] (Columbus, Ohio)	38
รูปที่ 3. 8 เครื่อง Differential Scanning Calorimeters (DSC) ของบริษัท Perkin Elmer	39

หน้า

รูปที่ 3. 9 เครื่องฟูเรียร์ทرانส์ฟอร์มอินฟราเรดสเปกโตรสโคปี (Fourier transform infrared spectroscopy, FTIR) ของบริษัท Thermo Scientific รุ่น Nicolet 6700 (Madison, Wisconsin)	40
รูปที่ 4. 1 (ซ้าย) ต้นยาสูบที่ผ่านการตากแห้ง (ขวา) เยื่อเซลลูโลสที่สกัดได้.....	41
รูปที่ 4. 2 ภาพ SEM ที่กำลังขยาย 100 แสดงลักษณะเยื่อเซลลูโลส ที่สกัดได้จาก ต้นยาสูบ	42
รูปที่ 4. 3 IR spectrum ของเซลลูโลสจากต้นยาสูบ.....	44
รูปที่ 4. 4 XRD diffractrogram ของเยื่อเซลลูโลสจากต้นยาสูบ.....	45
รูปที่ 4. 5 XRD diffractrogram ของต้นยาสูบก่อนทำการแยกสกัด	45
รูปที่ 4. 6 เซลลูโลสเจล (ซ้าย) เซลลูโลสไฟบริลที่เตรียมในระบบไม่ผสมกับไคโตซาน (ขวา) เซลลูโลสไฟบริลที่เตรียมในระบบผสมกับไคโตซาน	47
รูปที่ 4. 7 การกระจายตัวในน้ำของเซลลูโลสไฟบริล (ซ้าย) เซลลูโลสไฟบริลที่เตรียมโดยผสมกับไคโตซาน (ขวา) เซลลูโลสไฟบริลที่เตรียมโดยไม่ผสมกับไคโตซาน	47
รูปที่ 4. 8 การกระจายตัวของขนาดอนุภาคเซลลูโลสไฟบริล (A) เซลลูโลสไฟบริลที่เตรียมในระบบเติมไคโตซาน (B) เซลลูโลสไฟบริลที่เตรียมในระบบไม่เติมไคโตซาน	48
รูปที่ 4. 9 XRD diffractograms ของ A) เซลลูโลสไฟบริลที่เตรียมในระบบเติมไคโตซาน B) เซลลูโลสไฟบริลที่เตรียมในระบบไม่มีไคโตซาน	50
รูปที่ 4. 10 ภาพ SEM แสดงสัมผaanวิทยาของเซลลูโลสไฟบริลที่กำลังขยาย 500 A) เซลลูโลสไฟบริลที่เตรียมในระบบผสมไคโตซาน B) เซลลูโลสไฟบริลที่เตรียมในระบบไม่ผสมไคโตซาน.....	51

บทที่ 1

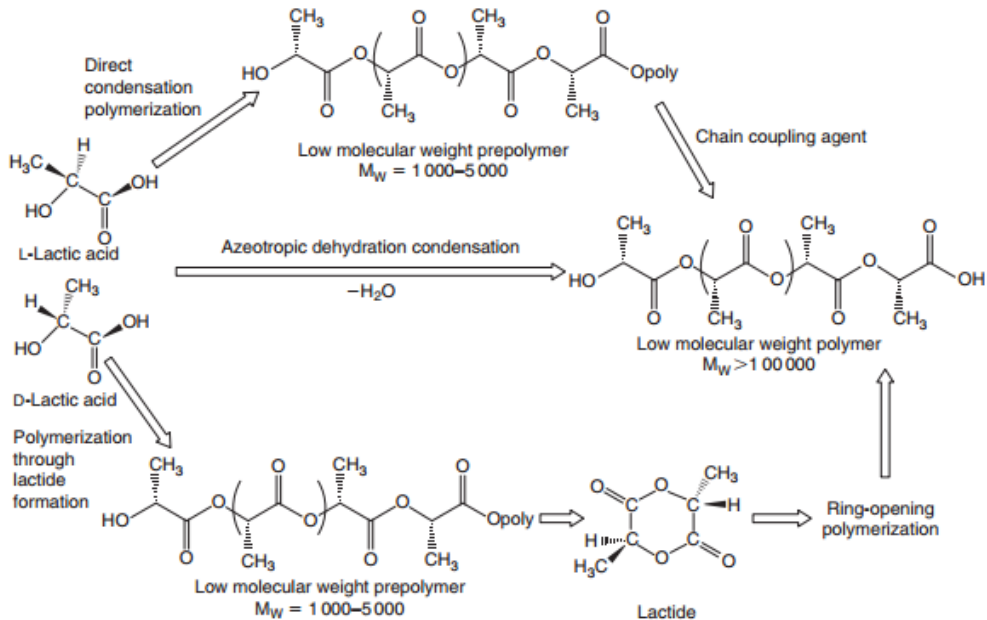
บทนำ

1.1 ความเป็นมาและความสำคัญของปัญหา

ในปัจจุบัน ผลิตภัณฑ์ที่ผลิตขึ้นจากพลาสติก ซึ่งมีจำนวนมากมากมหาศาล และกำลังเป็นปัญหาทางมลภาวะสำคัญ ทั้งในเรื่องของความเป็นอันตราย เช่น ผลิตภัณฑ์ฟومพลาสติก และในเรื่องของการกำจัดหรือการทารายพลาสติกสังเคราะห์เหล่านี้ เนื่องจากไม่สามารถย่อยลายได้ หรือใช้เวลาในการย่อยลายนานหลายสิบปี ทำให้มีงานวิจัยเกิดขึ้นจำนวนมากเพื่อหาทางเลือกในการนำวัสดุอื่นมาใช้แทน ที่สามารถกำจัดหรือย่อยลายได้ง่ายในธรรมชาติ อาทิ วัสดุจากธรรมชาติ จำพวก แป้งจาก มันสำปะหลัง ข้าวโพด ชานอ้อย เป็นต้น และพลาสติกชีวภาพที่ย่อยลายได้ (biodegradable plastic) ในกลุ่มเทอร์โมพลาสติก เช่น พอลิแล็คทิกแอซิด หรือ พีแอลเอ (Polylactic acid,PLA), พอลิบูтиลีนซัคซิเนต หรือ พีบีเอส(Polybutylsuccinate, PBS) เป็นต้น

พอลิแล็คทิกแอซิด เป็นพลาสติกย่อยลายได้ทางชีวภาพที่เป็นที่นิยมในปัจจุบัน ด้วยมีสมบัติที่ดีคือ สามารถย่อยลายได้ในธรรมชาติ ไม่เป็นพิษต่อสิ่งแวดล้อม ขึ้นรูปได้ที่อุณหภูมิต่ำกว่าเมื่อเทียบกับพลาสติกสังเคราะห์อื่น สามารถทำให้มีรูปร่างที่หลากหลายได้ นอกจากนี้ยังมีความสามารถในการซึมผ่านผิวน้ำและอากาศที่ดี พอลิแล็คทิกแอซิด สังเคราะห์มาจากกรดแล็คทิก ที่ได้จากการหมักแป้ง โดยนำแป้งมาทำการหมักด้วยจุลินทรีย์ได้เป็นกรดแล็คทิก(lactic acid) จากนั้นนำแล็คทิกมอนอเมอร์ ไปทำปฏิกิริยาพอลิเมอร์ไวเซ่นดังรูปที่ 1.1 ได้เป็นพอลิแล็คทิกแอซิด

พอลิแล็คทิกแอซิด มีข้อจำกัด คือ มีลักษณะทางกายภาพที่แข็ง เประ สมบัติทนทานต่อความร้อนไม่ดีนัก จึงทำให้ไม่เหมาะสมสำหรับการนำมาประยุกต์ใช้งานที่ต้องการความยืดหยุ่นสูง



รูปที่ 1. 1 ปฏิกิริยาการสังเคราะห์พอลิแล็กทิกแอซิด [1, 2]

ด้วยข้อจำกัดในการใช้งานของพอลิแล็กทิกแอซิด คือ มีความเปราะ ทำให้ไม่ทนทาน จึงได้มีงานวิจัยที่ทำการปรับปรุงสมบัติของพอลิแล็กทิกแอซิด เพื่อเพิ่มความยืดหยุ่นและทนต่อแรงกระแทก ให้กับพอลิแล็กทิกแอซิด โดยการผสมกับพอลิเมอร์ชนิดอื่น หรือการเติมสารก่อผลึก (nucleating agent) ชนิดต่างๆ เช่น อะติ อนุภาคเคลย์(clay) คาร์บอนนาโนทิวบ์(carbon nanotube) เส้นใยพลาสติกสังเคราะห์(synthetic fiber) เส้นใยเซลลูโลส (cellulose fiber) และอนุภาควิสเกอร์(Whisker) เป็นต้น ซึ่งสารตัวเติมที่น่าสนใจตัวหนึ่ง คือ เส้นใยเซลลูโลสขนาดเล็ก เช่น เซลลูโลสไฟบริล(fibril cellulose) ที่มีข้อดีหลายอย่างเมื่อเปรียบเทียบกับเส้นใยสังเคราะห์ เช่น มีน้ำหนักเบา ความหนาแน่นต่ำ ราคาถูก มีความเป็นพิษต่ำ และสามารถย่อยสลายได้เองตามธรรมชาติ

ซึ่งในงานวิจัยนี้เลือกเซลลูโลสไฟบริลเพื่อมาปรับปรุงสมบัติของพอลิแล็กทิกแอซิด โดยทำการแยกสกัดเซลลูโลสจากต้นยาสูบและนำมาทำการแปรรูปให้เป็นเซลลูโลสไฟบริลทั้งนี้ต้นยาสูบเป็นวัตถุดีบที่นำสนในเนื้องจากประเทศไทยมีการปลูกต้นยาสูบเป็นจำนวนมากเพื่อนำใบยาสูบมาใช้ผลิตบุหรี่ ในขณะที่ส่วนของลำต้นซึ่งมีปริมาณมากกว่า 306,000 ตันตันสดหรือประมาณ 62,000 ตันตันแห้งต่อปี เกษตรกรจะกำจัดทิ้งโดยการเผาจึงเป็นการสร้างมลพิษทางอากาศเนื่องจากยังคงมีส่วนของนิโคตินหลงเหลือในลำต้น งานวิจัยนี้จึงมีความสนใจที่จะนำเซลลูโลสจากต้นยาสูบมาสกัด เพื่อลดขยะและมลพิษจากการปลูกต้นยาสูบ

ดังนั้นงานวิจัยนี้ จึงได้มีการพัฒนาเทคนิคการทำพอลิเมอร์สมาระห่วง พอลิแล็กทิกแอซิด/พอลิไวนิลแอซิเทต/เซลลูโลสไฟบริลจากนั้นทำการวิเคราะห์สมบัติความเข้ากันได้ สมบัติทางความร้อน และสัณฐานวิทยาของพอลิเมอร์สมที่เตรียมได้ โดยในส่วนของเซลลูโลสไฟบริลได้ทำการแยกสกัดเซลลูโลสจากต้นยาสูบและนำมาปรุงเป็นเซลลูโลสไฟบริล เพื่อใช้เป็นสารช่วยเสริมแรงสร้างความยึดหยุ่นให้พอลิแล็กทิกแอซิด

1.2 วัตถุประสงค์ของการวิจัย

1. เตรียมเซลลูโลสไฟบริลจากต้นยาสูบ
2. พัฒนาเทคนิคการผลิตเซลลูโลสไฟบริลและพอลิแล็กทิกแอซิด
3. ศึกษาความเข้ากันได้และสมบัติทางกายภาพของพอลิเมอร์สมที่เตรียมได้

1.3 ขอบเขตของการวิจัย

1. สกัดเยื่อเซลลูโลสจากต้นยาสูบ
2. เตรียมเซลลูโลสไฟบริล
3. ผสมเซลลูโลสไฟบริลกับพอลิแล็กทิกแอซิดโดยอาศัยพอลิไวนิลแอซิเทตเป็นตัวผسانระหว่างพอลิแล็กทิกแอซิดและเซลลูโลสไฟบริล
4. วิเคราะห์ความเข้ากันได้ระหว่างพอลิแล็กทิกแอซิดและเซลลูโลสไฟบริล

1.4 ประโยชน์ที่คาดว่าจะได้รับ

ได้พอลิเมอร์สมาระห่วงพอลิแล็กทิกแอซิดและเซลลูโลสไฟบริลที่มีความเข้ากันได้

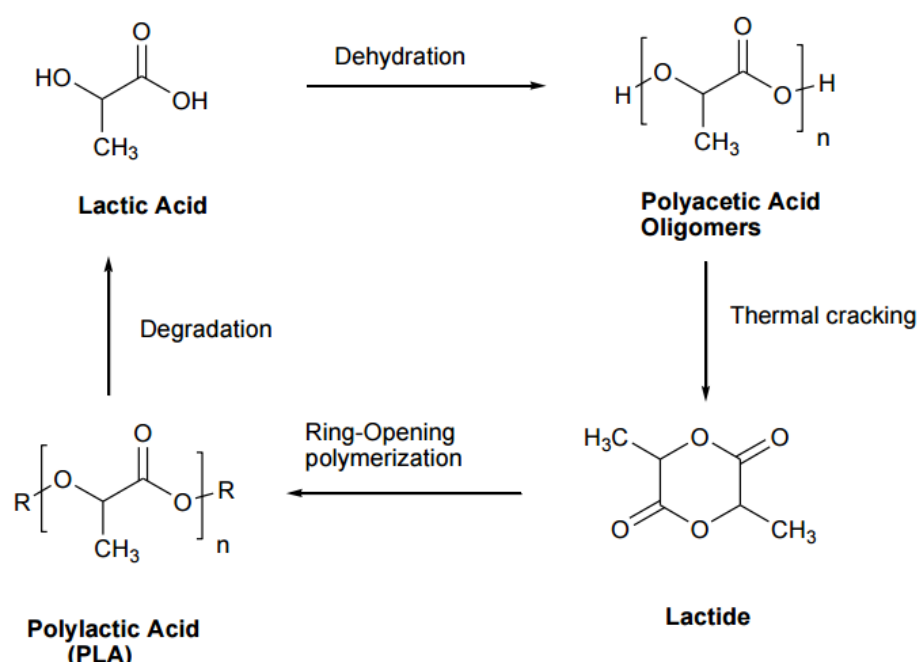
บทที่ 2

วารสารปริทัศน์

2.1 พอลิแล็คทิกแอซิด (Polylactic acid)

พอลิแล็คทิกแอซิดเป็นเทอร์โมพลาสติกกลุ่มไบโอดอลิเมอร์ซึ่งสามารถย่อยลายเป็นโมเลกุลเล็กๆ ได้โดยวิธีการทางชีวเคมี เช่น ถูกย่อยลายด้วยน้ำยาอย่างจุลินทรีย์ โมเลกุลเล็กๆ ที่เกิดขึ้นจะไม่เป็นพิษต่อสิ่งแวดล้อม เช่น คาร์บอนไดออกไซด์ น้ำ [1, 3] จัดเป็นอะลิฟาติกไบโอดอลิเมอร์พอลิเอสเทอร์กิดจากปฏิกิริยาพอลิเมอร์ไรเรชันแบบควบแน่นโดยการเปิดวงของกรดแล็คทิกกรดแล็คทิกเป็นกรดที่ได้จากการหมักสารประกอบคาร์บอไฮเดรต เช่น แป้งข้าวโพด แป้งมัน สำปะหลัง น้ำตาล และพอลิแล็คทิกแอซิดสามารถถูกไฮเดรชันให้กลับมาเป็นกรดแล็คทิกได้ดังรูปที่

2.1 [4]



รูปที่ 2. 1 การสังเคราะห์พอลิแล็คทิกแอซิดและการย่อยลายพอลิแล็คทิกแอซิด [5]

พอลิแล็คทิกแอซิดสามารถสังเคราะห์ได้จากการดัดอัลฟ้าไฮดรอกซี (α -Hydroxy acids) ซึ่งประกอบด้วย 2 ไอโซเมอร์ คือ แอล-แล็คทิกทิกแอซิด (L-Lactic acid) และ ดี-แล็คทิกทิกแอซิด(D-Lactic acid) ซึ่งเป็นอิโนนีโซเมอร์

2.1.1 การสังเคราะห์พอลิแล็คทิกแอซิด ทำได้หลายวิธี คือ

2.1.1.1 การสังเคราะห์พอลิแล็คทิกแอซิดจากการควบแน่นแบบซีโอิโตรปิกดีไซเดรชัน

การสังเคราะห์พอลิแล็คทิกแอซิดจากการควบแน่นแบบซีโอิโตรปิกดีไซเดรชัน ลดความดันของกรดแล็คทิกที่ 130 องศาเซลเซียส เพื่อกำจัดน้ำเป็นเวลา 2 – 3 ชั่วโมง แล้วเติมตัวเร่งและใช้เวลาต่ออีก 30 – 40 ชั่วโมง แต่พอลิเมอร์ที่ได้มีความบริสุทธิ์เพียงพอ อีกทั้งยังถ่ายตัวได้ง่าย เหมาะสมสำหรับเตรียมพอลิเมอร์เพื่อใช้ในงานทางการแพทย์เพื่อปลดปล่อยสารช้าลงจึงจำเป็นที่ต้องทำให้พอลิเมอร์บีริสุทธิ์ก่อนนำไปใช้งาน [6]

2.1.1.2 การสังเคราะห์พอลิแล็คทิกแอซิดจากปฏิกิริยาพอลิเมอไรเซชันแบบเบิตวง

พอลิเมอร์ที่ได้ เรียกว่า พอลิแล็คไทด์ เกิดจากการควบคุมโครงสร้างโดยการแตกวงแล็กไทด์ ด้วยความร้อนและใช้ทินออกโภเอตเป็นตัวเร่งปฏิกิริยา วิธีนี้จะได้พอลิแล็คทิกแอซิดที่มีน้ำหนักโมเลกุลสูงและมีความบริสุทธิ์ จึงเหมาะสมแก่การใช้งานในทางพานิชย์ อีกทั้งสามารถสังเคราะห์ผ่านกระบวนการแบบสารละลายแบบเบาๆ แบบหลอมเหลว แบบแขวนลอยก็ได้ [7]

2.1.1.3 การสังเคราะห์พอลิแล็คทิกแอซิดจากปฏิกิริยาพอลิเมอไรเซชันแบบควบแน่นและใช้สารคุณค่าว

เป็นวิธีที่ง่ายที่สุด โดยนำกรดแล็คทิกและใช้ตัวเร่งปฏิกิริยาเป็นตัวลดความดัน ทำให้เกิดน้ำออกมาน้ำหนักโมเลกุลสูงและสามารถควบคุมการจัดเรียงตัวของโครงสร้างทางเคมีได้และยากที่จะได้น้ำหนักโมเลกุลสูงด้วย แต่การใช้สารคุณค่าวเป็นการเพิ่มต้นทุนและยากต่อการผลิต และเกิดการย่อยสลายทางชีวภาพได้ยากขึ้น [6]

2.1.2 สมบัติของพอลิแล็คทิกแอซิด

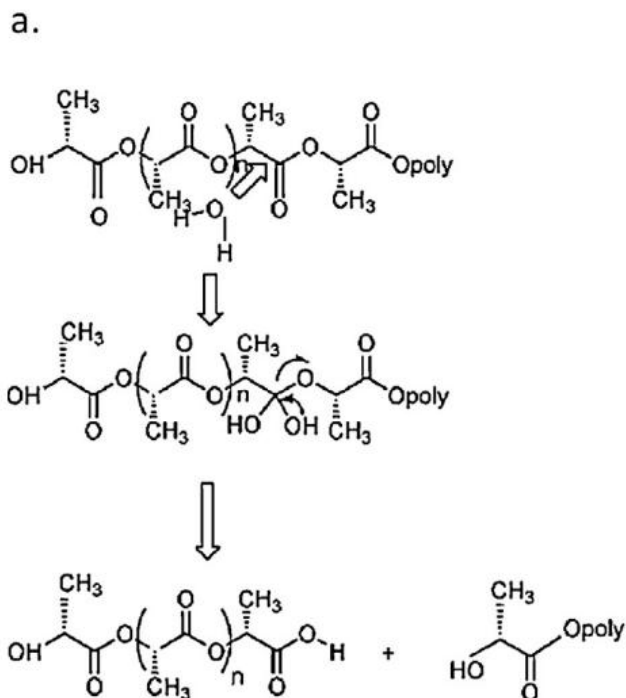
พอลิแล็คทิกแอซิดเป็นเทอร์โมพลาสติก พอลิแล็คทิกแอซิดมีสมบัติเชิงกลดีหรือไม่ขึ้นอยู่กับน้ำหนักโมเลกุลและสเตอโริโอดิเมติคิล พอลิแล็คทิกแอซิดที่มีน้ำหนักโมเลกุลสูงสามารถนำมาใช้งานได้ดีเช่นเดียวกับพอลิเมอร์จากอุตสาหกรรมปิโตรเลียม สามารถนำไปใช้เป็นผลิตภัณฑ์บรรจุอาหารได้ เช่นเดียวกับพอลิเอทิลีนเทเรฟทาเลต(PET) เนื่องจากมีสมบัติการป้องกันการซึมผ่านของกลิ่นได้ดี แต่พอลิแล็คทิกแอซิดที่มีน้ำหนักโมเลกุลต่ำจะมีความ perse จึงไม่สามารถใช้เป็นบรรจุภัณฑ์อาหารได้ อีกทั้งพอลิแล็คทิกแอซิดยังมีสมบัติของ

ความไม่ชอบน้ำ แต่เมื่อลดน้ำหนักโมเลกุลลงสมบัติความไม่ชอบน้ำจะลดลงไป แต่จะมีความแข็งเพิ่มขึ้น อีกทั้งพอลิแล็กทิกแอซิดค่อนข้างมีราคาแพงจึงมีการปรับปรุงสมบัติและต้องการลดต้นทุนการผลิต [8]

2.1.2.1 สมบัติของพอลิแล็กทิกแอซิดที่ทำให้เหมาะสมต่อการใช้งานด้านบรรจุภัณฑ์

1. สมบัติด้านความโปร่งแสง: แสดงสามารถส่องผ่านได้ดีกว่าพอลิเอทิลีนเทเรฟทาเลต และพอลิสไตรีน

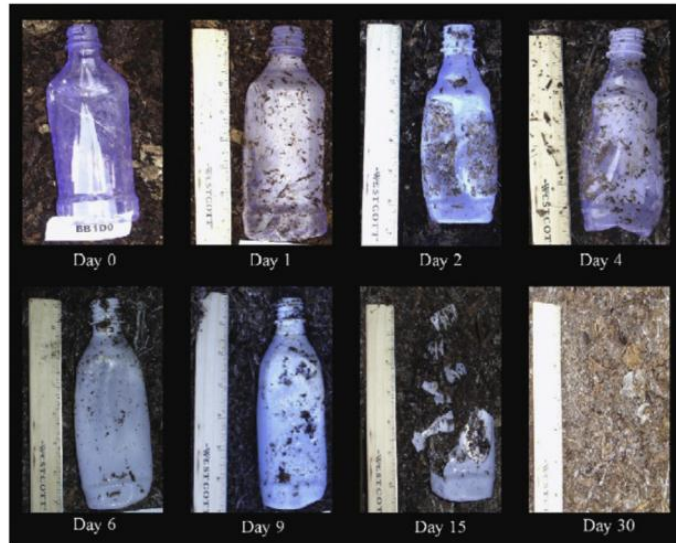
2. การย่อยสลาย: กระบวนการย่อยสลายพอลิแล็กทิกแอซิดมี 2 ขั้นตอน คือ การย่อยสลายด้วยน้ำและการย่อยสลายด้วยเอนไซม์ การย่อยสลายด้วยน้ำเริ่มจากการแพร่ของน้ำเข้าสู่พอลิเมอร์แล้วน้ำจะเข้าไปจับหมู่อีสเทอร์ในโมเลกุลของพอลิเมอร์โดยการจับกันจะจับแบบสูม ดังรูปที่ 2.2



รูปที่ 2.2 ปฏิกิริยาการย่อยสลายพอลิแล็กทิกแอซิดโดยน้ำ

การแยกหมู่อีสเทอร์ในพอลิแล็กทิกแอซิดโดยเอนไซม์จากแบคทีเรียและฟังไจ เกิดปฏิกิริยาเรตักชันในสายของพอลิแล็กทิกแอซิดจะได้กรดแล็กทิก ซึ่งสามารถเปลี่ยนเป็นแก๊ส คาร์บอนไดออกไซด์ น้ำและชีวมัสในดินได โดยการเกิดขั้นตอนการย่อยสลายด้วยน้ำจะเกิดภายใน

โมเลกุลของพอลิแล็คทิกแอซิด และขั้นตอนที่สองการย่ออย่างสลายด้วยจุลินทรีย์จะเกิดที่พอลิเมอร์ส่วนผิว [9]



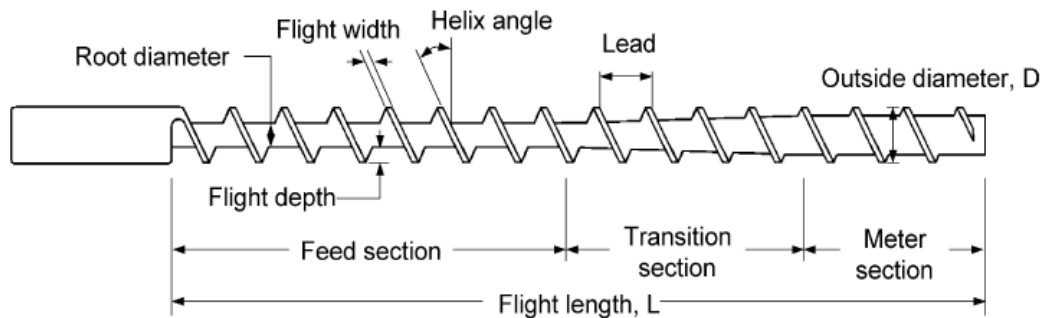
รูปที่ 2. 3 การย่ออย่างสลายของขวดที่ทำมาจากพอลิแล็คทิกแอซิด [10]

3. คุณสมบัติทางชีววิทยา: ผลของการบวนการย่ออย่างสลายพอลิแล็คทิกแอซิดเป็นดังรูปที่ 2.3 ซึ่งการย่ออย่างสลายพอลิแล็คทิกแอซิดจะได้สารที่ไม่มีความเป็นพิษ พอลิแล็คทิกแอซิดจึงมีความเหมาะสมที่จะนำไปใช้ในทางอาหารและยา การปลูกถ่ายอวัยวะในร่างกายมนุษย์และยังทำเป็นตัวนำส่งยา การไฮโดรไลซิสภายในสิ่งมีชีวิตขึ้นอยู่กับรูปร่างของพอลิเมอร์และอุณหภูมิ ความเข้มข้นของตัวเร่งปฏิกิริยา น้ำหนักโมเลกุลของพอลิเมอร์ [11]

พอลิแล็คทิกแอซิดมีราคาถูกและกำลังได้รับความนิยมเพื่อนำมาใช้แทนพอลิเมอร์จากปีโตรเลียม [12] โดยส่วนใหญ่นิยมนำมาใช้เป็นบรรจุภัณฑ์เนื่องจากสมบัติทางเคมีและปัจจัยด้านชีววิทยา เนื่องจากในปัจจุบันต้องการวัสดุที่หลีกเลี่ยงความเป็นพิษต่อสิ่งแวดล้อม และลดการสร้างขยะ [13]

2.1.3 ตัวอย่างกระบวนการขึ้นรูปพอลิแล็คทิกแอชิด

2.1.3.1 การรีดพอลิแล็คทิกแอชิด กระบวนการรีดเป็นกระบวนการสำหรับการทำให้พอลิแล็คทิกแอชิดหลอมเหลวโดยเครื่องรีดสามารถขึ้นรูปพอลิแล็คทิกแอชิดแบบฉีด แบบฟิล์มได้



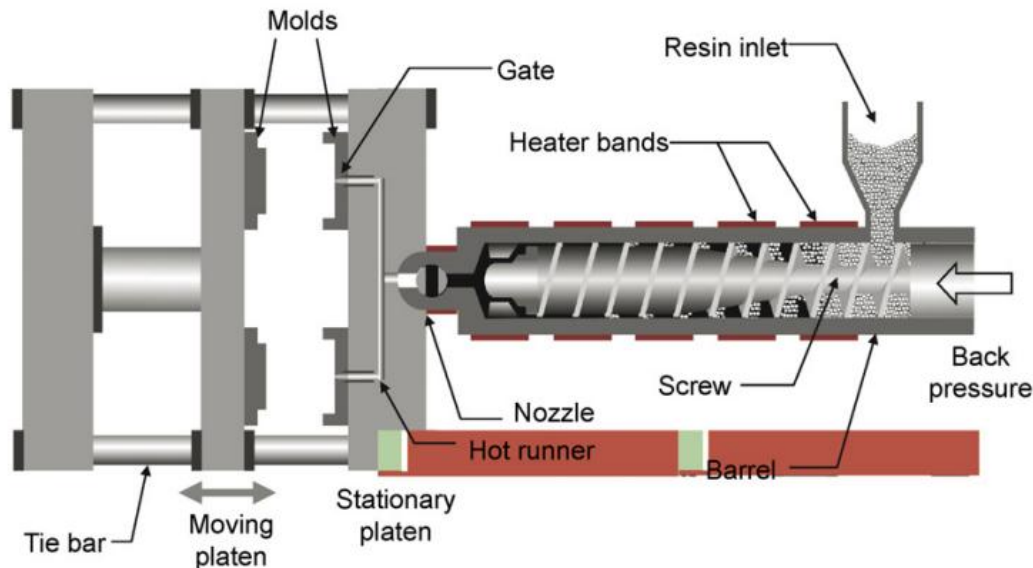
รูปที่ 2.4 เครื่องรีดแบบสกรูเดี่ยว

จากรูปที่ 2.4 เครื่องรีดแบบสกรูเดี่ยวมีส่วนประกอบสำคัญ 3 ส่วน คือ 1) ส่วนของการเติมพอลิเมอร์ เป็นส่วนที่ทำหน้าที่เหมือนส่วนโคนเติมเม็ดพอลิเมอร์เข้าเครื่องที่ส่วนนี้แล้วเครื่องจะส่งเม็ดพอลิเมอร์เข้าสู่สกรู 2) ส่วนของการเปลี่ยนรูปพอลิเมอร์โดยส่วนนี้จะทำหน้าที่บีบอัดเม็ดพอลิเมอร์หรือทำให้พอลิเมอร์หลอมเหลว ส่วนนี้จะอาศัยแรงเสียดทานและเพิ่มการสัมผัสระหว่างเม็ดพอลิเมอร์กับเครื่องรีด 3) ส่วนของการควบคุม ส่วนนี้จะทำหน้าที่เสมือนปั๊มควบคุมปริมาณของพอลิเมอร์ที่หลอมให้ได้ตามต้องการ

อัตราส่วนของความยาวสกรูต่อเส้นผ่านศูนย์กลางสกรูจะเป็นตัวกำหนดแรงเฉือนและเวลาที่ใช้เพื่อการหลอมพอลิเมอร์ สกรูที่มีอัตราส่วนของความยาวสกรูต่อเส้นผ่านศูนย์กลางสกรูสูงจะมีแรงเฉือนที่มากกว่า การผสมพอลิเมอร์จะเข้ากันได้ดีกว่า และเวลาที่ใช้เพื่อการหลอมตัวของพอลิเมอร์จะสูงกว่า สำหรับการผสมพอลิแล็คทิกแอชิดเกรดการค้านิยมใช้อัตราส่วนของความยาวสกรูต่อเส้นผ่านศูนย์กลางสกรู 24 – 30 [14]

พลังงานความร้อนที่ใช้เพื่อการทำให้พอลิเมอร์หลอมเหลวเกิดจากเครื่องทำความร้อนภายในเครื่องรีดและแรงเสียดทานที่เกิดขึ้นระหว่างพลาสติกกับสกรูและตัวเครื่องซึ่งความร้อนที่ใช้ต้องมากกว่าจุดหลอมเหลวของพอลิแล็คทิกแอชิด (มากกว่า 170 – 180 องศาเซลเซียส) โดยส่วนใหญ่มากใช้ความร้อนที่ 200 – 210 องศาเซลเซียส [15]

2.1.3.2 Injection molding



รูปที่ 2. 5 injection molding

เป็นวิธีการที่นิยมใช้มากที่สุด จะมีเครื่องรีดสำหรับทำให้พอลิเมอร์หลอมเหลวเครื่องนี้จะมีสกรูที่ถูกออกแบบมาเพื่อให้มีแรงดันมากพอช่วยในการฉีดพอลิเมอร์โดยส่วนของสกรูจะทำให้พอลิเมอร์หลอมเหลวก่อนทำการฉีดพอลิเมอร์ ส่วนที่ทำหน้าที่ฉีดพอลิเมอร์จะมีความร้อนสูงลูกสูบจะช่วยในการฉีดพอลิเมอร์

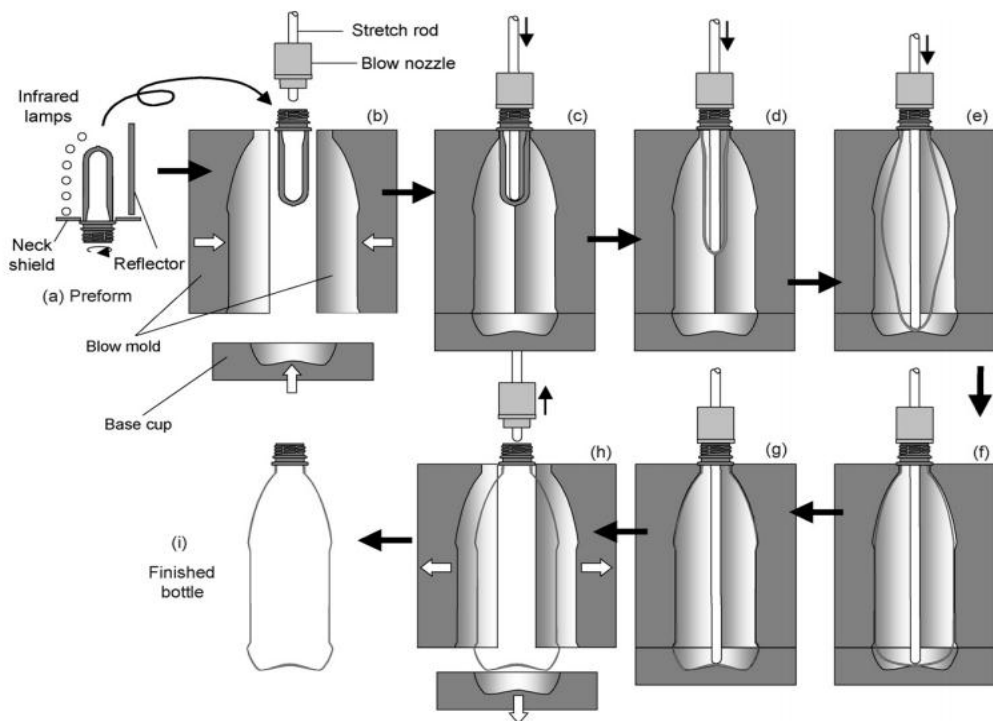
สำหรับพอลิแล็กทิกและพอลิเมอร์ที่มีจุดเยื่อ屈曲点 (Glass transition temperature; Tg) ประมาณ 25 องศาเซลเซียส [16]

2.1.3.3 Stretch blow molding

ผู้บริโภคในปัจจุบันให้ความสนใจกับสิ่งแวดล้อมมากขึ้น ในอุตสาหกรรมอาหารจะให้ความสนใจในพอลิเมอร์ที่สามารถย่อยสลายได้เองมาแทนที่พอลิเมอร์ที่ไม่สามารถย่อยสลายได้ พอลิแล็กทิกและพอลิเมอร์ที่สามารถย่อยสลายได้เองจะนำมาใช้ในอุตสาหกรรมเครื่องดื่ม ขวดที่ทำมาจากพอลิแล็กทิกและพอลิเมอร์ที่สามารถย่อยสลายได้เองจะใช้เทคนิค injection stretch blow molding [17]

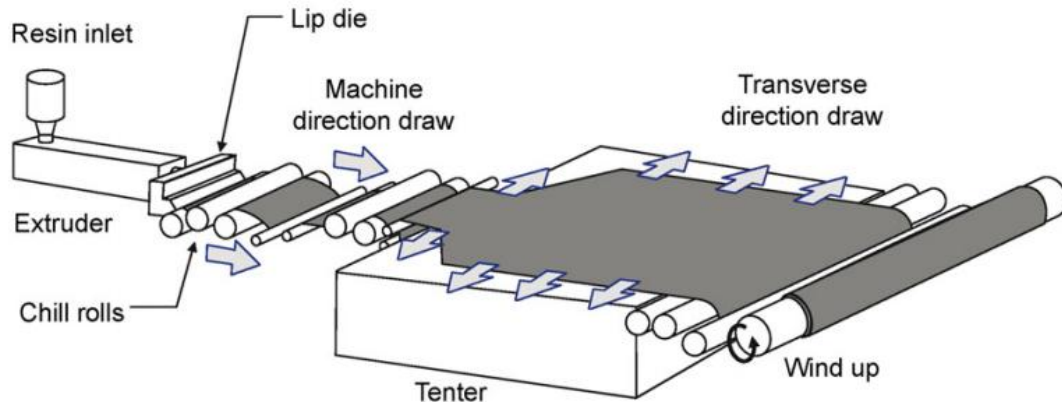
วิธีการนี้จะลดความเป็นผลึกของพอลิเมอร์ทำให้มีผลิตต่อสมบัติทางกายภาพซึ่งช่วยลดความเปราะของพอลิเมอร์ [18]

รูปที่ 2.7 a กระบวนการทำขวดจากพอลิแล็คทิกแอซิด โดยเริ่มต้นจะใช้การฉีดขึ้นรูปจะให้ความร้อนที่อุณหภูมิ 85 – 110 องศาเซลเซียส จากนั้นฉีดเข้าแม่พิมพ์ตามรูปที่ 2.7 b จากนั้นรูปที่ 2.6 c ถึง e จะใส่อากาศเข้าไปโดยให้ความดันประมาณ 0.5 ถึง 2 เมกะพาสคัล จะทำให้เดียวดตามแม่พิมพ์ รูปที่ g และ f เป็นขั้นตอนของการให้ความเย็นกับขวด ก่อนที่จะนำออกจากแม่พิมพ์ อุณหภูมิสำหรับการพอลิแล็คทิกแอซิด 35 องศาเซลเซียส [19]



รูปที่ 2.6 Injection stretch blow molding ของพอลิแล็คทิกแอซิด

2.1.3.4 การขึ้นรูปเป็นฟิล์มและแผ่น



รูปที่ 2.7 เครื่องขึ้นรูปแผ่นฟิล์ม

เนื่องจากพอลิแล็คทิกแอดดิติฟอย่างเดียวต่ออุณหภูมิจึงหลีกเลี่ยงการใช้อุณหภูมิที่ทำให้พอลิแล็คทิกแอดดิติฟเกิดการเสียสภาพอุณหภูมิที่ใช้ในส่วนของการใส่พอลิแล็คทิกแอดดิติฟเข้าเครื่องขึ้นรูปฟิล์มจะประมาณ 160 ถึง 175 องศาเซลเซียส [20] จากนั้นจะฉีดพอลิเมอร์สู่ส่วนขึ้นรูปฟิล์มซึ่งใช้หลอด 3 แท่งในการรีดฟิล์มพอลิแล็คทิกแอดดิติฟในส่วนนี้จะใช้อุณหภูมิ 25 ถึง 50 องศาเซลเซียส [21] แล้วทำให้ฟิล์มขยายขนาดเพื่อให้ได้ฟิล์มตามต้องการโดยการทำให้เครื่องส่ายไป พิล์มพอลิแล็คทิกแอดดิติฟได้จะมีสมบัติเหมือนฟิล์มพอลิไพรพลีน

แต่พอลิแล็คทิกแอดดิติฟยังมีข้อจำกัดในการใช้งาน เนื่องจากมีสมบัติบางอย่างที่ด้อย เช่น มีความไม่ชอบน้ำ มีอัตราการสลายตัวช้าเมื่อเทียบกับพอลิเมอร์ที่สามารถย่อยสลายได้เองตามธรรมชาติชนิดอื่นๆ มีความเหนียวต่ำ ไม่มีหมูเข้าแข้งที่รองไว้ต่อการเกิดปฏิกิริยา ซึ่งสมบัติทั่วไปของพอลิแล็คทิกดังแสดงไว้ในตารางที่ 2.1

ตารางที่ 2. 1 สมบัติทางกายภาพของพอลิแล็คทิกแอซิด

สมบัติ	ปริมาณ
น้ำหนักโมเลกุล (Kg/mol)	100 – 300
อุณหภูมิหลอมเหลว ($^{\circ}\text{C}$)	130 - 215
อุณหภูมิกาสทรานชิชัน ($\text{Tg}, (^{\circ}\text{C})$)	55 – 70
พลังงานความร้อนของการหลอมเหลว ΔH_m (J/m)	8.1 – 93.1
อุณหภูมิการสลายตัว	500 – 600
พารามิเตอร์การละลาย	19 – 20.5
ความหนาแน่น (kg/m^3)	1.25
ดรรชนีการหลอมไฟล (g/10min)	2 – 20
ความสามารถในการซึมผ่านของแก๊สออกซิเจนและ คาร์บอนไดออกไซด์ ($\text{fmol m}^{-1} \text{s}^{-1} \text{Pa}^{-1}$)	4.25 และ 23.2
ความต้านแรงดึง (GPa)	1.9 – 4.1
ความแข็งแรง ณ จุดคราก (MPa)	70/53
ความต้านทานแรงดัดໂດ้ง(MPa)	119/88
ความยืดสูงสุด ณ จุดขาด (%)	100 - 180

จากเหตุผลที่กล่าวมาทำให้พอลิแล็คทิกแอซิดถูกนำมาใช้งานแทนพอลิเมอร์จากอุตสาหกรรมปิโตรเลียมได้ แต่พอลิแล็คทิกแอซิดยังคงข้อจำกัดในการใช้งาน เช่น มีความเปราะบางทำให้ขึ้นรูปเป็นฟิล์ม เป็นแผ่น หรือฉีดขึ้นรูปได้ยาก ใช้งานที่ต้องการทนแรงกระแทกได้ไม่ดี [22] มีความเป็นผลึกต่างๆ ทำให้มีข้อจำกัดในสมบัติต้านการชนอุณหภูมิอิกทั้งยังมีอัตราการเกิดปฏิกิริยาไฮโดรไลซิสที่สูงจึงทำให้เมื่อเวลาที่จะนำไปทำบรรจุภัณฑ์ที่ต้องใช้กับความร้อน เช่น บรรจุภัณฑ์อาหาร อีกทั้งแก๊สบางชนิดยังซึมผ่านได้ดี เช่น ออกซิเจน คาร์บอนไดออกไซด์ จึงทำให้แก๊สเหล่านี้สามารถเกิดปฏิกิริยา กับอาหารได้ [23] ดังนั้น จึงมีการศึกษาเพื่อทำการปรับปรุงสมบัติเหล่านี้โดยการเติมสารเติมแต่ง

2.1.4 การปรับปรุงสมบัติของพอลิแล็กทิกแอซิด

ทำได้ 3 วิธี คือ การทำโโคพอลิเมอร์ไรเซน การพลาสติกไชเซน และการทำพอลิเมอร์ผสม

2.1.4.1 การทำโโคพอลิเมอร์ไรเซน ไรเซน

การทำโโคพอลิเมอร์ไรเซนของพอลิแล็กทิกแอซิด สามารถทำได้หลายวิธี เช่น กระบวนการพอลิเมอร์ไรเซนแบบควบแน่น คือ การทำโโคพอลิเมอร์ไรเซนระหว่างแล็กทิกแอซิดและมอนอเมอร์อื่น ได้โโคพอลิเมอร์ที่มีน้ำหนักเบา กระบวนการโโคพอลิเมอร์ไรเซนแบบเปิดวง มอนอเมอร์เชิงเส้น หรือเอตเทอโรไซคลิกมอนอเมอร์ เช่น คาโปรแลคโทน การทำกราฟต์พอลิเมอร์ชนิดอื่นกับพอลิแล็กทิกแอซิดช่วยเพิ่มความเข้ากันได้ระหว่างพอลิแล็กทิกกับพอลิเมอร์อื่น ทำให้มีสมบัติเชิงกล สมบัติทางความร้อนและลักษณะทางสัณฐานวิทยาของพอลิเมอร์แบบกราฟต์ดีกว่าโโคพอลิเมอร์ไรเซนแบบอื่นๆ กระบวนการโโคพอลิเมอร์จะช่วยปรับปรุงสมบัติเชิงกลด้านความเหนียวและความสามารถในการขึ้นรูปดีขึ้น [10]

2.1.4.2 พลาสติไชเซน

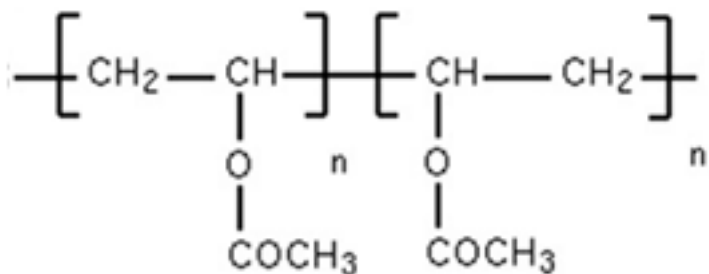
การทำพลาสติไชเซนจะทำให้พอลิแล็กทิกแอซิดมีความยืดหยุ่นดีขึ้น อย่างไรก็ตาม ประสิทธิภาพของพลาสติไชเซอร์จะลดลง เนื่องจากความเป็นเป็นผลึกของพอลิแล็กทิกแอซิดจะทำให้ความเข้ากันได้ระหว่างพลาสติไชเซอร์กับพอลิแล็กทิกแอซิดลดลง แก้ไขโดยทำให้อุณหภูมิกลางานชิ้นของพอลิแล็กทิกแอซิดต่ำลงซึ่งนำไปทำปฏิกิริยา กับสารกลุ่มซิเตต และมาเลอตจะทำให้อุณหภูมิกลางานชิ้นลดลงและสมบัติเชิงกลดีขึ้น [24]

2.1.4.3 การทำพอลิเมอร์ผสม

เป็นวิธีการที่ง่ายที่สุดในการปรับปรุงสมบัติของพอลิเมอร์ เช่น ทำการพอลิเมอร์ผสมระหว่างพอลิแล็กทิกแอซิดกับโคล็อกตาน แป้งและเซลลูโลส จะช่วยปรับปรุงสมบัติด้านความยืดหยุ่น ความเหนียวและช่วยลดต้นทุนการผลิตโดยที่สามารถรักษาสมบัติเชิงกล สมบัติทางความร้อนและความสามารถในการสลายตัวได้ทางชีวภาพของพอลิเมอร์ไว้ได้ แต่การผสมพอลิแล็กทิกแอซิดกับพอลิเมอร์อื่นๆ หากผสมกันไม่ดีจะทำให้สมบัติของพอลิแล็กทิกแอซิดลดลง ดังนั้นจึงพิจารณาความเข้ากันได้และความสามารถในการยึดเกาะของพอลิเมอร์ผสม วิธีการหนึ่งในการทำการผสม คือ การสังเคราะห์พอลิเมอร์แบบบล็อก เพื่อช่วยสภาพเข้ากันได้ดีกับพอลิแล็กทิกแอซิด และปรับปรุงสมบัติได้ดีขึ้น การปรับปรุงความสามารถในการยึดติดระหว่างเฟสด้วยการทำคอมแพททิบิร์ชันด้วย

การเติมสารช่วยผสม จะทำให้ความแข็งแรงอิลาสติก ความเค้น ณ จุดคราก และความเค้น ณ จุดแตกหักลดลงแต่จะทำให้การยึดตัว ณ จุดขาดเพิ่มขึ้น [25]

2.2 พอลีไวนิลแอซีเทต



รูปที่ 2. 8 โครงสร้างโมเลกุลพอลีไวนิลแอซีเทต[26]

พอลีไวนิลแอซีเทตเป็นพลาสติกประเภทเทอร์โมพลาสติก มอนอเมอร์ คือ ไวนิลแอซีเทต สมบัติทั่วไปเป็นดังนี้

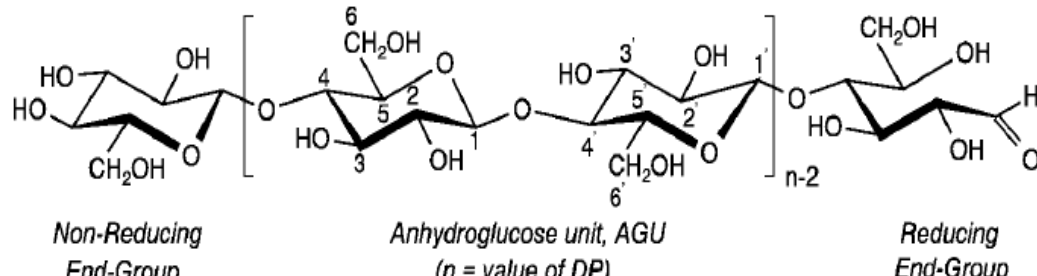
ตารางที่ 2. 2 สมบัติทั่วไปของพอลีไวนิลแอซีเทต

สมบัติ	ค่า
น้ำหนักโมเลกุล (Kg/mol)	86.09
จุดเดือด (°C)	72.7
ความถ่วงจำเพาะ	0.9317
ความดันไอ ที่ 20 องศาเซลเซียส (mmHg)	83
จุดเยือกแข็ง (°C)	-93
ความหนาแน่นของไอ	3
ความหนาแน่น (Kg/m ³)	0.934

มีการนำพอลิไวนิลแอกซีเทตลาแทนกซ์ไปใช้งานมากมาย เช่น นำมาทำกราว ใช้ในงานเคลือบผิวไม้ หรือใช้ในอุตสาหกรรมเส้นใย เป็นสารเชื่อมประสาน โดยนิยมใช้ในอุตสาหกรรมกระดาษ อุตสาหกรรมบรรจุภัณฑ์ หรือใช้งานในวัสดุก่อสร้าง

2.3 เซลลูโลส (cellulose)

เซลลูโลสเป็นพอลิเมอร์แบบโไฮโดรโพลิเมอร์เส้นตรง มีกลูโคสเป็นมองอเมอร์ เซลลูโลสเกิดจากกลูโคส 10,000 ถึง 15,000 โมเลกุลต่อกันด้วยพันธะโคเวเลนต์มีออกซิเจนหนึ่งอะตอมอยู่ระหว่างโมเลกุลกลูโคส 2 โมเลกุล เรียกพันธะระหว่างกลูโคส 2 โมเลกุลว่า พันธะไกลโคไซดิก โดยพันธะไกลโคไซดิกต่อระหว่างคาร์บอนตำแหน่งที่ 1 ของกลูโคสโมเลกุลแรกกับคาร์บอนตำแหน่งที่ 4 ของกลูโคส โมเลกุลถัดไป เซลลูโลสไม่สามารถละลายน้ำได้หรือในตัวทำละลายอินทรีย์ [27] เซลลูโลสที่แยกได้จากธรรมชาติจะเป็นเส้นใยสันๆ [28] ไมโครไฟบริลเซลลูโลสจะมีขนาด 2 ถึง 20 ไมโครเมตรขึ้นอยู่กับแหล่งที่พบ เซลลูโลสจะพบในพืชและแบคทีเรีย



CHULALONGKORN UNIVERSITY

รูปที่ 2. 9 โครงสร้างโมเลกุลเซลลูโลส [29]

แหล่งที่พบเซลลูโลสได้แก่ 1) เนื้อไม้ เซลลูโลสที่พบในเนื้อไม้จะมีความแข็งแรงมากเมามากก่อการนำไปใช้ในอุตสาหกรรมกระดาษ อุตสาหกรรมบรรจุภัณฑ์ 2) พืช เหมาะแก่การใช้งานในอุตสาหกรรมสิ่งทอ 3) สัตว์ทั่วไป เซลลูโลสจะรวมตัวอยู่ในโปรตีนเส้นใยเซลลูโลสที่ได้จะมีขนาดเล็กเมื่อเทียบกับแหล่งอื่นๆ [30] 4) สาหร่าย เซลลูโลสจะอยู่ที่ผนังเซลล์ของสาหร่าย [31] 5) แบคทีเรีย การแยกสกัดเซลลูโลส เนื่องจากเซลลูโลสไม่สามารถละลายได้ในน้ำและในตัวทำละลายอินทรีย์ทำให้ไม่สามารถแยกเซลลูโลสได้ด้วยตัวทำละลายในทางอุตสาหกรรมนิยมใช้สารละลายโซเดียมไฮดรอกไซด์ [32]

2.3.1 เชลลูโลสนาโนไฟบริล

เชลลูโลสนาโนไฟบริล คือ เชลลูโลสที่มีขนาดเส้นผ่านศูนย์กลางด้านใดด้านหนึ่งเท่ากับ 1 ถึง 100 นาโนเมตร วิธีการเตรียมเชลลูโลสนาโนไฟบริลสามารถเตรียมได้จากการดหรือวิธีเชิงกล ขนาดของเชลลูโลสที่ได้ขึ้นอยู่กับแหล่งที่มาชนิดของเชลลูโลสตามขนาดเป็นดังนี้

ตารางที่ 2. 3 ขนาดของเชลลูโลสนาโนไฟบริล [33]

โครงสร้างเชลลูโลส	ขนาดเส้นผ่านศูนย์กลาง (นาโนเมตร)	ความยาว (นาโนเมตร)	อัตราส่วนความ กว้างต่อความยาว
เชลลูโลสไมโครไฟบริล	10 – 40	>1000	100 – 150
เชลลูโลสนาโนวิสเกอร์	2 – 20	100 – 600	10 – 100
เชลลูโลสไมโคร คริสตัลไลน์	>1000	>1000	~ 1

คุณสมบัติของเชลลูโลสนาโนไฟบริล “ได้แก่ มีเส้นผ่านศูนย์กลางแนวเดียวหนึ่งอยู่ในระดับนาโน มีความหนาแน่นต่ำและมีสมบัติเชิงกลด้านความแข็งแรงที่ดี เชลลูโลสนาโนไฟบริลนำไปใช้ประโยชน์ได้ ดังนี้ เป็นสารเติมแต่งในอุตสาหกรรมกระดาษ นาโนคอมโพสิต เป็นสารที่ทำให้เกิดปฏิกิริยาเคมีในอุตสาหกรรมสิ่งทอ เป็นต้น

2.3.1.1 การเตรียมเชลลูโลสนาโนไฟบริล

1. วิธีการเชิงกล

การเตรียมเชลลูโลสตามวิธีการเชิงกล ใช้เครื่องไฮโนเจอร์ความดันสูง โดยเตรียมเชลลูโลสให้กระจายตัวอยู่ในน้ำ เป็นวิธีการที่นิยมใช้ในงานอุตสาหกรรม เครื่องไฮโนเจอร์มีลักษณะเป็นแพ่นกลมๆ ประกอบกันสองแผ่น เมื่อต้องการจะบดเชลลูโลสให้เป็นเชลลูโลสนาโนไฟบริล ทำโดยการฉีดเชลลูโลสด้วยความดันสูงเข้าไปอยู่ที่ช่องว่างระหว่างแผ่น 2 แผ่น การหมุนทำให้เกิดแรงเฉือนสามารถบดให้เชลลูโลสไฟบริลมีขนาดเล็กลงได้ การปรับปรุงขนาดเชลลูโลสไฟบริลด้วยวิธีการเชิงกลเป็นการเปลี่ยนแปลงแบบใหม่ผนกสนับซึ่งส่งผลต่อสมบัติทางสัณฐานวิทยาและขนาดของเส้นใย เชลลูโลสที่เตรียมได้ อีกทั้งยังช่วยลดน้ำหนักและความเป็นผลึกของเชลลูโลสไฟบริลอีกด้วย เชลลูโลสนาโนไฟบริลที่เตรียมได้มีขนาด 20 – 100 นาโนเมตรซึ่งการเตรียมการทำซ้ำประมาณ 7 รอบ [34]

2. การเตรียมเซลลูโลสนาโนไฟบริลตัวยปฏิกิริยาไฮโดรคลิชิตตัวยกรด

เซลลูโลสนาโนไฟบริลเตรียมโดยปฏิกิริยาไฮโดรคลิชิตตัวยกรดซัลฟิวเริกแล้วล้างตัวยน้ำกลั่นจนพีเอชเป็นกลางจากนั้นนำไปหีบห่อด้วยความเร็วรอบ 6000 รอบต่อนาทีเป็นเวลา 10 นาที และแยกเซลลูโลสออกจากน้ำ [35]

3. การเตรียมเซลลูโลสนาโนไฟบริลตัวยไอน้ำ

ใช้ไอน้ำที่มีความดันสูงเพื่อทำให้เซลลูโลสแตกตัวโดยใช้เวลาเพียงสักๆ ซึ่งเป็นการใช้ปฏิกิริยาไฮโดรคลิชิตตัวยน้ำซึ่งอาศัยความดันช่วย พันธะที่สามารถถูกทำลายได้โดยวิธีการนี้ ได้แก่ พันธะไกลโคชิดิกในสายคาร์บอโนไฮเดรต พันธะบีต้าอีเทอร์ของลิกนิน แรงยึดระหว่างลิกนินกับคาร์บอโนไฮเดรต อีกทั้งยังช่วยในการปรับปรุงสมบัติของลิกนินและคาร์บอโนไฮเดรต เปอร์เซ็นต์ของผลิตภัณฑ์ที่เตรียมได้ด้วยวิธีนี้จะมีค่าสูงมาก [36]

4. อัลตร้าโซนิค

ทำการแยกลิกนินออกจากก้อนด้วยสารละลายโซเดียมคลอไรด์ที่ 75 องศาเซลเซียสเป็นเวลา 1 ชั่วโมงและทำซ้ำ 5 ครั้ง จนกระทั่งเซลลูโลสที่ได้มีเส้นขาวจากนั้นนำตัวอย่างมาทำปฏิกิริยากับโพแทสเซียมไฮดรอกไซด์ 3 เปอร์เซ็นต์โดยมวลที่ 80 องศาเซลเซียสเป็นเวลา 2 ชั่วโมงแล้วทำปฏิกิริยาต่อตัวด้วยโพแทสเซียมไฮดรอกไซด์ 6 เปอร์เซ็นต์โดยมวลที่ 80 องศาเซลเซียสเป็นเวลา 2 ชั่วโมงจากนั้nl ล้างตัวยน้ำกลั่นจนพีเอชของสารละลายที่เตรียมเป็นกลาง และนำไปโซนิคในเครื่องอัลตร้าโซนิคด้วยความถี่ 20 – 25 เฮิร์ตแซนด์นำไปแขวนแข็ง [37]

2.4 พอลิเมอร์ผสม(polymer blend)

พอลิเมอร์ผสมเป็นกระบวนการปรับปรุงสมบัติพอลิเมอร์ โดยการนำเอาสมบัติที่ดีของพอลิเมอร์แต่ละชนิดมาร่วมกัน โดยการนำพอลิเมอร์ 2 ชนิดหรือมากกว่ามาผสมเป็นเนื้อเดียวกัน (blending) โดยที่ในการผสมพอลิเมอร์ต้องกล่าวจะต้องอยู่ในสภาพของเหลวไม่ว่าจะเป็นสารละลาย (solution) หรือ สารหลอมเหลว (molten) ด้วยกระบวนการต่างๆ เช่น การฉีดขึ้นรูป, การผสมแบบหลอม, การผสมด้วยตัวทำละลาย [38] พอลิเมอร์ผสมสามารถช่วยพัฒนาสมบัติเชิงกล สมบัติทางกายภาพการทานแร่งกระแทกของพอลิเมอร์ โดยส่วนใหญ่การปรับปรุงสมบัติพอลิเมอร์จะเน้นปรับปรุงสมบัติด้านความเหนียวของพอลิเมอร์ที่ประ โดยการเติมพอลิเมอร์ที่มีความยืดหยุ่นกว่าพอลิเมอร์ที่ต้องการปรับปรุงร้อยละ 10 ถึง 20 ในการนำพอลิเมอร์มาผสมกัน ต้องพิจารณาโครงสร้างโมเลกุลขององค์ประกอบที่นำมาผสมกัน พอลิเมอร์ผสมหมายในการนำมารักษาสมบัติของพอลิเมอร์

เนื่องจากมีต้นทุนที่ต่ำและนอกจากนี้ไม่ทำให้สมบัติของพอลิเมอร์เปลี่ยนไป [39] เนื่องจากโครงสร้างไม่เลกุลมีผลต่อความเข้ากันได้ของพอลิเมอร์ หากพอลิเมอร์ผสมเข้าได้ไม่ดีจะทำให้สมบัติของพอลิเมอร์ผสมที่ได้แย่ลงกว่าก่อนผสม [40] แต่การผสมเข้าไปเป็นเนื้อเดียวกันของพอลิเมอร์ต่างชนิดกันนั้น กระทำให้สมบูรณ์ได้ยาก จึงมักพบว่าในพอลิเมอร์ผสมจะมีพอลิเมอร์ชนิดหนึ่งจะกระจายอยู่ในเนื้อ หรือ เมทริกซ์ที่ต่อเนื่อง (continuous matrix) ของพอลิเมอร์อีกชนิดหนึ่งเสมอ แต่ทั้งนี้การ กระจายตัวดังกล่าวควรต้องเป็นไปอย่างสม่ำเสมอ เพื่อไม่ทำให้เกิดเป็นข้อบกพร่อง (defects) และทำ ให้สมบัติเชิงกลของพอลิเมอร์ผสมต่ำกว่าของพอลิเมอร์บริสุทธิ์ได้

ในการเตรียมพอลิเมอร์ผสม จึงต้องพิจารณาถึงสมบัติความเข้ากันได้(compatibility) ด้วยมี ปัจจัยที่ส่งผลกระทบต่อสมบัติความเข้ากันได้ เช่น โครงสร้างสายโซ่โมเลกุลที่ต่างกันทำให้ไม่สามารถกระจาย ตัวอย่างอิสระและปัจจัยทางพลังงาน (energy factor) ของพอลิเมอร์แต่ละชนิดที่ต่างกัน เช่น การ ดูดกลืนพลังงานความร้อน

2.4.1 การผสมพอลิเมอร์มี 2 แบบ คือ

2.4.1.1 การผสมกันโดยเกิดปฏิกิริยาเคมี พอลิเมอร์สองชนิดที่จะนำมาผสมต้องมีหมุ่ฟังก์ชัน ที่สามารถเกิดปฏิกิริยาเคมีได้ระหว่างพื้นผิวของพอลิเมอร์ 2 ชนิดเกิดเป็นพอลิเมอร์ผสม ตัวอย่าง รูปแบบของการผสมด้วยการทำปฏิกิริยามีดังนี้

1. การเติมบล็อกหรือกราฟต์โคพอลิเมอร์ (Addition of Block or Graft Copolymers)

เป็นเทคนิคหนึ่งที่ได้รับความนิยมในการผสมเพื่อเพิ่มความสามารถในการเข้ากันได้ บล็อกโค พอลิเมอร์จะได้รับความนิยมมากกว่ากราฟต์โคพอลิเมอร์ โดยเฉพาะบล็อกโคพอลิเมอร์ที่ประกอบด้วย บล็อกของพอลิเมอร์ที่เหมือนกันกับพอลิเมอร์แต่ละชนิดที่ นำมาผสมกัน โดยโคพอลิเมอร์ที่ใช้ต้องมี โครงสร้างทางเคมีและน้ำหนักโมเลกุลที่เหมาะสม ที่จะไปอยู่ระหว่างเฟสของพอลิเมอร์แต่ละชนิด โครงสร้างทางเคมีและน้ำหนักโมเลกุลของโคพอลิเมอร์จะมีผลอย่างมากต่อประสิทธิภาพของการเป็น สารช่วยผสม

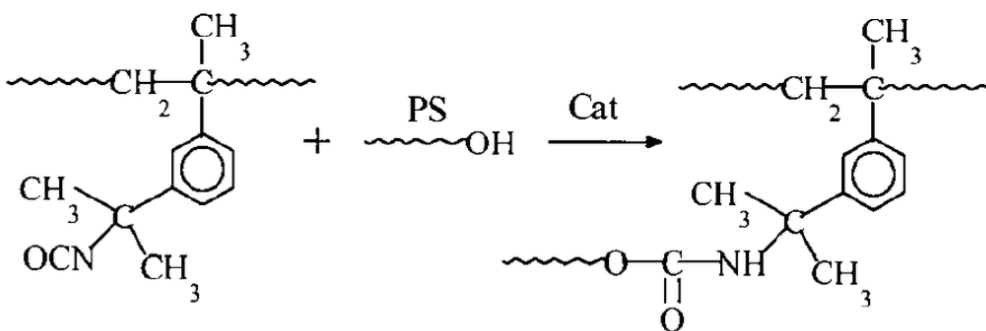
2. การเติมพอลิเมอร์ที่มีฟังก์ชันหรือส่วนที่ว่องไวต่อการทำปฏิกิริยา (Addition of Functional/Reactive Polymers)

การเติมพอลิเมอร์ที่มีฟังก์ชันเพื่อทำหน้าที่เป็นสารช่วยผสม เป็นการนำพอลิเมอร์ชนิดใดชนิดหนึ่งที่จะทำการผสมมาดัดแปรให้มีฟังก์ชัน หรือส่วนที่ว่องไวต่อปฏิกิริยา โดยมีฟังก์ชันดังกล่าวต้องสามารถเกิดปฏิกิริยาหรือมีแรงดึงดูดระหว่างโมเลกุล เช่น พันธะไอโอนิกกับพอลิเมอร์ชนิดที่สองได้กระบวนการดัดแปรพอลิเมอร์ให้มีฟังก์ชันสามารถทำได้ในเครื่องปฏิกรณ์หรือโดยผ่านกระบวนการอัดรีด

3. การทำให้เกิดปฏิกิริยากราฟต์copolymer หรือพอลิเมอไรเซชันในระหว่างการผสม (In-situ Grafting Polymerization)

การทำให้เกิดปฏิกิริยากราฟต์copolymer หรือพอลิเมอไรเซชันในระหว่างการผสม หรือ reactive blending เป็นวิธีใหม่ที่ใช้ในการผสมพอลิเมอร์ให้เข้ากันได้ โดยต่างจากวิธีอื่นๆ คือ องค์ประกอบที่ทำการผสมจะถูกนำมาดัดแปรเพื่อให้สามารถเกิดปฏิกิริยากับพอลิเมอร์อีกชนิดหนึ่งได้โดยไม่จำเป็นต้องเติมสารช่วยผสม

โดยทั้งนี้ปัจจัยที่มีผลต่อความเข้ากันได้ของการผสมพอลิเมอร์ด้วยเทคนิคทางเคมี ประกอบด้วย ได้แก่ น้ำหนักโมเลกุลพอลิเมอร์ โครงสร้างโมเลกุลฟังก์ชันและจำนวนฟังก์ชัน ต่อสายพอลิเมอร์ สัณฐานวิทยาของพอลิเมอร์ผสมและความเร็วในการเกิดปฏิกิริยา ตัวอย่างการเกิดพอลิเมอร์ผสมโดยปฏิกิริยาเคมี



รูปที่ 2.10 ปฏิกิริยาการผสมระหว่าง พอลิเมทธิลเมทาเคริเลตและพอลิสไตรีนที่มีการเติมหมูไฮดรอกซิล

จากรูปที่ 2.10 เนื่องจากพอลิสไตรีนไม่มีหมูฟังก์ชันจึงไม่สามารถเกิดการผสมแบบปฏิกิริยาเคมีได้ จึงมีการปรับปรุงโครงสร้างโดยการเติมหมูไฮดรอกซิลที่ปลายสายของพอลิสไตรีน จึงสามารถทำปฏิกิริยากับหมูฟังก์ชันของพอลิเมทธิลเมทาเคริเลตได้ [41]

2.4.1.2 การผสมพอลิเมอร์โดยไม่เกิดปฏิกิริยาเคมี วิธีนี้จะใช้เครื่องมือสำหรับการผสม เช่น ใช้เครื่องบดลูกกลิ้ง ใช้เครื่องยัดรีด ซึ่งเครื่องมือดังกล่าวใช้แรงเนื้อนซี่วายในการผสมพอลิเมอร์ แรงนีอ่อนที่เพิ่มมากขึ้นจะทำให้การผสมของพอลิเมอร์เข้ากันได้ดีขึ้น

2.4.2 กลไกสภาพเข้ากันได้ (Compatibility Mechanism) ของพอลิเมอร์ผสม โดยทั่วไปจะพบว่าพอลิเมอร์ผสมมีสมบัติเชิงกลที่ค่อนข้างต่ำ ทั้งนี้เนื่องจากแรงดึงดูดระหว่างผิวสัมผัสที่ต่ำและความเค็นสะสม (stress concentration) ระหว่างผิวสัมผัส (interface) จึงนิยมใช้สารช่วยผสมหรือการทำให้เกิดปฏิกิริยาเคมีในระหว่างการผสม (in-situ chemical reaction) เพื่อปรับปรุงแรงดึงดูดระหว่างผิวสัมผัสของพอลิเมอร์ผสมให้ดีขึ้น เพื่อให้ได้โครงสร้างสันฐานวิทยาและสมบัติของพอลิเมอร์ผสมที่เหมาะสม ทั้งนี้เทคนิคการผสมหรือวิธีการผสม (Method of Compatibility) จะเป็นขั้นตอนสำคัญและบ่งชี้ถึงสมบัติของพอลิเมอร์ผสมที่ได้ ซึ่งวิธีการหรือเทคนิคที่ใช้ในการผสมมีหลายวิธี ขึ้นกับผู้ผลิตเป็นหลัก โดยจะพิจารณาจากต้นทุนเป็นสำคัญ

การพิจารณาจากสภาพการผลสมที่เข้ากันได้ทางเทอร์โมไดนามิกส์ ขั้นการสมการสมดุลเอน
thalpie และเอนโทรปีของการผลสมซึ่งมีผลต่อค่าพลังงานเสรีของการผลสม ดังสมการนี้

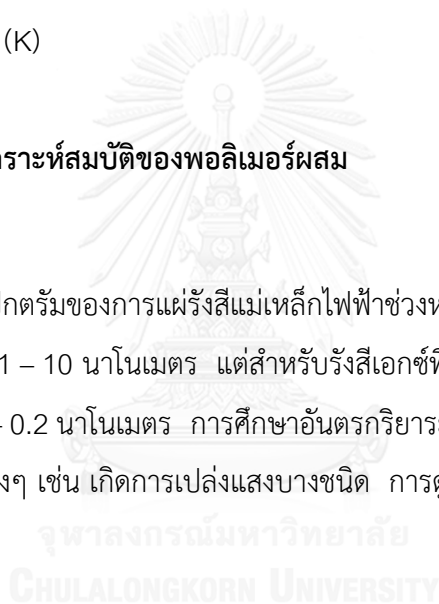
$$\Delta G = \Delta H - T\Delta S$$

โดยที่ ΔG = การเปลี่ยนแปลงค่าพลังงานเสรีของการผลสม
 ΔH = การเปลี่ยนแปลงเอนталปีของการผลสม
 ΔS = การเปลี่ยนแปลงของเอนโทรปีของการผลสม
 T = อุณหภูมิ (K)

2.5 เทคนิคที่ใช้ในการวิเคราะห์สมบัติของพอลิเมอร์ผล

2.5.1 XRD

รังสีเอกซ์เป็นสเปกตรัมของการแรรังสีแม่เหล็กไฟฟ้าช่วงหนึ่ง มีความยาวคลื่นอยู่ในช่วง 0.1 – 1 อังสตรอม หรือ 0.01 – 10 นาโนเมตร แต่สำหรับรังสีเอกซ์ที่ใช้ในทางเคมีวิเคราะห์จะมีความยาวคลื่นอยู่ในช่วง 0.07 – 0.2 นาโนเมตร การศึกษาอันตรกริยาระหว่างรังสีเอกซ์กับสารนั้น ก่อให้เกิดปรากฏการณ์ต่างๆ เช่น เกิดการเปล่งแสงบางชนิด การดูดกลืน การกระเจิงหรือเกิดการเลี้ยวเบน

 จุฬาลงกรณ์มหาวิทยาลัย
CHULALONGKORN UNIVERSITY

การเลี้ยวเบนของรังสีเอกซ์ (X – Ray diffraction)

เมื่อลำรังสีเอกซ์ตกกระทบผิวน้ำของผลึก โดยทำมุม θ บางส่วนของรังสีเอกซ์จะเกิดการกระเจิงด้วยชั้นของอะตอมที่ผิวน้ำ ถ้าส่วนของลำรังสีเอกซ์จะผ่านไปยังชั้นที่ 2 ของอะตอม ลำแสงเอกซ์ที่ผ่านเข้าไปในแต่ละชั้นของอะตอมจะเกิดการเลี้ยวเบนเป็นแบบเดียวกันถ้าอะตอมในผลึกอยู่กันอย่างเป็นระเบียบและห่างเท่าๆ กัน การเลี้ยวเบนนี้มีลักษณะคล้ายกับการเลี้ยวเบนด้วยเกรตติงแบบสะท้อน สิ่งสำคัญในการเกิดการเลี้ยวเบนของรังสีเอกซ์ขึ้นอยู่กับ 2 ประการ คือ

1. รังสีที่ตกกระทบ รังสีที่เลี้ยวเบนและสีนั้นจะต้องอยู่ในระนาบเดียวกัน
2. ระยะห่างระหว่างชั้นของอะตอมควรมีค่าใกล้เคียงกับความยาวคลื่นของรังสีเอกซ์

เมื่อคลื่นแสงเกิดอินเทอร์เฟอเรนซ์แบบเสริมที่มุม θ ได้เป็น

$$n\lambda = 2d \sin \theta$$

สมการนี้ เรียกว่า Bragg equation

โดย	d	คือ	ระยะห่างของชั้นระหว่างผลึก
	n	คือ	ตัวเลขจำนวนเต็ม
	λ	คือ	ความยาวคลื่นแสง ($\lambda = A^\circ$)
	θ	คือ	มุมที่รังสีเอกซ์ตกกระแทบผิวของผลึก

หลอดรังสีเอกซ์ ได้แก่ หลอดรังสีเอกซ์ที่ทำด้วยธาตุ Cr, Rh, Mo, W และ Au ลักษณะเฉพาะของรังสีเอกซ์สเปกตรัม ประกอบด้วยสเปกตรัม 2 ชนิด ซึ่งเป็นลักษณะเฉพาะของแต่ละธาตุที่ใช้ทำแอนโอด คือ สเปกตรัมที่เป็นແບບแบบต่อเนื่องเกิดจากอิเล็กตรอนที่มีพลังงานสูงถูกลด พลังงานหรือลดความเร็วลงด้วยการชนกันระหว่างอิเล็กตรอนเองหรือชนกับอิเล็กตรอนในวัตถุ ทำให้เปล่งรังสีออกมานะ กับสเปกตรัมที่เป็นเส้นทับอยู่บนແບບสเปกตรัมซึ่งมีลักษณะเฉพาะของธาตุแต่ละชนิด

2.5.2 การวิเคราะห์และตรวจสอบโครงสร้างทางเคมีด้วยเทคนิค Fourier Transform Infrared Spectroscopy (FT-IR)

เป็นเครื่องมือวิเคราะห์ที่พัฒนามาจากเครื่อง IR spectrometer เพื่อให้ทำงานได้จ่ายและรวดเร็วขึ้น มีความสามารถในการแยกสูงและมีความไวสูง สามารถวิเคราะห์ตัวอย่างได้ในปริมาณน้อยๆ แหล่งกำเนิดคลื่น FT-IR spectrometer เป็นแหล่งเชรามิกส์ที่เผาด้วยชาลวดความร้อน ทำให้เกิดรังสีอิฟราเรด ไปสู่กระจกเงาที่ทำหน้าที่สะท้อนคลื่นแสงสู่ตัวแยกคลื่นแสงเพื่อแยกคลื่นแสงออกเป็น 2 ส่วนเท่าๆ กัน โดยคลื่นแสงส่วนหนึ่งจะหลุดออกไป และอีกส่วนหนึ่งจะสะท้อนกลับสู่กระจกเงาที่เคลื่อนที่ได้ โดยมีแสงเลเซอร์ปรับระยะการเคลื่อนที่ของกระจกให้ส่องไปยังตัวอย่างได้ ซึ่งเรียกระบบนี้ว่า The Michelson Interferometer คลื่นรังสีอิฟราเรดเป็นคลื่นแม่เหล็กไฟฟ้าที่มีองค์มีเห็นด้วยตาเปล่าแต่ให้ความร้อนที่สัมผัสได้อยู่ระหว่างย่านแสงที่มองเห็นได้กับย่านไมโครเวฟ คลื่นอิฟราเรดที่ใช้ประโยชน์จะเป็นช่วงคลื่นอิฟราเรดช่วงกลาง (middle IR) ซึ่งมีเลขคลื่น 4,000 – 400 cm^{-1} ซึ่งมีความถี่ตรงกับความถี่ของการสั่นพันธุ์ covariance ในโมเลกุลของสาร เมื่อสารตัวอย่าง

ได้รับพลังงานจากคลื่นรังสีอินฟราเรดที่หมายกับการเกิดการสั่นหรือการหมุนของพันธะในโมเลกุลสาร ทำให้เกิดการเปลี่ยนโมเมนต์ขั้วคู่ของโมเลกุลทำให้โมเลกุลเกิดการดูดกลืนแสง แล้ววัดแสงที่ส่งผ่านออกม่าแสดงผลเป็นความสัมพันธ์ของความถี่หรือเลขค่ากับการส่งผ่านของแสง เรียกว่า อินฟราเรดスペกตรัม

การใช้เครื่อง FT-IR spectrometer วิเคราะห์ตัวอย่างใช้เวลาอยู่มากและไม่สิ้นเปลืองสารเคมี จึงนิยมนำมาใช้ประโยชน์ในด้านการวิเคราะห์เพื่อการตรวจสอบในเชิงคุณภาพ หรือเพื่อการยืนยันสูตรโครงสร้างของสารตัวอย่าง โดยเปรียบเทียบกับอินฟราเรดスペกตรัมของสารตัวอย่างถ้าตรงกันแสดงว่าเป็นสารชนิดเดียวกัน

2.5.3 การวิเคราะห์สมบัติทางความร้อน

คุณสมบัติของพอลิเมอร์ส่วนใหญ่แสดงออกมาเมื่อมีการเปลี่ยนแปลงอุณหภูมิก็จะทำให้ใช้ชนิดและภาวะที่เหมาะสมต่อการผลิตและขึ้นรูปพอลิเมอร์ นอกจากนี้ยังมีผลโดยตรงต่อการตรวจสอบสมบัติพอลิเมอร์ทางกายภาพและทางเชิงกล สมบัติซึ่งเปลี่ยนแปลงตามอุณหภูมิของพอลิเมอร์นี้ขึ้นอยู่กับการเปลี่ยนแปลงหนึ่งในสองจุดหลักที่ภาวะทရานสิชัน สำหรับพอลิเมอร์ผลึก จุดเปลี่ยนแปลงที่สำคัญที่สุดในภาวะทရานสิชัน คือ อุณหภูมิหลอมเหลวของโครงสร้างผลึก (melting temperature; Tm) แต่สำหรับพอลิเมอร์ที่ไม่มีโครงสร้างผลึกหรือพอลิเมอร์อสัณฐานสมบัติการเปลี่ยนแปลงพอลิเมอร์จะเปลี่ยนแปลงตาม Tg

สมบัติทางความร้อนที่มีผลต่อพฤติกรรมของพอลิเมอร์

การตรวจสอบพฤติกรรมทางความร้อนของพอลิเมอร์สมบัติหลัก คือ Tg ซึ่งเป็นอุณหภูมิที่พอลิเมอร์แสดงสมบัติคล้ายแก้ว (glassy) และสมบัติคล้ายยาง (rubbery) ใช้ได้เฉพาะพอลิเมอร์ที่ไม่มีโครงสร้างผลึกเท่านั้น สำหรับพอลิเมอร์ที่มีโครงสร้างผลึกอาจมีการเปลี่ยนแปลงสมบัติของพอลิเมอร์เกิดขึ้นที่ภาวะคล้ายแก้ว เช่นกัน แต่เพื่อให้เข้าใจง่ายขึ้นพฤติกรรมที่แสดงออกมามีการเปลี่ยนแปลงความร้อนที่ภาวะคล้ายแก้ว หรือกล่าวได้ว่าพฤติกรรมที่แสดงออกมามีการเปลี่ยนแปลงความร้อนที่ภาวะคล้ายแก้วนั้นจะกล่าวถึงเฉพาะพอลิเมอร์อสัณฐานเท่านั้น

เมื่ออุณหภูมิเปลี่ยนแปลง จะส่งผลต่อการเคลื่อนไหวภายในโมเลกุลของพอลิเมอร์ เมื่ออุณหภูมิระบบต่ำมากสายโซ่พอลิเมอร์เคลื่อนไหวได้เพียงเล็กน้อยเท่านั้น และเมื่อเพิ่มอุณหภูมิระบบขึ้นจะทำให้อะตอมเกิดการสั่นมากขึ้น เมื่อถึงภาวะคล้ายแก้วการสั่นของโมเลกุลจะเกิดขึ้นอย่างสมบูรณ์ ทำให้โมเลกุลของพอลิเมอร์เคลื่อนที่ได้อย่างอิสระทำให้มีลักษณะคล้ายยาง ที่อุณหภูมิสูงกว่า Tg พอลิเมอร์สามารถเคลื่อนไหวได้ทั้งจากการหมุน การสั่นและการแพร่ ผลของโครงสร้างของ

ต่อ T_g พื้นฐานที่ใช้ในการพิจารณาผลกระแทดงกล่ำ ได้แก่ อุณหภูมิที่เข้าใกล้ T_g ไม่เกินของพอลิเมอร์จะมีการรวมตัวของกลุ่มอะตอมซึ่งมีขนาดใหญ่กว่ามวลอะตอม เมื่ออุณหภูมิเพิ่มขึ้นการเคลื่อนที่ของอะตอมจะเพิ่มขึ้นเรื่อยๆ ปัจจัยที่มีผลต่อการเคลื่อนที่ของสายโซ่ภายในไมเลกุลจะมีอิทธิพลต่อ T_g ตัวอย่าง ได้แก่ โครงสร้างจุลภาคในสายโซ่ไมเลกุล โครงสร้างทางเคมี การมีกิ่งของพอลิเมอร์มีผลต่อการเพิ่มปริมาตรอิสระในการจัดเรียงตัวของพอลิเมอร์ การเชื่อมขาว และการเติมสารที่มีน้ำหนักไมเลกุลต่ำลงไปในพอลิเมอร์ ความแข็งแรงของสายโซ่ ความพองตัว ความสามารถในการละลาย ความสามารถในการยึดหยุ่นของสายโซ่ข้างเคียงและความมีข้อของสายโซ่

อุณหภูมิการหลอมเหลวผลึกใช้แสดงภาวะทرانสิชันทางความร้อนการเปลี่ยนแปลงสมบัติของพอลิเมอร์ที่ T_m จะเกิดขึ้นอย่างเด่นชัดมากเมื่อเทียบกับที่ T_g โดยเฉพาะอย่างยิ่งในพอลิเมอร์ที่มีความเป็นผลึกสูง

การเปลี่ยนแปลงความร้อนของการหลอมเหลว การเปลี่ยนแปลงค่าความจุความร้อน การเปลี่ยนแปลงปริมาตร การเปลี่ยนแปลงความหนาแน่น การเปลี่ยนแปลงค่าดัชนีการหักเห การเปลี่ยนแปลงการหักเหสองแนว และความโปรงแสงสามารถตรวจวัดได้โดย T_m

ความแน่นอนของ T_m ของผลึกขึ้นอยู่กับขนาดและความสมบูรณ์ของผลึก พอลิเมอร์ซึ่งประกอบด้วยโครงสร้างผลึกที่มีขนาดใหญ่กว่าและมีความสมบูรณ์ของผลึกมากกว่าจะมี T_m สูงกว่าโดยเทคนิคการวิเคราะห์ความร้อนที่ใช้ในงานวิจัยนี้ ได้แก่ TGA และ DSC

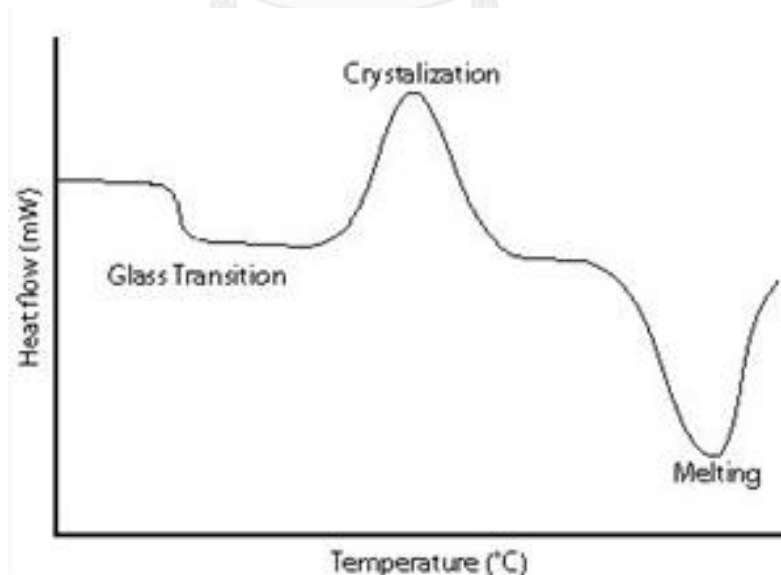
2.5.3.1 เทอร์โมกราฟิเมทริกแอนนาไลซ์ (Thermogravimetric analysis; TGA)

TGA เป็นการตรวจสอบการเปลี่ยนแปลงมวลของสาร เป็นวิธีเบื้องต้นในการวิเคราะห์ความเสถียรของพอลิเมอร์เมื่อได้รับความร้อนโดยใช้การวัดน้ำหนักตลอดเวลาด้วยเครื่องซึ่งที่มีความไว้สูง ในระหว่างการวิเคราะห์ข้อมูลการวิเคราะห์จะถูกบันทึกเป็นเทอร์โมแกรมที่แสดงการเปลี่ยนแปลงน้ำหนักตัวอย่างและอุณหภูมิ การสูญเสียน้ำหนักในช่วงแรกของการวิเคราะห์หรือที่อุณหภูมิต่ำจะเกิดการระเหยของน้ำหรือตัวทำละลาย ส่วนที่อุณหภูมิสูงจะเกิดการสลายตัวของพอลิเมอร์ เทคนิคนี้ทำให้ทราบเสถียรภาพทางความร้อนของพอลิเมอร์ นอกจากนี้ยังใช้วิเคราะห์สารที่ระเหยหรือสารเติมแต่งในพอลิเมอร์อีกด้วย

2.5.3.2 ดิฟเฟอเรนเชียลแสแกนนิคอลอริเมทรี (Differential scanning calorimetry; DSC)

เป็นการวัดความแตกต่างของพลังงานหรือการเปลี่ยนร่องว่าสารตัวอย่างกับสารอ้างอิง เป็นเทคนิคที่บอกทั้งขนาดและทิศทางการเปลี่ยนแปลงความร้อนในระบบที่สมมติกับปรากฏการณ์ต่างๆ ซึ่งเป็นการเปลี่ยนแปลงทางกายภาพหรือการเปลี่ยนแปลงทางเคมีเมื่อวัสดุเปลี่ยนแปลงความร้อน การวิเคราะห์การเปลี่ยนแปลงความร้อนของสารตัวอย่างโดย DSC เช่น การวัดการเปลี่ยนแปลงพลังงานของสารตัวอย่างเมื่อมีการเพิ่มหรือลดอุณหภูมิ

การทำงานของเครื่อง DSC มีคาด 2 คาด โดยคาดแรกเป็นคาดบรรจุสารตัวอย่าง คาดที่สองเป็นคาดเปล่าซึ่งเป็นคาดอ้างอิง นำไปวางบนอุปกรณ์ให้ความร้อน เครื่อง DSC จะควบคุมให้อุณหภูมิของคาดทั้งสองคงที่ แต่อัตราการเพิ่มความร้อนจะไม่เท่ากัน เนื่องจาก คาดทั้งสองมีความแตกต่างกัน นั่นคือ คาดตัวอย่างมีสารในปริมาณมากกว่าคาดอ้างอิงดังนั้นจึงต้องให้ความร้อนกับคาดตัวอย่างมากกว่าคาดอ้างอิงเพื่อทำให้อัตราการเพิ่มอุณหภูมิเท่ากัน ข้อมูลที่ได้จาก DSC เป็นกราฟ โดยมีแกน X เป็นค่าอุณหภูมิและมีแกน Y เป็นค่าของความแตกต่างของปริมาณความร้อนพลังงานที่ให้กับสารตัวอย่างมีความสอดคล้องกับการเปลี่ยนแปลงเอนทัลปีของสารตัวอย่าง เมื่อสารตัวอย่างดูดพลังงาน เรียก เอนทัลปีมีการเปลี่ยนแปลงแบบดูดความร้อน (endothermic) และเมื่อสารตัวอย่างปล่อยความร้อน เรียก เอนทัลปีมีการเปลี่ยนแปลงแบบปล่อยความร้อน (exothermic)



รูปที่ 2. 11 เทอร์โมแกรมทั่วไปที่ได้จากการวิเคราะห์ด้วยเทคนิค DSC

2.6 ทฤษฎีที่สำคัญและงานวิจัยที่เกี่ยวข้อง

Abdukhani และคณะ [42] ได้ทำการศึกษาการเตรียมเซลลูโลสนาโนไฟเบอร์เพื่อเป็นสารเสริมแรงในพอลิแล็กทิกแอซิด เมื่อวิเคราะห์สัณฐานวิทยาโดย Scanning electron microscopy (SEM) พบว่า พื้นผิวของพอลิแล็กทิกแอซิดมีความขรุขระเพิ่มมากขึ้นเมื่อเติมเซลลูโลสนาโนไฟเบอร์เพิ่มมากขึ้น เนื่องจากความเข้ากันได้ของพอลิแล็กทิกแอซิดและเซลลูโลสจะลดลงเมื่อเติมเซลลูโลสในสัดส่วนที่สูงในพอลิแล็กทิกแอซิด จากการศึกษาสมบัติเชิงกลพบว่าเมื่อเพิ่มเซลลูโลสนาโนไฟเบอร์จะทำให้ค่าความแข็งแรงและค่าอังส์มอดูลัสสีดหยุ่นเพิ่มขึ้น ค่าเบอร์เซนต์การยึดตัวจะเพิ่มขึ้นเมื่อเพิ่มเซลลูโลสนาโนไฟเบอร์จนถึง 3% โดยน้ำหนัก แต่เมื่อเพิ่มเซลลูโลสนาโนไฟเบอร์จนถึง 5% โดยน้ำหนัก ค่าเบอร์เซนต์การยึดตัวจะลดลงเนื่องจากเมื่อมีเซลลูโลสนาโนไฟเบอร์เพิ่มขึ้นพอลิแล็กทิกแอซิดจะมีความประมาณเพิ่มขึ้น ปัจจัยที่มีผลต่อสมบัติเชิงกลของคอมโพสิตมี 6 ปัจจัย ดังนี้ 1. แรงยึดเหนี่ยวระหว่างพอลิเมอร์กับสารเติมแต่ง 2. ความเค้นของสารเติมแต่ง 3. สัดส่วนโดยปริมาตรของสารเติมแต่ง 4. สัดส่วนของสารเติมแต่งต่อพอลิเมอร์ 5. ตำแหน่งของสารเติมแต่ง 6. ความเป็นผลึกของพอลิเมอร์ การเพิ่มเซลลูโลสนาโนไฟเบอร์มีผลให้สมบัติเชิงกลเพิ่มขึ้นโดยเฉพาะอย่างยิ่งเมื่อเพิ่มเพียงเล็กน้อย แต่เมื่อเติมเซลลูโลสนาโนไฟเบอร์ไปเพิ่มขึ้นเซลลูโลสจะเกิดการรวมตัวกันเอง การศึกษาสมบัติทางความร้อนโดยใช้ Differential scanning calorimeter (DSC) อุณหภูมิกลางสูงชี汗จะเพิ่มขึ้นเมื่อเพิ่มเซลลูโลสนาโนไฟเบอร์ การซึมผ่านของน้ำผ่านวัสดุคอมโพสิตที่มีการเติมเซลลูโลสนาโนไฟเบอร์ 1 ถึง 3 % โดยน้ำหนักให้ผลไม่แตกต่างกันแต่เมื่อเพิ่มเซลลูโลสนาโนไฟเบอร์จนถึง 5% โดยน้ำหนักจะพบการซึมผ่านของน้ำเพิ่มมากขึ้น

Jonoobi และคณะ [8] ได้ศึกษาวิจัยเกี่ยวกับสมบัติเชิงกลของคอมโพสิตของพอลิแล็กทิกแอซิดที่มีเซลลูโลสนาโนไฟเบอร์เป็นสารเสริมแรงในที่เตรียมโดยเครื่องอัดรีดแบบเกลียวคู่ วิเคราะห์สัณฐานวิทยาโดยใช้เทคนิค SEM พบว่าพื้นผิวของคอมโพสิตที่มีการเติมเซลลูโลสนาโนไฟเบอร์ลงไปจะมีพื้นผิวที่ขรุขระมากขึ้น เซลลูโลสนาโนไฟเบอร์จะกระจายตัวในพอลิแล็กทิกแอซิดได้ดีเมื่อมีการเติมเซลลูโลสในสัดส่วนต่ำๆ จากการทดสอบสมบัติเชิงกลพบว่าค่าอังส์มอดูลัสและค่าความทนแรงดึงจะเพิ่มขึ้นเมื่อเติมเซลลูโลสนาโนไฟเบอร์เพิ่มขึ้น แต่ค่าความเครียดสูงสุดจะมีค่าลดลง การวิเคราะห์สมบัติเชิงกลพบว่าค่ามอดูลัสสั่งจะเพิ่มขึ้นเมื่อเพิ่มปริมาณเซลลูโลสนาโนไฟเบอร์ ค่าแทนเดลต้า (ΔT) สูงสุดจะมีค่าที่อุณหภูมิสูงขึ้นเมื่อมีการเติมเซลลูโลสนาโนไฟเบอร์เพิ่มขึ้น จากการทดสอบความโปร่งใสของฟิล์มพบว่าแสงสามารถผ่านฟิล์มได้ดี แต่จะมองเห็นจุดสีขาวของเซลลูโลสที่เติมได้ชัดเจน จากการศึกษาพบว่าเซลลูโลสนาโนไฟเบอร์ช่วยในการปรับปรุงสมบัติเชิงกลและสมบัติทางความร้อนของพอลิเมอร์ได้

Suryanegara และคณะ [43] ศึกษาผลของความเป็นผลึกของพอลิแล็คทิกแอชิดที่มีต่อสมบัติทางความร้อนและสมบัติเชิงกลของพอลิแล็คทิกแอชิดที่มีไมโครไฟบริลเชลลูโลสเป็นสารเสริมแรง จากการทดลองพบว่าพอลิแล็คทิกแอชิดที่เป็นอสัณฐานมีค่าบั่นส์มอดูลัสและความแข็งแรงเพิ่มขึ้นเมื่อเติมไมโครไฟบริลเชลลูโลสมากขึ้นแต่ความเครียดที่จุดแตกหักจะลดลง โดยพบว่าพอลิแล็คทิกแอชิดที่เป็นผลึกขนาดความร้อนได้ดีกว่าพอลิแล็คทิกแอชิดอสัณฐาน จากการทดสอบสมบัติเชิงกลไดนามิก (Dynamic Mechanical Analysis) พบว่าเมื่อเติมไมโครไฟบริลเชลลูโลสเพิ่มขึ้นในพอลิแล็คทิกแอชิดอสัณฐาน ส่งผลให้ค่าบั่นส์มอดูลัสสูงขึ้นอย่างไรก็ตามการเติมในพอลิแล็คทิกแอชิดผลึกไม่ทำให้ค่าบั่นส์มอดูลัสสูงเปลี่ยนแปลงอย่างมีนัยสำคัญ

Frone และคณะ [44] ได้ทำการศึกษาสัณฐานวิทยาและสมบัติทางความร้อนของพอลิแล็คทิกแอชิดที่มีเซลลูโลสนาโนไฟเบอร์เป็นสารตัวเติม ผู้วิจัยได้เซลลูโลสนาโนไฟเบอร์โดยปฏิกริยาไฮโดรคลิซไมโครคริสตัลลีนเซลลูโลสด้วยกรด และเปรียบเทียบกับเซลลูโลสนาโนไฟเบอร์ที่ผ่านการดัดแปลงเคมีด้วยอะมิโนโพร์ฟิลไตรอทอกซิไซเลน (aminopropyltriethoxysilane) ในการนำไปใช้เป็นสารเสริมแรงในพอลิแล็คทิกแอชิด และศึกษาสัณฐานวิทยาโดยใช้เทคนิค Atomic Force Microscopy (AFM) จากการวิเคราะห์พบว่าเซลลูโลสนาโนไฟเบอร์ที่ผ่านการดัดแปลงเคมีด้วยอะมิโนโพร์ฟิลไตรอทอกซิไซเลนกระจายตัวในพอลิแล็คทิกแอชิดได้ดีกว่าเซลลูโลสนาโนไฟเบอร์ที่ไม่ได้ดัดแปลง การวิเคราะห์สมบัติทางความร้อนโดยใช้ DSC พบว่าเทอร์โมแกรมของพอลิแล็คทิกแอชิดที่มีการเติมเซลลูโลสนาโนไฟเบอร์จะปรากฏพิกที่มีความกว้างและที่อุณหภูมิต่ำกว่าเมื่อเปรียบเทียบกับพอลิแล็คทิกแอชิดแสดงว่าพอลิแล็คทิกแอชิดเกิดผลึกได้เร็วขึ้นเมื่อมีการเติมเซลลูโลสนาโนไฟเบอร์แสดงให้เห็นว่าเซลลูโลสนาโนไฟเบอร์ทำหน้าที่เป็นสารก่อผลึกให้กับพอลิแล็คทิกแอชิด แต่เมื่อวิเคราะห์เทอร์โมแกรมของพอลิแล็คทิกแอชิดที่ผสมเซลลูโลสนาโนไฟเบอร์ที่ผ่านการดัดแปลงด้วยอะมิโนโพร์ฟิลไตรอทอกซิไซเลนพบว่าเทอร์โมแกรมที่ได้มีลักษณะแผลมขึ้นและจุดสูงสุดของเทอร์โมแกร์มปรากฏที่อุณหภูมิสูงขึ้นเมื่อเปรียบเทียบกับพอลิแล็คทิกแอชิดที่ผสมกับเซลลูโลสนาโนไฟเบอร์แสดงว่าการดัดแปลงเคมีมีผลทำให้เซลลูโลสนาโนไฟเบอร์สร้างแรงยึดเหนี่ยวกับพอลิแล็คทิกแอชิดได้มากขึ้น

บทที่ 3

การทดลอง

3.1 วัสดุที่ใช้ในการทดลอง

3.1.1 ต้นยาสูบสายพันธุ์เวอร์จิเนียตามรูปที่ 3.1 จากแปลงเพาะปลูกในจังหวัดเชียงใหม่



รูปที่ 3. 1 ต้นยาสูบพันธุ์เวอร์จิเนีย (ซ้าย) ต้นยาสูบสด (ขวา) ต้นยาสูบที่ผ่านการตากให้แห้ง

3.1.2 เม็ดพลาสติกพอลิแล็กทิกแอซิด ชื่อทางการค้า IngeoTM เกรด 2003D บริษัท บีซี โพลิเมอร์ส มาร์เก็ตติ้ง จำกัด (ประเทศไทย)

3.1.3 สารเคมีที่ใช้ในการทดลอง ได้แก่ เอทานอล ($\text{CH}_3\text{CH}_2\text{OH}$) เกรดการค้า บริษัท อิตัลมาર์ (ประเทศไทย) จำกัด, เมทานอล เกรด การค้า บริษัท อิตัลมาาร์(ประเทศไทย) จำกัด, โซเดียมไฮดรอกไซด์ (NaOH) เข้มข้นร้อยละ 50 โดยมวล เกรด การค้า บริษัทอิตัล มาร์ (ประเทศไทย) จำกัด, โซเดียมไฮโปคลอไรต์ (NaOCl) เข้มข้นร้อยละ 10 โดยมวล เกรด การค้า บริษัทอิตัล มาร์(ประเทศไทย) จำกัด, ไฮโดรเจนเปอร์ออกไซด์ (H_2O_2) เข้มข้นร้อยละ 30 โดยมวล เกรด การค้า บริษัทอิตัล มาร์(ประเทศไทย) จำกัด, กรดซัลฟิวริก (H_2SO_4) เข้มข้นร้อยละ 98 โดยมวล เกรด AR บริษัท ลือกษาier เทคโนโลยี จำกัด, ไดคลอโรเมเทน (CH_2Cl_2) เกรด AR บริษัท พาโคบิส จำกัด พอลิไวนิลแอซีเตตลาเท็กซ์ (Poly(vinyl acetate), PVAc, 50 wt%) ชื่อทางการค้า PANATEX P-350 บริษัท พัฒนาภัณฑ์เคมีเทคโนโลยี จำกัด

3.2 อุปกรณ์และเครื่องมือที่ใช้ในการทดลอง ได้แก่ ปีกเกอร์(ขนาด 3,000, 1,000, 500 มิลลิลิตร), แท่งแก้วคนสาร, เครื่องกวานสารละลายที่สามารถให้ความร้อนได้, ตะกร้าพลาสติก, ถังพลาสติกขนาด 20 ลิตร, กะละมังพลาสติก(ขนาดกลาง, ขนาดเล็ก), ผ้าขาวบาง, เทอร์โมมิเตอร์, เครื่องปั๊กงานเชิงกลชนิดรอบความเร็วสูง, เครื่องซั่ง, ตู้ดูดควัน, เครื่องบด, ปั๊มกรองสารระบบทสูญญากาศ, กระดาษกรอง, ajanpae เชือ

3.3 เครื่องมือวิเคราะห์สำหรับการทดลองนี้ ได้แก่

- เครื่อง Scanning Electron Microscopy (SEM) บริษัท Jeol รุ่น JSM 6400 ศูนย์เครื่องมือวิจัยวิทยาศาสตร์และเทคโนโลยี จุฬาลงกรณ์มหาวิทยาลัย
- เครื่องเอกซ์เรย์ดิฟแฟร์กโนเมตริเตอร์ (X-ray diffractrometer; XRD) ภาควิชาวัสดุศาสตร์ จุฬาลงกรณ์มหาวิทยาลัย ของบริษัท Bruker รุ่น X8 APEX (Fremont, California)
- เครื่องเทอร์โมกราวิเมทริกแอนาไลเซอร์ (Thermogravimetric analyzer, TGA) ของบริษัท Mettler Toledo รุ่น TGA/SDTA851[°] (Columbus, Ohio) ภาควิชาวัสดุศาสตร์ จุฬาลงกรณ์มหาวิทยาลัย
- เครื่องฟูเรียร์ทرانส์ฟอร์มอินฟราเรดสเปกโตรสโคปี (Fourier transform infrared spectroscopy, FTIR) ของบริษัท Thermo Scientific รุ่น Nicolet 6700 (Madison, Wisconsin) ภาควิชาวัสดุศาสตร์ จุฬาลงกรณ์มหาวิทยาลัย
- เครื่องดิฟเฟอเรนเชียลสแกนนิ่งแคลอริมิเตอร์ (Differential scanning calorimeter, DSC) บริษัท Netzsch-Geratebau GmbH รุ่น DSC 204 F1

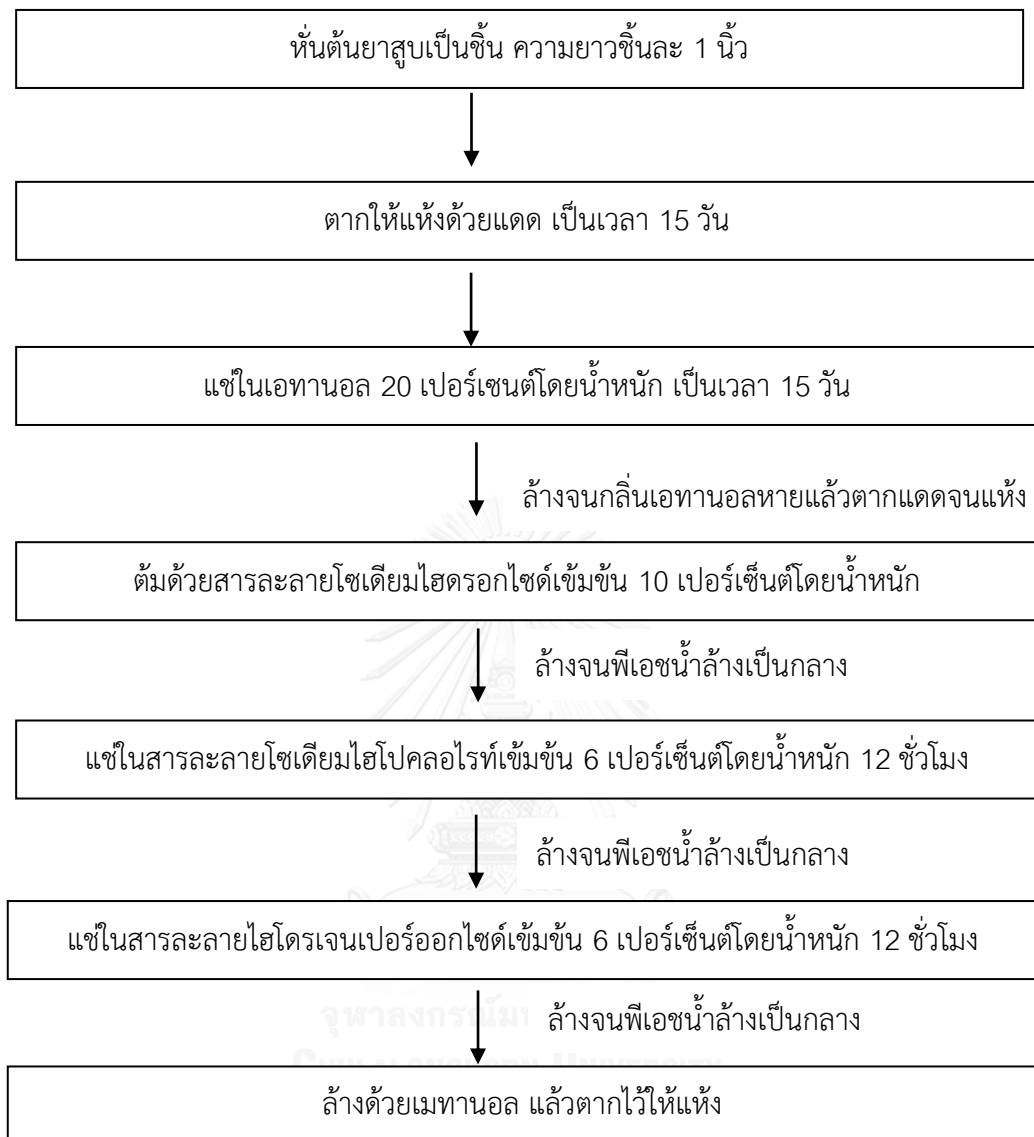
3.4 วิธีการทดลอง

3.4.1 การสกัดเยื่อเซลลูโลสจากต้นยาสูบ

นำต้นยาสูบมาสับเป็นชิ้นๆ ให้มีความยาวประมาณ 1-2 นิ้ว นำไปตากแดดจนแห้ง(ประมาณ 10-15 วัน) แล้วนำมาแช่ในเอทานอลเข้มข้น 20 เปอร์เซ็นต์โดยน้ำหนักเพื่อกำจัดสิ่งสกปรก เทสารละลายเอทานอลให้ท่วมต้นยาสูบเป็นเวลา 15 วัน จากนั้นล้างออกด้วยน้ำจนแล้วน้ำไปตากแดดจนแห้ง ทำการกำจัดลิกนินด้วยการต้มกับสารละลายโซเดียมไฮดรอกไซด์เข้มข้นร้อยละ 15 โดยน้ำหนัก ในสัดส่วน ต้นยาสูบแห้ง 150 กรัมต่อสารละลายโซเดียมไฮดรอกไซด์ 3000 มิลลิลิตรที่อุณหภูมิ ประมาณ 110 องศาเซลเซียส เป็นเวลา 1 ชั่วโมงหลังเกิดฟองอากาศฟองแรกขึ้น จากนั้นนำ

เยื่อยาสูบที่ได้ไปล้างทำความสะอาดด้วยสารละลายโซเดียมไฮโปคลอไรต์เข้มข้น 6 เปอร์เซ็นต์โดยน้ำหนัก โดยการแช่เป็นเวลา 12 ชั่วโมง แล้วนำเยื่อไปทำการฟอกขาวด้วยสารละลายโซเดียมไฮโปคลอไรต์เข้มข้น 6 เปอร์เซ็นต์โดยน้ำหนัก โดยการแช่เป็นเวลา 12 ชั่วโมง แล้วล้างจนกระหงพีอีซของน้ำล้างเป็นกลางแล้วนำเยื่อเซลลูโลสไปฟอกขาวอีกครั้งในสารละลายไฮโดรเจนเปอร์ออกไซด์ความเข้มข้นร้อยละ 10 โดยน้ำหนักเป็นเวลา 12 ชั่วโมง จากนั้nl ล้างทำความสะอาดด้วยน้ำจันพีอีซของน้ำล้างเป็นกลาง ทำการแลกเปลี่ยนน้ำออกจากเยื่อฟอกขาวด้วยการแช่ในเมทานอล 2 ครั้ง กรองแยกเยื่อเซลลูโลส นำไปทำแห้งต่อโดยการทิ้งไว้ที่อุณหภูมิห้องเป็นเวลา 12 ชั่วโมง – ขั้นตอนการทดลองเป็นดังรูปที่ 3.2





รูปที่ 3. 2 ขั้นตอนการสกัดเยื่อเซลลูโลสจากตันยาสูบ

3.4.2 การวิเคราะห์เยื่อเซลลูโลส

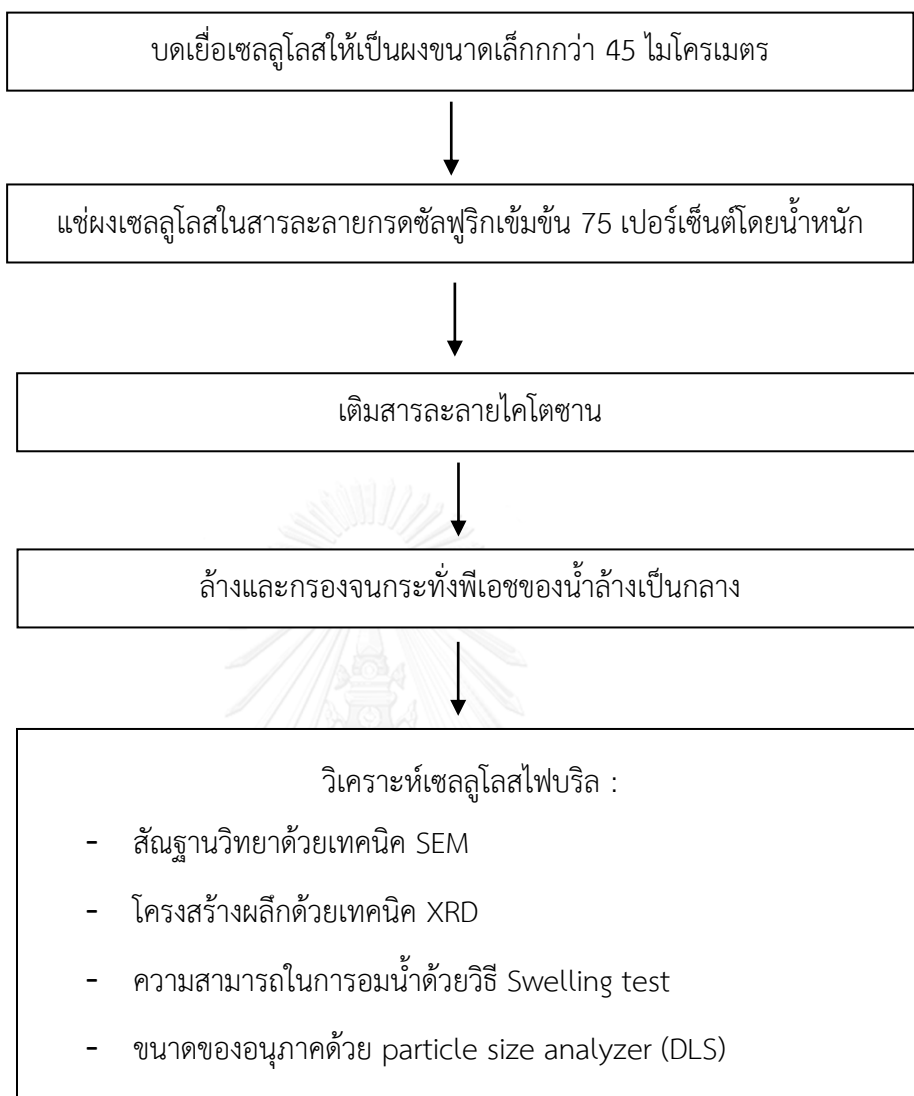
วิธีการเตรียมและทดสอบสมบัติเคมีของเยื่อเซลลูโลสตามมาตรฐานการทดสอบ TAPPI (Technical Association of The Pulp and Paper Industry) ดังตารางที่ 3.1

ตารางที่ 3. 1 มาตรฐานการทดสอบสมบัติเยื่อเซลลูโลส

การทดสอบ	มาตรฐาน
การเตรียมตัวอย่างเยื่อจากวัตถุดิบ	TAPPI T264 Om-88
การหาค่าการละลายในน้ำร้อน(hot water solubility)	APPITA P4 M-61
การหาค่าการละลายในสารละลายโซเดียมไฮดรอกไซด์ (1% NaOH solubility)	APPITA P5 M-61
การหาค่าการละลายในแอลกอฮอล์และเบนซิน (Alcohol-benzene solubility)	APPITA P7 M-70
การหาปริมาณโฮโลเซลลูโลส (Holo-cellulose)	TAPPI 9M-54
การหาปริมาณ แอลฟ้าเซลลูโลส(Alpha-cellulose)	TAPPI T203 om-93

3.4.3 การเตรียมเซลลูโลสไฟบริล

ขั้นตอนการเตรียมเซลลูโลสไฟบริลเป็นตั้งรูปที่ 3.3 บดเซลลูโลสให้มีขนาดเล็กกว่า 45 ไมโครเมตร โดยใช้ตะแกรงคัดขนาด 45 ไมครอน ของบริษัท Endceotts Ltd. (London, England) นำเยื่อเซลลูโลส 10 กรัม มาอยู่ด้วยสารละลายกรดซัลฟูริกความเข้มข้นร้อยละ 75 โดยน้ำหนัก 90 กรัม ที่อุณหภูมิ 0 องศาเซลเซียสเป็นเวลา 12 ชั่วโมง จะได้เป็นเซลลูโลสเจล เติมสารละลายไคโตซาน (1 wt% ในสารละลายกรดอะซิติกความเข้มข้น 1 % v/v) 100 กรัม ลงในเซลลูโลสเจล วนให้ เป็นเนื้อเดียวกันเพื่อให้เซลลูโลสไฟบริล กระจายตัวอยู่สารละลายไคโตซาน หลังจากนั้นปรับพิเศษ ของเซลลูโลสเจล/ไคโตซานให้เป็นกลางโดยการซัล้างด้วยน้ำกลั่น ทำการกรองเพื่อล้างเอกรดออก จากเซลลูโลสเจลอย่างสมบูรณ์



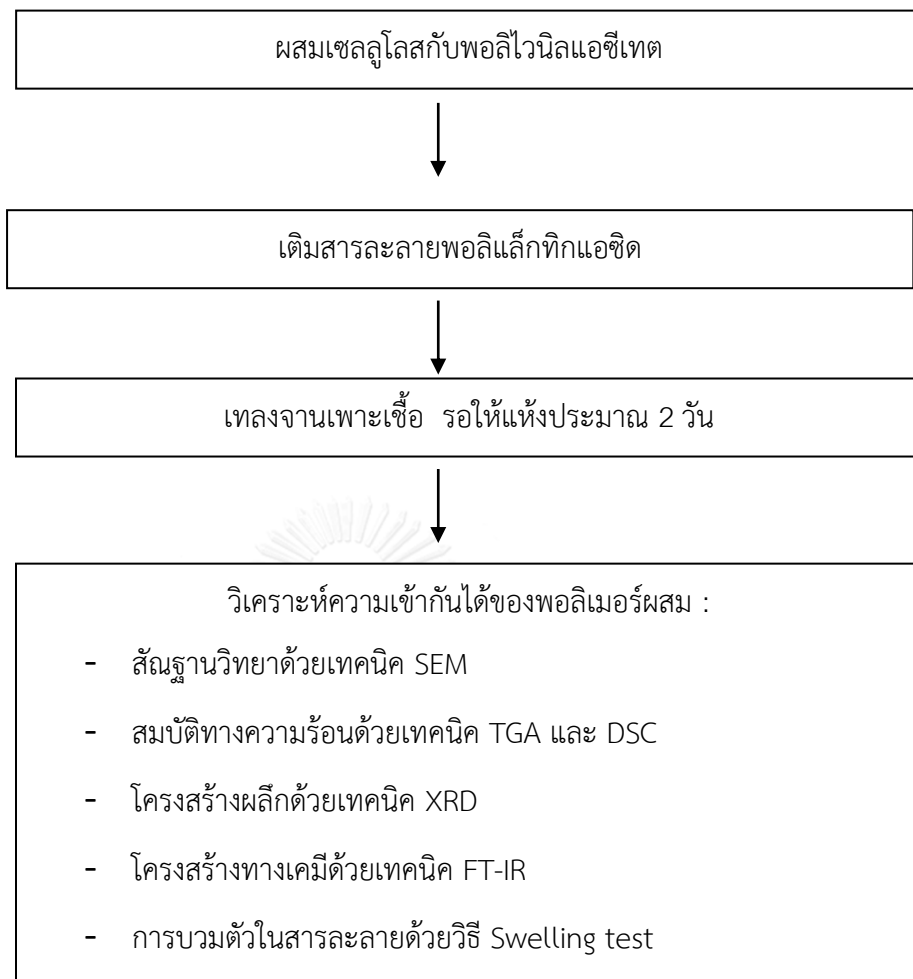
รูปที่ 3. 3 ขั้นตอนการเตรียมเซลลูโลสไฟเบริล

3.4.4 การเตรียมพอลิเมอร์ผสมของเซลลูโลสไฟเบรล/พอลิไวนิลแอซีเทด/พอลิแล็กทิกแอซิด

ผสมเซลลูโลสกับพอลิไวนิลแอซีเทตคลาเท็กซ์คนจนเข้ากัน เติมสารละลายพอลิแล็กทิกแอซิด (เตรียมโดยละลายพอลิแล็กทิกแอซิดในไดคอลอโรเมทีน) คนของผสมจนเป็นเนื้อดียวกัน แล้วนำไปเทลงในจานเพาเชื่อขนาดเส้นผ่าศูนย์กลาง 150 มิลลิเมตร ทิ้งพอลิเมอร์ผสมให้แห้งเป็นเวลา 2 วัน โดยสัดส่วนของเซลลูโลสไฟเบรล/พอลิไวนิลแอซีเทด/พอลิแล็กทิกแอซิด เป็นไปตามตารางที่ 3.2

ตารางที่ 3. 2 สัดส่วนการผสมของพอลิแล็กทิกแอซิด/พอลิไวนิลแอซีเทต/เซลลูโลสไฟเบรล

สูตร	พอลิแล็กทิกแอซิด (กรัม)	พอลิไวนิลแอซีเทต (กรัม)	เซลลูโลสไฟเบรล (กรัม)
1	200	25	100
2	200	50	100
3	200	75	100
4	200	100	100
5	150	100	100
6	100	100	100



จุฬาลงกรณ์มหาวิทยาลัย
Chulalongkorn University
รูปที่ 3. 4 ขั้นตอนการเตรียมพอลิเมอร์สม

3.4.5 การวิเคราะห์โครงสร้างผลึกของเซลลูโลสไฟบริลและพอลิเมอร์สมด้วยเทคนิค XRD

วิเคราะห์ความเป็นผลึกของเซลลูโลสไฟบริลและพอลิเมอร์สมด้วยเครื่อง XRD บริษัท Bruker รุ่น x8 APEX (Fremont, California) ดังแสดงในรูปที่ 3.5 โดยเครื่องเริ่มทำการวัดที่มุม 2θ ตั้งแต่ องศา 2 ถึง 40 องศา คำนวณระยะห่างระหว่างระนาบ 001 (d001) ของมอนต์มอริลโลไลต์ จากสมการของเบราก์ (Bragg's equation) ดังนี้

$$n\lambda = 2ds\sin\theta \quad (1)$$

โดย	d	คือ	ระยะห่างของชั้นระหว่างผลึก
n		คือ	ตัวเลขจำนวนเต็ม
λ		คือ	ความยาวคลื่นแสง ($\lambda = \text{Å}^\circ$)
θ		คือ	มุมที่รังสีออกซ์ตกรอบผิวของผลึก



รูปที่ 3.5 เครื่อง x-ray Diffractometer ของบริษัท Bruker รุ่น X8 APEX (Fremont, California)

3.4.6 การตรวจสอบสัณฐานวิทยาของเซลลูโลสไฟบริลและพอลิเมอร์ผสมด้วยเทคนิค SEM

ตรวจสอบสัณฐานวิทยาของเซลลูโลสนาโนไฟบริลด้วยกล้องจุลทรรศน์อิเล็กตรอนแบบส่องกราดกำลังขยาย 200, 1,000 และ 5,000 เท่า บริษัท Jeol รุ่น JSM 6400 ดังแสดงในรูปที่ 3.6



รูปที่ 3. 6 กล้องจุลทรรศน์อิเล็กตรอนแบบส่องกราด บริษัท joel รุ่น jsm 6400

3.4.4 การวิเคราะห์สมบัติทางความร้อนของพอลิเมอร์สมด้วยเทคนิคเทอร์โมการวิเมทริกและนาลิซิส (Thermal gravimetric analysis; TGA)

วิเคราะห์สมบัติทางความร้อนโดยวิเคราะห์จากอุณหภูมิการสลายตัวด้วยเครื่องเทอร์โมการวิเมทริกและนาลิซิสของบริษัท Mettler Toledo รุ่น TGA/SDTA851[°](Columbus, Ohio) ดังแสดงในรูปที่ 3.7 โดยนำตัวอย่างที่ต้องการทดสอบมาซึ่งน้ำหนักประมาณ 10 มิลลิกรัม ใส่ในถาดอะลูมิเนียมนำไปวิเคราะห์ในช่วงอุณหภูมิ 50 ถึง 600 องศาเซลเซียส ด้วยอัตราให้ความร้อน 5 องศาเซลเซียส/นาที ทำการทดสอบภายใต้บรรยากาศของไนโตรเจน 10 มิลลิลิตร/นาที



รูปที่ 3.7 เครื่องเทอร์โมการวิเมทริกและนาลิซิส (Thermogravimetric analyzer, TGA) ของบริษัท Mettler Toledo รุ่น TGA/SDTA851[°] (Columbus, Ohio)

3.4.7 การวิเคราะห์สมบัติทางความร้อนของพอลิเมอร์ผสานด้วยเทคนิค DSC

การศึกษาสมบัติทางความร้อนของพอลิเมอร์ผสานด้วยเทคนิค DSC ด้วยเครื่อง Differential Scanning Calorimeters (DSC) ดังแสดงในรูปที่ 3.8 โดยนำตัวอย่างที่ต้องการทดสอบซึ่งน้ำหนักประมาณ 10 มิลลิกรัมใส่ในภาชนะนำไปวิเคราะห์ในช่วงอุณหภูมิ 50 ถึง 200 องศาเซลเซียส ด้วยอัตราการให้ความร้อน 10 องศาเซลเซียสต่อนาที



รูปที่ 3.8 เครื่อง Differential Scanning Calorimeters (DSC) ของบริษัท Perkin Elmer

3.4.8 การวิเคราะห์หมู่ฟังก์ชันของพอลิเมอร์สมด้วยเทคนิคฟูเรียร์ทรายสฟอร์มอินฟราเรด สเปกโตรสโคปี (FT-IR)

ศึกษาหมู่ฟังก์ชันทางเคมีของพอลิเมอร์สมด้วยเทคนิค (FT-IR) ของบริษัท Thermo Scientific รุ่น Nicolet 6700 (Madison, Wisconsin) ดังแสดงในรูปที่ 3.9 โดยนำสารตัวอย่างมาพิจารณาสเปกตรัมที่เกิดจากหมู่ฟังก์ชันต่างๆ ซึ่งสามารถบอกร่องสระทางเคมีของสารได้



รูปที่ 3.9 เครื่องฟูเรียร์ทรายสฟอร์มอินฟราเรดสเปกโตรสโคปี (Fourier transform infrared spectroscopy, FTIR) ของบริษัท Thermo Scientific รุ่น Nicolet 6700 (Madison, Wisconsin)

บทที่ 4

ผลการทดลองและวิจารณ์ผล

4.1 สรุปขอบเขตของงานวิจัย

ในงานวิจัยนี้ได้ทำการสกัดเซลลูโลสจากต้นยาสูบโดยนำต้นยาสูบดิบซึ่งมีความชื้นประมาณ 80 เปอร์เซ็นต์ มาตากแดดให้แห้งเป็นเวลา 15 วัน จากนั้นนำมาสับและบดลดขนาดแล้วนำมาต้มในสารละลายโซเดียมไฮดรอกไซด์เพื่อกำจัดไขมัน โปรตีนและสิ่งสกปรกออก และทำการฟอกเยื่อในสารละลายโซเดียมไฮโปคลอไรท์เป็นเวลา 1 คืน เพื่อกำจัดลิกนิน จึงได้เยื่อเซลลูโลสสีขาวนวลที่สะอาด จากนั้นทำการเตรียมเซลลูโลสไฟบริลโดยการย่อยเยื่อเซลลูโลสด้วยปฏิก里ยาไฮโดรไลซิสโดยกรดซัลฟิวริกเข้มข้น แล้วนำเซลลูโลสไฟบริลไปเตรียมพอลิเมอร์ผสมกับพอลิแล็กทิกแอซิดโดยใช้พอลิไวนิลแอซีเตตเป็นสารช่วยผسانโดยใช้เทคนิคการละลาย นำพอลิเมอร์ผสมที่ได้ไปวิเคราะห์ความเข้ากันได้ ด้วยเทคนิคทางความร้อนและสันฐานวิทยา

4.2 การสกัดเซลลูโลสไฟบริล

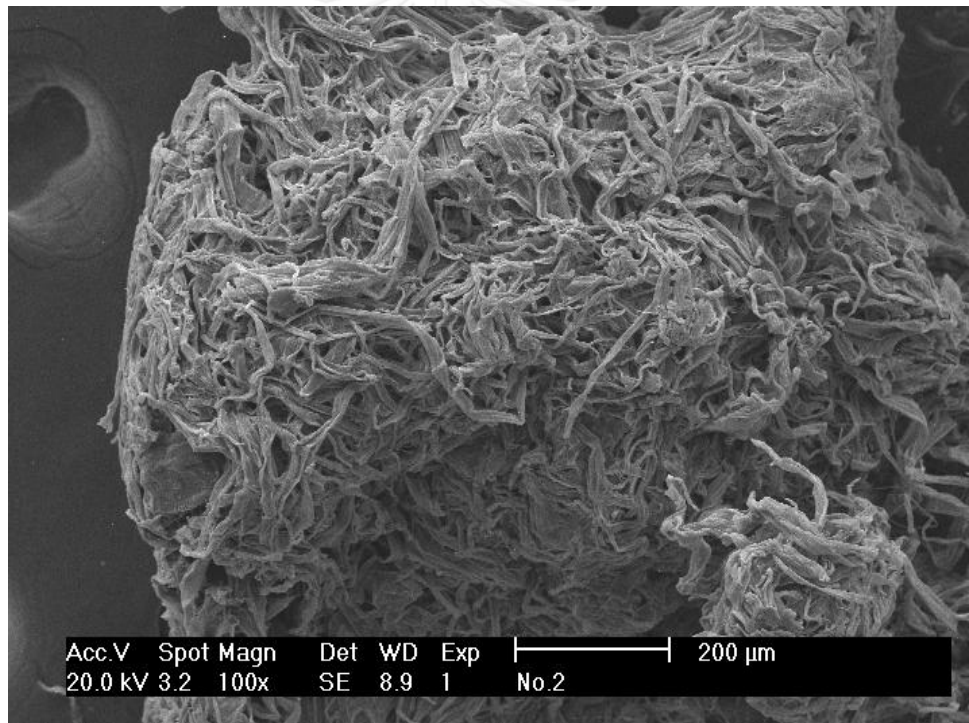
วัสดุที่ใช้คือต้นยาสูบ ดังรูปที่ 4.1 เมื่อผ่านการสกัดจนได้เยื่อเซลลูโลสแล้วจะมีลักษณะดังรูป 4.1 ขวา เห็นเป็นเยื่อสีขาวซัดเจน เมื่อนำไปส่องด้วยกล้องจุลทรรศน์แบบส่องกราดจะเห็นเป็นเส้นดังรูปที่ 4.2 %yield ของเซลลูโลสที่สกัดได้เท่ากับ 17.310 เปอร์เซ็นต์



รูปที่ 4. 1 (ซ้าย) ต้นยาสูบที่ผ่านการตากแห้ง (ขวา) เยื่อเซลลูโลสที่สกัดได้

เยื่อเซลลูโลสที่สกัดจากต้นยาสูบโดยต้มในสารละลายโซเดียมไฮดรอกไซด์แล้วทำการฟอกเยื่อด้วยสารละลายโซเดียมไฮโปคลอไรต์ลักษณะทางกายภาพของเยื่อเซลลูโลสที่สกัดได้แล้วผ่านการฟอก เมื่อสังเกตด้วยตาเปล่าจะมีลักษณะเป็นเส้นใยสีขาว บางส่วนจะจับกันเป็นก้อน(bundle) แข็งเนื่องจากในโมเลกุลของเซลลูโลสมีหมู่ไฮดรอกซิล (hydroxyl group) ทำให้เกิดพันธะไฮโดรเจนระหว่างเส้นใย เมื่อสัมผัสรู้สึกแข็งกระด้าง

นำเยื่อเซลลูโลสที่แยกสกัดได้ ได้นำไปทำการวิเคราะห์ลักษณะเส้นใยด้วยกล้องจุลทรรศน์กำลังขยายสูง SEM (Scanning Electron Microscopy) ที่กำลังขยาย 100 เท่า พบรากษณะเส้นใยดังแสดงในรูปที่ 4.2 เส้นใยจะมีลักษณะแบบ และมีความยาวคล้ายเชือก มีภาคตัดขวางในระดับไมครอน ซึ่งเกิดจากการรวมกันของเซลลูโลสไฟเบอร์



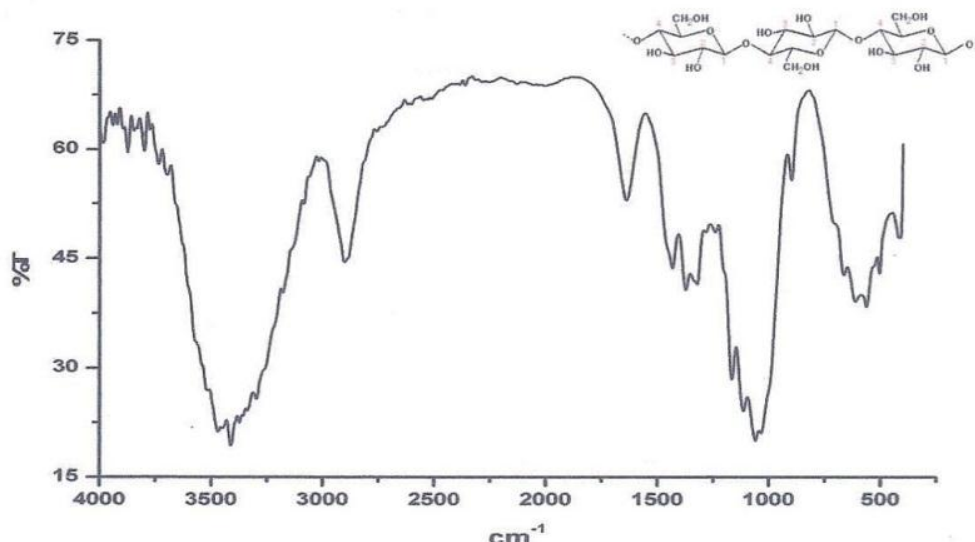
รูปที่ 4.2 ภาพ SEM ที่กำลังขยาย 100 แสดงลักษณะเยื่อเซลลูโลส ที่สกัดได้จาก ต้นยาสูบ

จากการวิเคราะห์ทางคปคปประกอบทางเคมีตามมาตรฐานการทดสอบเยื่อเซลลูโลส (TAPPI) ได้ข้อมูลดังตารางที่ 4.1

ตารางที่ 4.1 ค่าการทดสอบสมบัติทางเคมีของเซลลูโลสจากต้นยาสูบ

ค่าการทดสอบทางเคมี	ร้อยละ(%)	วิธีการทดสอบ
ค่าการละลายในน้ำร้อน(hot water solubility)	20.20	APPITA P4 M-61
ค่าการละลายในสารละลายโซเดียมไฮดรอกไซด์ (1% NaOH solubility)	43.24	APPITA P5 M-61
การละลายในเออลกอฮอล์และเบนซิน (Alcohol-benzene solubility)	7.15	APPITA P7 M-70
ไฮโลเซลลูโลส (Holo-cellulose)	68.75	TAPPI 9M-54
แอลฟ่าเซลลูโลส(Alpha-cellulose)	38.40	TAPPI T203 om-93

เมื่อได้ทำการพิสูจน์เอกลักษณ์ โครงสร้างของเซลลูโลส ซึ่งเป็นองค์ประกอบหลักที่มีในเยื่อโดยเทคนิค IR (infrared spectroscopy) และ XRD (X-ray Diffractometry) ได้ข้อมูลดังแสดงในรูปที่ 4.3, 4.4 และ 4.5 ตามลำดับ โดยจาก XRD pattern แสดงให้เห็นความเป็นผลึกของเซลลูโลส เมื่อเทียบกับวัตถุดิบก่อนทำการแยกสกัด

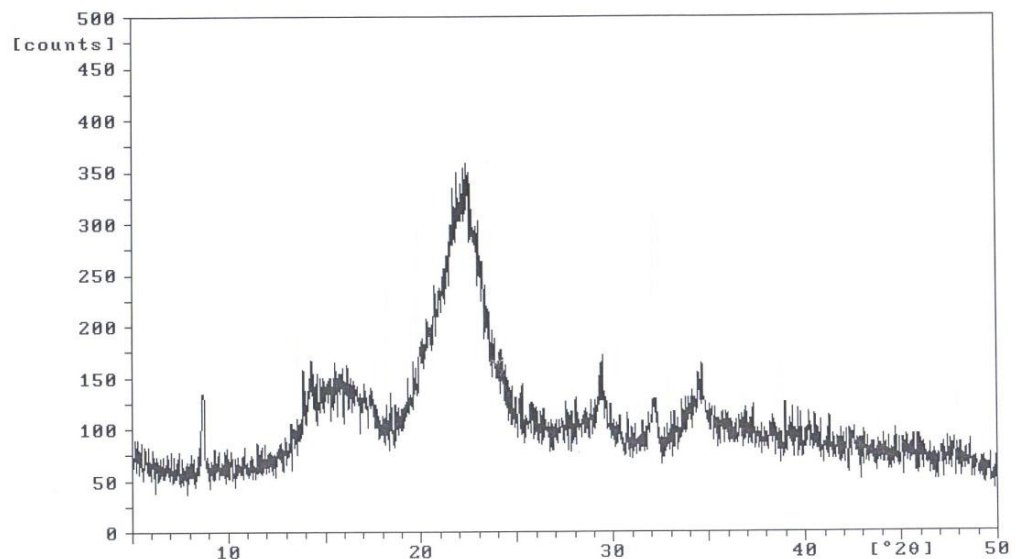


รูปที่ 4.3 IR spectrum ของเซลลูโลสจากต้นยาสูบ

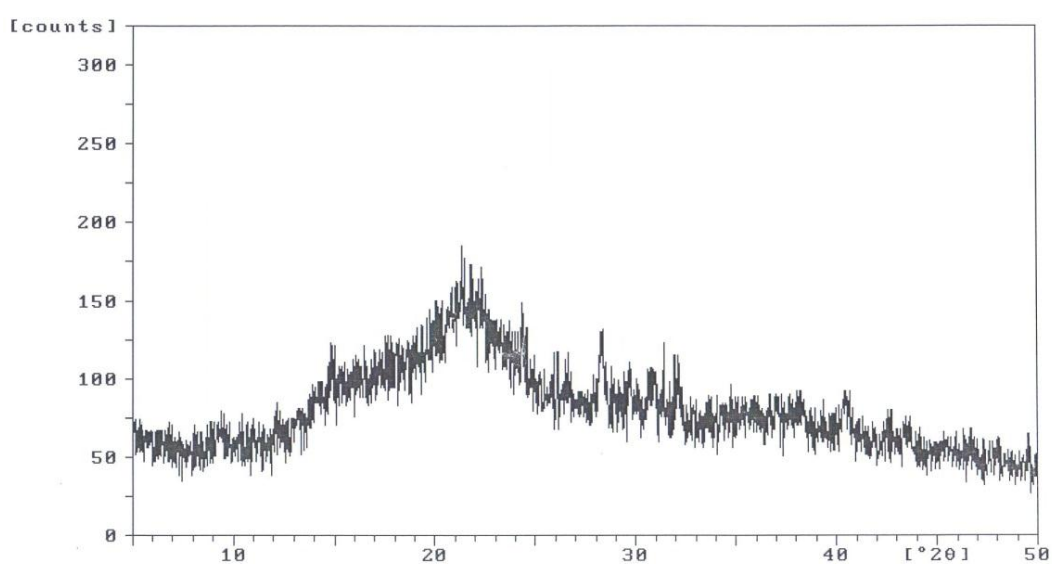
จากรูปที่ 4.3 เซลลูโลสจากต้นยาสูบ แสดงพีคการดูดกลืนรังสีอินฟราเรดของเซลลูโลสทำการวิเคราะห์ด้วยเทคนิค FT-IR ด้วย ATR โหมด ที่ความยาวคลื่น $3,400\text{ cm}^{-1}$ แสดงพีคเอกลักษณ์ของการดูดกลืนรังสี $\text{C}-\text{H}$ พีคเอกลักษณ์การดูดกลืนรังสี $\text{C}-\text{O}$ และดูดกลืนรังสีอินฟราเรดที่ $1300 - 1100\text{ cm}^{-1}$ พีคแสดงเอกลักษณ์การดูดกลืนรังสีที่ $2,900\text{ cm}^{-1}$ และเอกลักษณ์ของ CH cm^{-1} รังสีอินฟราเรดแสดงการดูดกลืนที่ $1640 - 1635\text{ cm}^{-1}$ เป็นเอกลักษณ์การดูดกลืนรังสีที่ $\text{C}=\text{O}$

CHULALONGKORN UNIVERSITY

รูปที่ 4.4 แสดงติฟแฟรคโตร์แกรมของเยื่อเซลลูโลส ซึ่งพบพีคผลึกของเซลลูโลสที่ทำแห้ง $2\theta = 15^\circ$ และ 22° ซึ่งเป็นผลึกของเซลลูโลส หรือผลึกเซลลูโลสที่สกัดจากแอลファเซลลูโลสซึ่งเป็นผลึกเซลลูโลสที่พับใบเยื่อไม้ ความสูงพีคแสดงให้เห็นว่าเยื่อเซลลูโลสมีความบริสุทธิ์สูง ขั้นเนื่องมาจากการกำจัดสิ่งสกปรก เช่น ไขมัน โปรตีน เอมิเซลลูโลส และ ลิกนินออกไประดับอย่างสมบูรณ์ โดยไขมันและโปรตีนจะถูกกำจัดออกไประดับต่อนการต้มด้วยโซเดียมไฮดรอกไซด์ ในขั้นตอนนี้ไขมันจะแตกตัวโดยปฏิกิริยา saponification ในขณะที่โปรตีนซึ่งมีสัดส่วนที่น้อยกว่าจะเกิดการ denature ในภาวะด่างกล้ายเป็นสารละลายและถูกกำจัดออกไประดับต่อนการล้างทำความสะอาด ในขณะที่สารสี (colorants) และ ลิกนินจะถูกกำจัดออกด้วยปฏิกิริยาออกซิเดชันด้วยไฮโดรเจนไนเต็ด้วยไอโอดีน ผลลัพธ์ได้เยื่อเซลลูโลสที่มีสีขาว และมีปริมาณผลึกสูง



รูปที่ 4. 4 XRD diffractrogram ของเยื่อเชลลูโลสจากตันยาสูบ

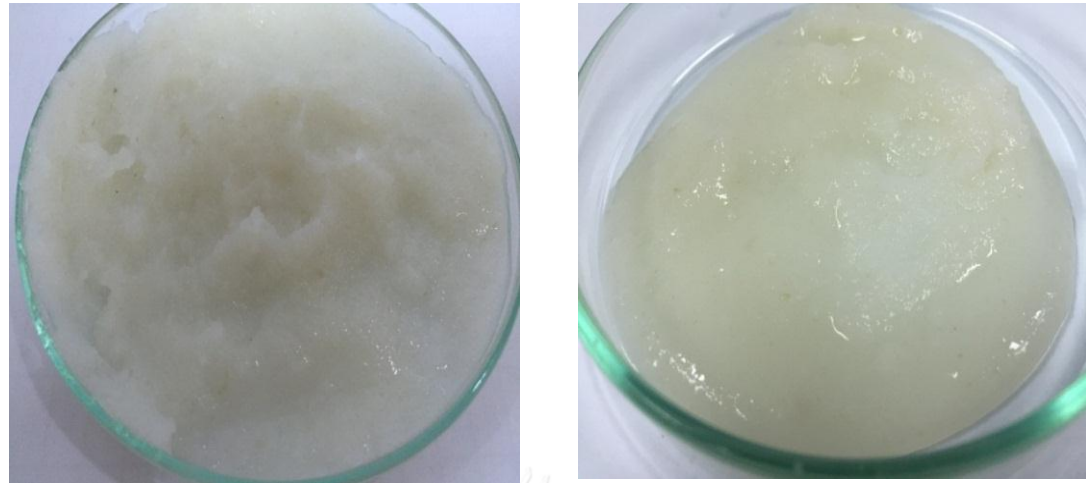


รูปที่ 4. 5 XRD diffractrogram ของตันยาสูบก่อนทำการแยกสกัด

เมื่อเทียบกับดิฟแฟร์คโตรแกรมของตันยาสูบ รูปที่ 4.5 พบร่วมความแตกต่างกันอย่างชัดเจน ดิฟแฟร์คโตรแกรมของตันยาสูบแสดงลักษณะของสัมฐาน (amorphous) เนื่องจากมีสิงสกประปะปนอยู่ ซึ่งสิงสกประเหล่านี้ไม่มีความเป็นผลึก ดังนั้นจึงทำให้พบร่วมดิฟแฟร์คโตรแกรมของตันยาสูบมีลักษณะพีคเตี้ยและฐานพีคกว้าง (broad peak with low intensity) [45]

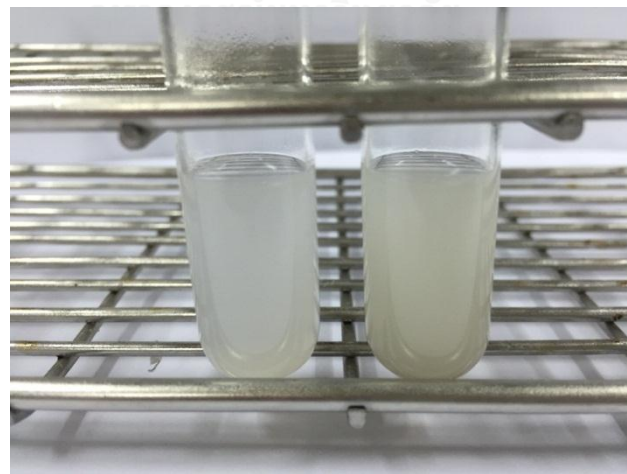
4.2 การเตรียมเซลลูโลสไฟบริล

ทำการเตรียมเซลลูโลสไฟบริลด้วยการนำเยื่อเซลลูโลสที่สักได้มา เช่นในกรดกรดชัลฟิวริกเข้มข้น 75% ในอุณหภูมิ 0 องศาเซลเซียส โดยปกติแล้วเซลลูโลสจะถูกทำลายเมื่อ เช่นในสารละลายกรดอนินทรีย์ ที่อุณหภูมิสูง เซลลูโลสจะเกิดการใหม่เป็นสิ่น้ำตาลคำ เพื่อควบคุมปฏิกิริยาไฮดรอลิซิส จึงต้องควบคุมการแข็งกรดชัลฟิวริกที่อุณหภูมิ 0 องศาเซลเซียส ซึ่งสิงที่เกิดขึ้นคือส่วนบริเวณอสัมฐานของเยื่อเซลลูโลสจะถูกกรดชัลฟิวริกย่อยสลายออกไป หรือเกิด depolymerization โดยจะคงเหลือไว้เฉพาะส่วนที่เป็นเซลลูโลสไฟบริล ที่มีขนาดเล็กมากๆ سانกันเป็นร่องแท้ ดังนั้นเซลลูโลสไฟบริลจึงปรากฏเห็นในรูปเซลลูโลสเจล (cellulose gel) มีความสามารถในการดูดซับน้ำสูง และจะเกิดการเกาะกลุ่มกันเอง (agglomeration) เพื่อทำให้เซลลูโลสไฟบริลไม่เกาะกลุ่มรวมตัวกัน จึงต้องเติมสารช่วยกระจายตัว (stabilizing agent) ในที่นี้จะใช้โคโตชาณซึ่งละลายในภาวะพื้นที่เป็นกรด โคโตชาณ เป็นพอลิเมอร์ธรรมชาติ ละลายในสารละลายกรดและมีความหนืดสูง จึงทำหน้าที่ป้องกันไม่ให้เซลลูโลสไฟบริลเกาะรวมตัวกัน ประโยชน์อีกอย่างหนึ่งของโคโตชาณคือ ทำให้กรองเซลลูโลสไฟบริลได้ง่ายขึ้น ทั้งนี้ เพราะเซลลูโลสไฟบริลในรูปอิสระขอบสานกันเป็นร่องแท้หอยในรูปเจล omnawa การกำจัดกรดชัลฟิวริกออกจากเจลจึงใช้เวลานานและเป็นงานที่ต้องอาศัยความอดทนสูง ซึ่งแตกต่างจากการเตรียมโคโตชาณ ที่เซลลูโลสไฟบริลจะกระจายตัวอยู่ในสารละลายโคโตชาณและไม่ได้อยู่ในรูปเซลลูโลสเจล เมื่อทำการกรองและซีลล้าง จะสามารถกำจัดกรดชัลฟิวริกได้รวดเร็ว ใช้เวลาในการซีลล้างสั้นลง ทำให้ช่วยเวลาในการเตรียมเซลลูโลสไฟบริลสั้นลงและมีความสะอาดมากขึ้น โดยในงานวิจัยได้นำโคโตชาณไปละลายในสารละลายกรดอะซิติกเข้มข้น 1 เปรอร์เซ็นต์โดยน้ำหนักในปริมาตรราเท่ากับปริมาตรเซลลูโลสไฟบริล ปริมาณโคโตชาณที่ใช้คิดเป็น 10 เปรอร์เซ็นต์ของน้ำหนักเซลลูโลส ผสมสารละลายโคโตชาณและเซลลูโลสไฟบริลใช้ในอัตราส่วน 1 : 1 โดยปริมาตร กวนให้เข้ากัน และทำการซีลล้างด้วยน้ำกลันจนได้พื้นที่เป็นกลาง นำเซลลูโลสไฟบริลที่เตรียมได้ไปทำให้แห้งด้วยกระบวนการ freeze dry และคัดแยกขนาดอนุภาคโดยใช้ตะแกรงคัดแยกขนาด 45 ไมครอน และคำนวณยึดติดร้อยละ 68 จากรูปที่ 4.6 เปรียบเทียบลักษณะของเซลลูโลสไฟบริลที่เตรียมโดยใช้โคโตชาณจะมีความหนืดและจับตัวกันเป็นเนื้อเดียวกันมากกว่าเซลลูโลสไฟบริลที่เตรียมโดยไม่เติมโคโตชาณ



รูปที่ 4. 6 เชลลูโลสเจล (ซ้าย) เชลลูโลสไฟบริลที่เตรียมในระบบปั่นผสานกับโคโตชา (ขวา) เชลลูโลสไฟบริลที่เตรียมในระบบผสมกับโคโตชา

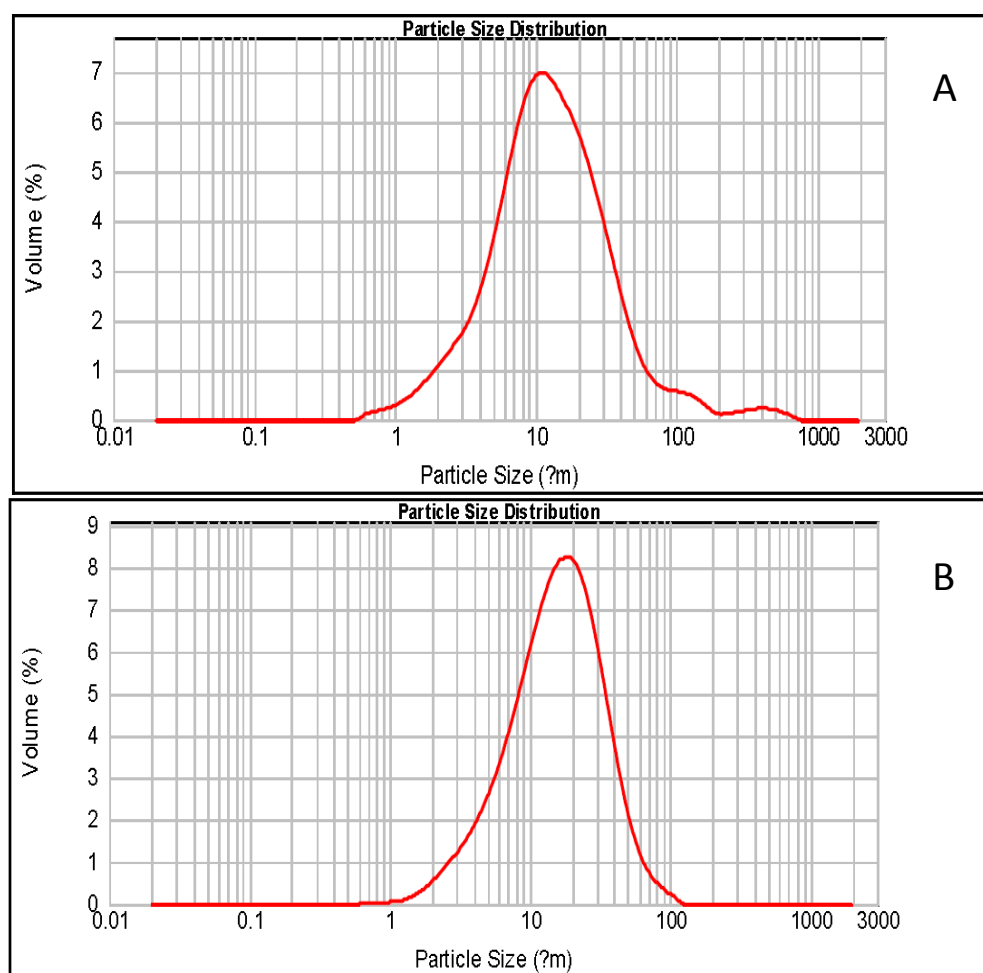
จากนั้นทำการศึกษาการกระจายของเชลลูโลสไฟบริลในน้ำกลัน นำเชลลูโลสไฟบริลที่เตรียมได้ไปกระจายตัว แล้ววางทิ้งไว้ จนกระทั่งมีการแตกตะกอนเชลลูโลสไฟบริล จากผลการศึกษาเป็นไปตามรูปที่ 4.7



รูปที่ 4. 7 การกระจายตัวในน้ำของเชลลูโลสไฟบริล (ซ้าย) เชลลูโลสไฟบริลที่เตรียมโดยผสานกับโคโตชา (ขวา) เชลลูโลสไฟบริลที่เตรียมโดยไม่ผสานกับโคโตชา

จากการศึกษาการกระจายตัวในน้ำกลั่นของเซลลูโลสไฟบริลพบว่า เซลลูโลสไฟบริลที่เตรียมในระบบที่มีโคโตชานมีลักษณะป่องแสงมากกว่าเซลลูโลสไฟบริลที่เตรียมในระบบไม่เติมโคโตชาน ทั้งนี้เนื่องจากเซลลูโลสไฟบริลที่เตรียมในระบบเติมโคโตชานอยู่ในรูปไฟบริลอิสระ ในขณะที่เซลลูโลสไฟบริลที่เตรียมในระบบไม่เติมโคโตชานจะเกิดการเกาะกลุ่มรวมกัน จึงมีลักษณะทึบแสงและหนาแน่นกว่าเมื่อนำไปทดสอบการกระจายตัวในน้ำ ดังปรากฏเห็นในรูปที่ 4.7

4.2.1 ขนาดของอนุภาคเซลลูโลสไฟบริล



รูปที่ 4.8 การกระจายตัวของขนาดอนุภาคเซลลูโลสไฟบริล (A) เซลลูโลสไฟบริลที่เตรียมในระบบเติมโคโตชาน (B) เซลลูโลสไฟบริลที่เตรียมในระบบไม่เติมโคโตชาน

การกระจายขนาดอนุภาคเซลลูโลสไฟบริลที่ได้ผลการวิเคราะห์ดังรูปที่ 4.8 จะพบว่าช่วงการกระจายตัวของอนุภาคมีเพียงแค่ช่วงเดียวเท่านั้น ช่วงการกระจายตัวของขนาดอนุภาคอยู่ระหว่าง 1 – 100 ไมโครเมตรเท่านั้น

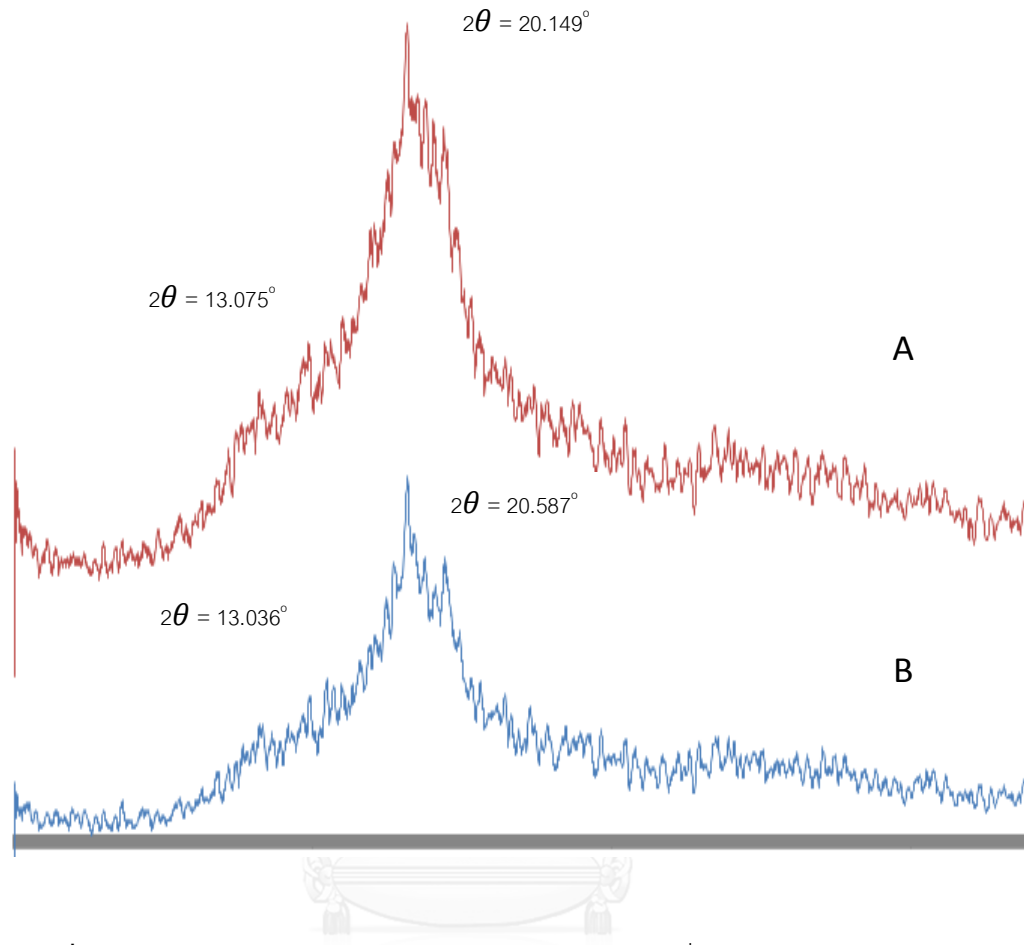
ค่าขนาดอนุภาคของเซลลูโลสไฟบริลที่เตรียมในระบบที่เติมไโคโตชาณ $d(0.1)$ เท่ากับ 3.701 ไมโครเมตร, $d(0.5)$ เท่ากับ 12.227 ไมโครเมตร, $d(0.9)$ 40.189 ไมโครเมตร

ค่าขนาดอนุภาคเซลลูโลสไฟบริลที่เตรียมในระบบที่ไม่เติมไโคโตชาณ $d(0.1)$ เท่ากับ 5.163 ไมโครเมตร, $d(0.5)$ เท่ากับ 15.810 ไมโครเมตร, $d(0.9)$ 37.732 ไมโครเมตร

จากผลการวิเคราะห์พบว่าขนาดอนุภาคที่เตรียมในระบบที่เติมไโคโตชาณจะมีขนาดเล็กกว่าระบบที่ไม่เติมโดยไม่ผสมกับไโคโตชาณ

4.2.2 การวิเคราะห์ความเป็นผลึกของเซลลูโลสไฟบริลด้วย XRD

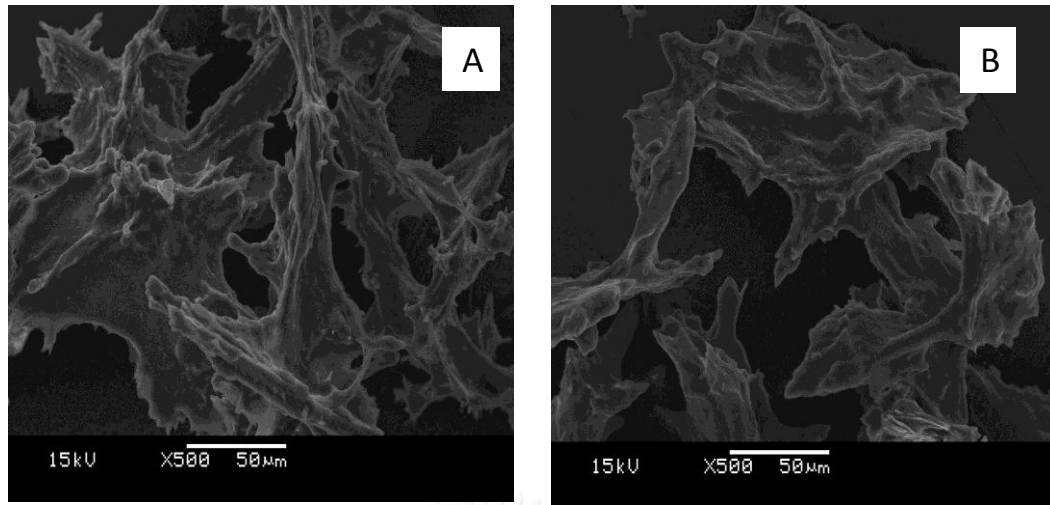
ผลการวิเคราะห์ความเป็นผลึกของเซลลูโลสไฟบริลด้วยเทคนิค XRD ดังแสดงในรูปที่ 4.9 โดยปกติแล้วเซลลูโลสจะแสดงพื้นที่มีลักษณะเป็นผลึกอย่างชัดเจนเมื่อทำการวิเคราะห์โครงสร้างผลึกด้วยเทคนิคเอกซ์เรย์ดิฟแฟคชันเมื่อทำการวิเคราะห์ที่ $2\theta = 0 - 50$ องศา โดยเซลลูโลสไฟบริลที่นำมาทำการวิเคราะห์จะมีพื้นที่แสดงถึงโครงสร้างผลึกของเซลลูโลส ที่ตำแหน่งพื้นที่ $2\theta = 13.075$ และ 20.149 องศา สำหรับเซลลูโลสไฟบริลที่ผ่านการเตรียมในระบบไม่มีไโคโตชาณและ ขึ้นที่ 13.036 และ 20.587 องศา จากพื้นที่เห็นว่าพื้นที่ A มีความสูงมากกว่าพื้นที่ B และว่า กราฟ A มีความเป็นสัดส่วนของความเป็นผลึกมากกว่า และว่ามีความเป็นผลึกของนาโนวิสเกอร์สูงกว่า เนื่องจากการไโคโตชาณซึ่งเป็นพอลิเมอร์ที่มีความเป็นผลึกสูงกว่าเซลลูโลสจะหนี่ยวนำทำให้เซลลูโลสเกิดการจัดเรียงตัวที่เป็นระเบียบคล้ายกับไโคโตชาณ ผลที่ได้จึงพบว่าเซลลูโลสไฟบริลที่ได้จากระบบที่เติมไโคโตชาณมีความเป็นผลึกสูงกว่าเซลลูโลสไฟบริลที่เตรียมในระบบไม่มีไโคโตชาณที่พบว่ามีลักษณะความเป็นอสันฐานมากกว่า โดยสังเกตจากความสูงและฐานของพื้นที่มีลักษณะเดียวกันและมีฐานของพื้นที่กว้างกว่า



รูปที่ 4. 9 XRD diffractograms ของ A) เซลลูโลสไฟบริลที่เตรียมในระบบเติมไครโটชาน
B) เซลลูโลสไฟบริลที่เตรียมในระบบไม่มีไครโಟชาน

4.2.3 ผลการวิเคราะห์สัณฐานวิทยาของเซลลูโลสไฟบริลด้วยกล้องจุลทรรศน์อิเล็กตรอนแบบส่อง
กราด (Scanning electron microscope, SEM)

จากการศึกษาสัณฐานวิทยาของเซลลูโลสไฟบริลด้วยกล้องจุลทรรศน์อิเล็กตรอนแบบส่อง
กราดที่กำลังขยาย 500 เท่า เพื่อสังเกตลักษณะพื้นผิวภายนอกของเซลลูโลสไฟบริลที่เตรียมได้ โดยนำ
ตัวอย่างเซลลูโลสไฟบริลในรูปเจลไปทำแห้งโดยใช้วิธี freeze dry และนำผงเซลลูโลสไฟบริลไป
วิเคราะห์สัณฐานด้วยเทคนิค SEM ผลที่ได้เป็นดังรูปที่ 4.10



รูปที่ 4. 10 ภาพ SEM แสดงสัณฐานวิทยาของเซลลูโลสไฟบริลที่กำลังขยาย 500 A) เซลลูโลสไฟบริลที่เตรียมในระบบผสมไคโตซาบ B)เซลลูโลสไฟบริลที่เตรียมในระบบไม่ผสมไคโตซาบ

สัณฐานวิทยาของเซลลูโลสไฟบริลที่เตรียมได้แสดงในรูปที่ 4.10 เซลลูโลสไฟบริลเมื่อแห้งจะจับตัวกันเป็นแผ่นดังรูป ซึ่งเซลลูโลสไฟบริลที่เตรียมโดยทั้งสองวิธี เมื่อทำให้แห้งแล้วแทบไม่มีความแตกต่างกัน คือมีลักษณะเป็นแผ่นแข็งขนาดในระดับมากกว่า 100 ไมครอน เซลลูโลสไฟบริลที่แห้งตัวแล้วจะไม่สามารถทำให้แยกออกจากกันเนื่องจากเซลลูโลสไฟบริลยึดเกาะกันอย่างเหนียวแน่นด้วยพันธ์ไฮโดรเจน ดังนั้นจึงต้องเก็บเซลลูโลสไฟบริลในรูปเจล และนำเซลลูโลสไฟบริลในรูปเจลไปใช้ผสมกับพอลิแล็กทิกแอซิด

4.2.4 การทดสอบการบวมตัวเซลลูโลสไฟบริลด้วยวิธี swelling test

การทดสอบการบวมตัวของเซลลูโลสไฟบริล เริ่มจากการซั่งน้ำหนักเซลลูโลสไฟบริลในรูปผงแห้ง แล้วทำการแช่ในตัวทำละลายซึ่งเป็นน้ำแล้วปั่นกวนทิ้งไว้ 24 ชั่วโมงจากนั้นนำไปปั่นเหวี่ยงด้วยความเร็วรอบ 30 เฮิรตเป็นเวลา 20 นาที และนำมาอบที่ 105 °C เป็นเวลา 24 ชั่วโมงจากนั้นหาร้อยละการบวมน้ำตามสมการ

$$\% \text{swelling} = \frac{W_w - W_d}{W_d} \times 100$$

โดย W_w คือ น้ำหนักของ เซลลูโลสไฟบริลเบียก
 W_d คือ น้ำหนักของเซลลูโลสไฟบริลหลังทำการอบ

หลังจากทำการทดลองและคำนวณตามสมการข้างต้นแล้วผลการทดสอบการบวมตัวในตัวทำละลายเป็นไปตามตารางที่ 4.2

ตารางที่ 4. 2 น้ำหนักของเซลลูโลสไฟบริลเบียกและถูกอบจนแห้งและเปอร์เซ็นต์การบวมตัว

ตัวอย่าง	W_w	W_d	การบวมตัว(%)
เซลลูโลสไฟบริลในระบบเติม โคโตชาน	12.30	1.69	627.81
เซลลูโลสไฟบริลในระบบไม่ เติมโคโตชาน	12.42	1.72	622.09

ดังตารางที่ 4.2 อัตราการบวมตัวของเซลลูโลสไฟบริลที่เตรียมในระบบผสมโคโตชานและไม่ผสมโคโตชานเป็น 627.81% และ 622.09% ซึ่งที่ว่าการบวมตัวของเซลลูโลสไฟบริลที่เตรียมโดยการเติมโคโตชานมีค่าสูงกว่าเซลลูโลสไฟบริลที่เตรียมโดยไม่เติมโคโตชานเล็กน้อย ซึ่งไม่มีความแตกต่างกันอย่างมีนัยสำคัญ ทั้งนี้การบวมตัวของเซลลูโลสไฟบริลเป็นสมบัติ bulk property ซึ่งไม่สัมพันธ์กับการรวมกลุ่มกันของอนุภาคเซลลูโลสไฟบริล เซลลูโลสไฟบริลมีลักษณะคล้ายเข็มเล็กๆที่สานตัวกันเป็นร่างแท ซึ่งโครงสร้างร่างแทเหล่านี้ทำหน้าที่กักเก็บน้ำไว้ในตัวเองได้ดี จึงทำให้ค่าร้อยละการอ่อนน้ำของเซลลูโลสไฟบริลเพิ่มขึ้นประมาณ 6 เท่าเมื่อเทียบเส้นใยเซลลูโลสที่สามารถอ่อนน้ำไว้ได้เพียง 2 เท่าของน้ำหนักเท่านั้น

4.3 การวิเคราะห์พอลิเมอร์ผสม

หลังจากเตรียมเซลลูโลสไฟบริลและทำการวิเคราะห์สมบัติแล้ว นำเซลลูโลสไฟบริลที่ได้มา ผสมกับพอลิแล็กทิกแอซิดและพอลิไวนิลแอซีเตต แล้วนำมาเตรียมพอลิเมอร์ผสมตามอัตราส่วนที่แสดงดังตารางที่ 3.4 โดยสูตรพอลิเมอร์ผสมเป็นดังนี้

ตารางที่ 4. 3 สัดส่วนโดยน้ำหนักและเปอร์เซ็นต์ของส่วนผสมในพอลิเมอร์ผสม

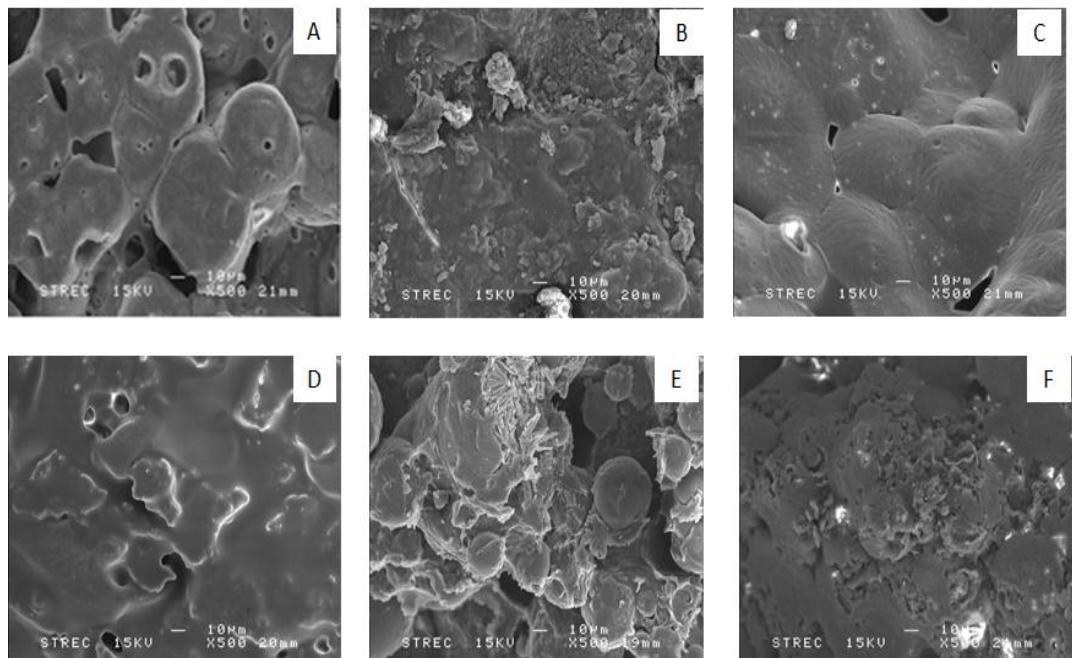
PLA:PVAc:cellulose fibril (by ratio)	พอลิแล็กทิกแอซิด (%)	พอลิไวนิลแอซีเตต (%)	เซลลูโลสไฟบริล (%)
8:1:4	61.54	7.69	30.77
4:1:2	57.14	14.28	28.57
8:3:4	53.33	20.00	26.67
2:1:1	50.00	25.00	25.00
3:2:2	42.86	28.57	28.57
1:1:1	33.33	33.33	33.33

4.2.2 การศึกษาสมบัติสัณฐานวิทยาของพอลิเมอร์ผสมด้วยเทคนิค SEM

จากรูปที่ 4.11 ผลการวิเคราะห์สัณฐานวิทยาของพอลิเมอร์ผสมด้วยเทคนิค SEM ภาพ A ถึง ภาพ D การเตรียมพอลิเมอร์ผสมโดยเพิ่มปริมาณของพอลิไวนิลแอซีเตต จากรูป A, B, C, D น้ำหนักของพอลิไวนิลแอซีเตตเป็น 25, 50, 75, 100 กรัมตามรูปตาม เมื่อเพิ่มปริมาณของพอลิไวนิลแอซีเตตถือว่าเป็นการเพิ่มปริมาณเมทริกซ์จะพบว่าเมื่อปริมาณของเมทริกซ์เพิ่มขึ้นจะทำให้รอยแยกในพอลิเมอร์ผสมลดลง เนื่องมาจากความเข้ากันได้ระหว่างเซลลูโลสไฟบริลและเมทริกซ์เข้ากันได้ดีทำให้เซลลูโลสพวยยามสร้างแรงยึดเหนี่ยวกับเมทริกซ์ ดังนั้นเมื่อปริมาณเมทริกซ์ที่ลดลงทำให้เซลลูโลสเดิงไม่เกลุเมทริกซ์ไม่กลับเข้ากันทำให้เกิดรอยแยกเพิ่มขึ้น

จากรูปที่ 4.11 จากภาพ D ถึง F แสดงสัณฐานวิทยาของพอลิเมอร์ผสมด้วยเทคนิค SEM เมื่อลดปริมาณของพอลิแล็กทิกแอซิดจากภาพ D, E, F ปริมาณพอลิแล็กทิกแอซิดเป็น 200, 150, 100 กรัม ตามลำดับ พบว่าเมื่อลดปริมาณของพอลิแล็กทิกแอซิดลงรอยแยกของพอลิเมอร์ผสมจะมี

เพิ่มขึ้น เนื่องจากพอลิแล็กทิกแอชิดและเซลลูโลสไฟบริล มีความเข้ากันได้ ดังนั้นมีปริมาณของพอลิแล็กทิกแอชิดลดลงซึ่งถือเป็นการลดปริมาณของเมทริกซ์ดังนั้nm เมื่อปริมาณเมทริกซ์ลดลงทำให้เซลลูโลสไฟบริลสร้างแรงยืดเหยียวยืด เมทริกซ์เข้าใกล้โนเกลูลของเซลลูโลสไฟบริล แต่เมื่อปริมาณเมทริกซ์ลดลงจะทำให้มีเซลลูโลสไฟบริลดึงเมทริกซ์เข้าใกล้โนเกลูลจึงเกิดรอยแยกได้เพิ่มขึ้น เมื่อวิเคราะห์ลักษณะทางสัณฐานวิทยาถือว่าพอลิเมอร์ผสมในทุกๆสูตรเป็นเนื้อเดียวกัน

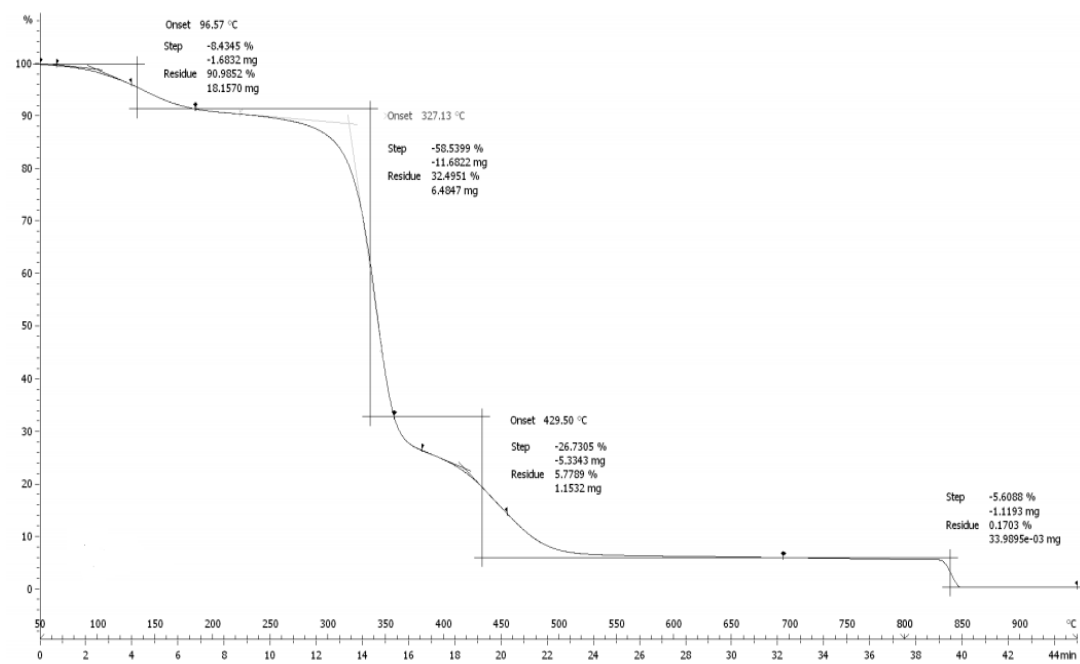


CHULALONGKORN UNIVERSITY

รูปที่ 4. 11 สัณฐานวิทยาของพอลิเมอร์ผสมที่กำลังขยาย 500 เท่า สัดส่วน PLA:PVA:fibril cellulose A) 8:1:4 B) 4:1:2 C) 8:3:4 D) 2:1:1 E) 3:2:2 F) 1:1:1

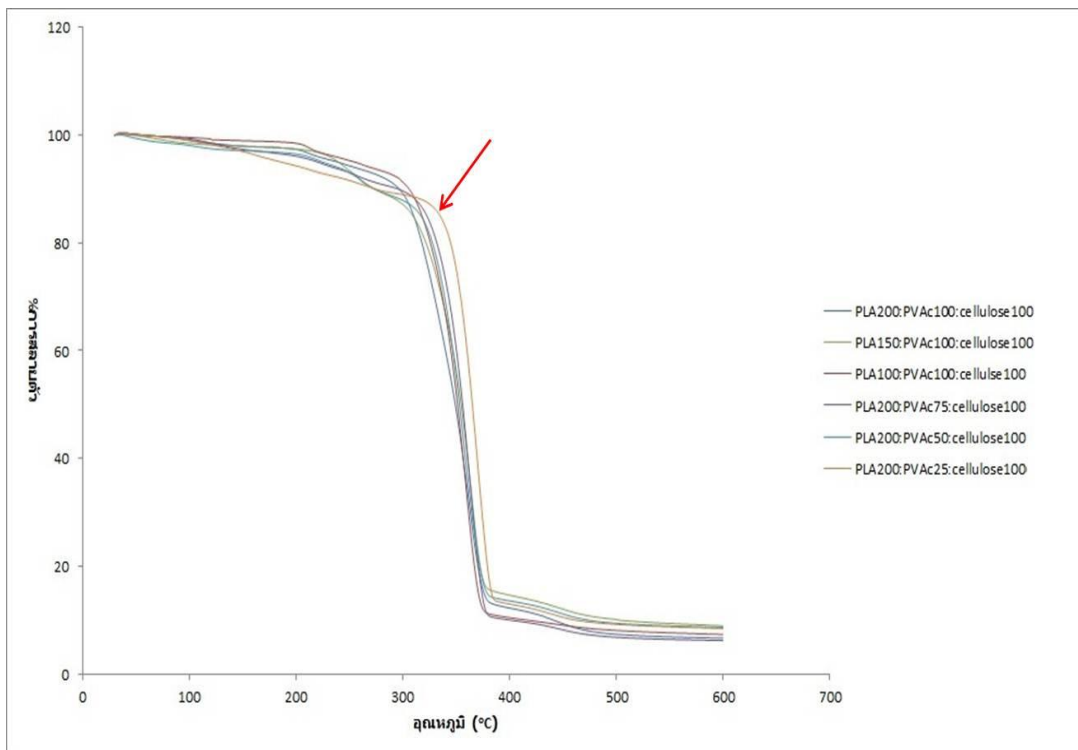
4.2.3 การศึกษาสมบัติทางความร้อนของพอลิเมอร์สมด้วยเทคนิค TGA

จากรูปที่ 4.12 แสดงการวิเคราะห์พอลิเมอร์สมรรถวิวัสดุพอลิแล็คทิกแอซิดและเซลลูโลสไฟบริลซึ่งยังไม่มีการเติมพอลิไวนิลแอซีเทตด้วยเทคนิค TGA พบร่วมช่วง % การลดลงของน้ำหนักขี้เล้า 2 ช่วง แสดงว่าเมื่อผสมพอลิแล็คทิกแอซิดและเซลลูโลสไฟบริลไม่สามารถสมเข้ากันได้



รูปที่ 4.12 การวิเคราะห์สมบัติทางความร้อนของพอลิเมอร์สมรรถวิวัสดุพอลิแล็คทิกแอซิดและเซลลูโลสด้วยเทคนิค TGA

และเมื่อทำการศึกษาสมบัติทางความร้อนของพอลิเมอร์สมรรถวิวัสดุพอลิแล็คทิกแอซิด พอลิไวนิลแอซีเทตและเซลลูโลสไฟบริลผลการทดลองที่ได้ดังแสดงในรูปที่ 4.13



รูปที่ 4. 13 ผลการวิเคราะห์สมบัติทางความร้อนของพอลิเมอร์ผสานด้วยเทคนิค TGA

สมบัติทางความร้อนของพอลิเมอร์ผสานระหว่างพอลิแล็กทิกแอซิด พอลีไวนิลแอซีเทตและเซลลูโลสไฟบริล ตารางที่ 4.4 พอลิแล็กทิกแอซิดมีอุณหภูมิการสลายตัวที่ $361.29\text{ }^{\circ}\text{C}$ เซลลูโลสมีอุณหภูมิการสลายตัวที่ $230\text{ }^{\circ}\text{C}$ และพอลีไวนิลแอซีเทตมีอุณหภูมิการสลายตัวในช่วง $331.1\text{ }^{\circ}\text{C}$ [46] จากรูปที่ 4.13 พอลิเมอร์ผสาน จะมีอุณหภูมิการสลายตัวที่อยู่ระหว่างพอลิแล็กทิกแอซิดพอลีไวนิลแอซีเทตและเซลลูโลสไฟบริล ซึ่งเป็นหลักฐานยืนยันได้ว่าพอลิเมอร์ผสานระหว่างพอลิแล็กทิกแอซิดพอลีไวนิลแอซีเทตและเซลลูโลสไฟบริลสามารถผสานเข้ากันได้ เนื่องจากช่วงอุณหภูมิการสลายตัวอยู่ระหว่างพอลิเมอร์พอลิเมอร์ทั้งสามชนิดโดยคิดค่าเฉลี่ยโดยน้ำหนักก็ทั้งมีอุณหภูมิการสลายตัวเพียงแค่จุดเดียวเท่านั้น ดังนั้นการเติมพอลีไวนิลแอซีเทตลงไปในพอลิเมอร์ผสานจะทำให้ความเข้ากันได้ของพอลิเมอร์ผสานดีขึ้น

จากการพบทว่า ผลการศึกษาสมบัติทางความร้อนของพอลิเมอร์ผสาน ในอัตราส่วนพอลิแล็กทิกแอซิด200:พอลีไวนิลแอซีเทต25:เซลลูโลสไฟบริล100(ดังลูกศร) มีสมบัติการคงตัวต่อความร้อนดีที่สุดโดยกราฟมีอุณหภูมิสูงที่สุด พอลีไวนิลแอซีเทตมีสมบัติเป็นยางจึงทำให้มีเมื่อเติมพอลีไวนิลแอซีเทตในสัดส่วนที่มากพอลิเมอร์ผสานที่ได้จะมีเสถียรภาพทางความร้อนที่ต่ำลง

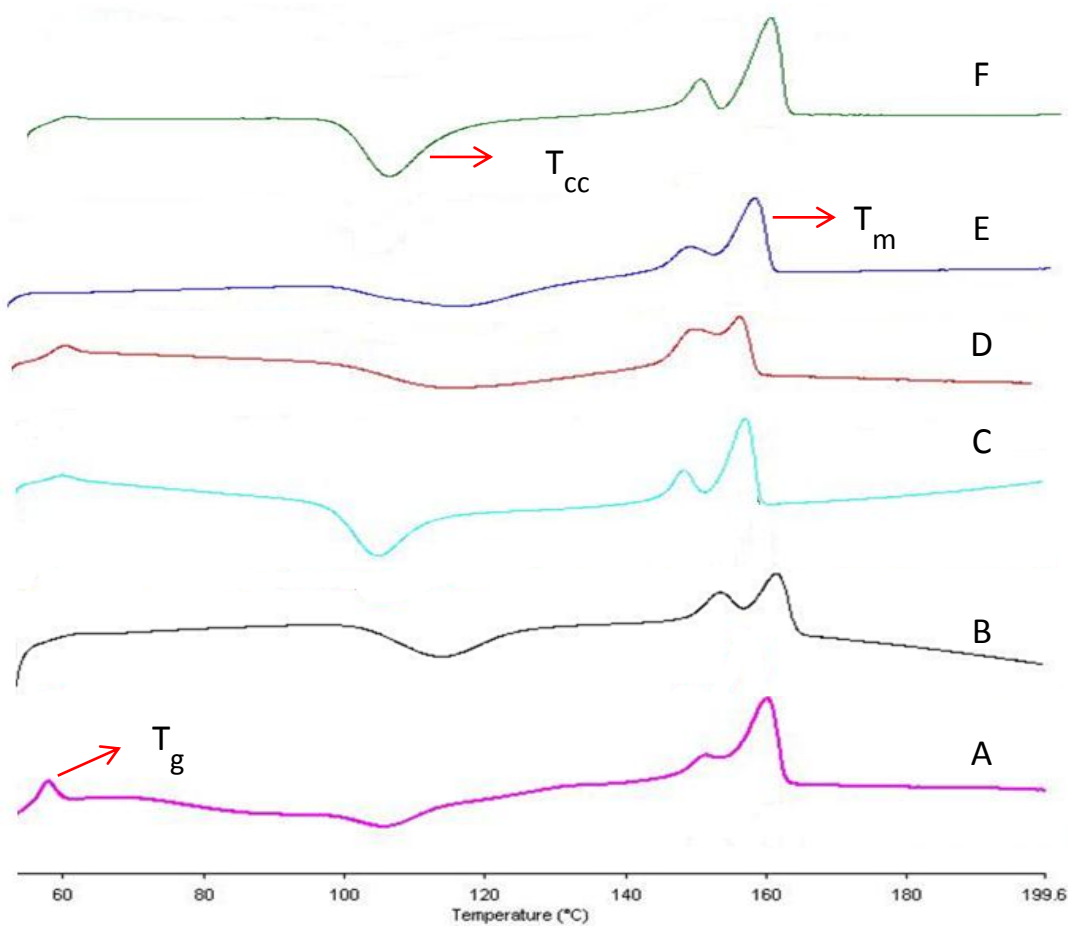
ตารางที่ 4. 4 อุณหภูมิการสลายตัวเมื่อได้รับความร้อนของพอลิเมอร์สมบูรณ์

อุณหภูมิที่เริ่ม สลายตัว (T_{onset} , °C)	อุณหภูมิการสลายตัว (T_d , °C)	% เก้าอี้น้ำที่เหลือที่ 600 °C
PLA:PVAc:cellulose		
8:1:4	340.34	8.4307
4:1:2	322.11	8.6502
8:3:4	329.76	6.2005
2:1:1	314.12	6.6355
3:2:2	323.49	8.9605
1:1:1	319.83	7.3208



4.2.4 การศึกษาสมบัติทางความร้อนของพอลิเมอร์ผสมด้วยเทคนิค DSC

การวิเคราะห์สมบัติทางความร้อนด้วยเทคนิค DSC ต้องการทดสอบเพื่อให้ทราบความเข้ากันได้ระหว่างพอลิแล็กทิกแอซิด/พอลิไวนิลแอซีเตต/เซลลูโลสไฟเบอร์ ผลการศึกษาเป็นไปตามรูปที่ 4.14



รูปที่ 4.14 DSC ของพอลิเมอร์ผสม PLA:PVA:cellulose (A) 200:25:100 (B) 200:50:100
(C) 200:75:100 (D) 200:100:100 (E) 150:100:100 (F) 100:100:100

จากรูปที่ 4.14 ผลของ DSC เทอร์โมแกรมแสดง(สัมฤทธิ์ความร้อน) DSC เทอร์โมแกรมของ A แสดง T_g ที่ซัดเจนเนื่องมาจากมีสัดส่วนของพอลิแล็คทิกแอชิดมากที่สุด โดยค่า T_g ที่ปรากฏเป็นค่า T_g ของ PLA ซึ่งพิคปรากฏในอุณหภูมิ 61°C ดังนั้น T_g ของพอลิเมอร์พสมขึ้นกับสัดส่วนของพอลิแล็คทิกแอชิด ความเข้ากันได้ของพอลิเมอร์พสมสามารถวิเคราะห์ได้โดยการติดตาม T_g พอลิเมอร์องค์ประกอบแต่ละชนิด ซึ่งสำหรับพอลิเมอร์พสมที่สามารถเข้ากันได้จะมีค่าของ T_g เพียงแค่อุณหภูมิเดียว ซึ่งจากการทดสอบบัติของพอลิเมอร์พสมทั้ง 6 ตัวอย่าง พบว่าแสดงค่าอุณหภูมิ T_g ในตัวอย่างที่มีการเติมพอลิแล็คทิกแอชิดในปริมาณมากและพบค่าอุณหภูมิ T_g เพียงแค่ค่าเดียวเท่านั้น

พื้นที่ใต้กราฟของการแสดงอุณหภูมิของการหลอมเหลว (T_m) จะสังเกตว่าการถลายตัวแยกเป็นสองพีคของบริเวณผลึกและบริเวณอสัณฐานพอลิเมอร์ที่แตกต่างกันตามอัตราส่วนของพอลิเมอร์พสม ซึ่งพีคที่เกิดขึ้นในตำแหน่งที่อุณหภูมิสูงกว่าจะแสดงถึงการหลอมผลึกที่มีความสมบูรณ์และผลึกที่เกิดขึ้นเพิ่มในขั้นตอนของการให้ความร้อน

นำค่าความร้อนของสารถลายตัวมาคำนวณหาเปอร์เซ็นต์ความเป็นผลึกได้ดังสมการ

$$\%X_c = \frac{\Delta H_f}{\Delta H_f^\circ} \times 100$$

โดย ΔH_f คือ ค่าเอนทัลปีของการถลายตัวและ ΔH_f° คือ เอนทัลปีของการถลายตัวของพอลิแล็คทิกแอชิดที่มีความเป็นผลึก 100 เปอร์เซ็นต์(เท่ากับพอลิแล็คทิกแอชิด $\Delta H_f^\circ = 93 \text{ J/g}$) ค่า $\%X_c$ ที่คำนวณได้ และค่า T_g , T_m , ΔH_f ที่ได้จากการนำตัวอย่างมาวิเคราะห์ด้วยเทคนิค DSC แสดงดังตารางที่ 4.5

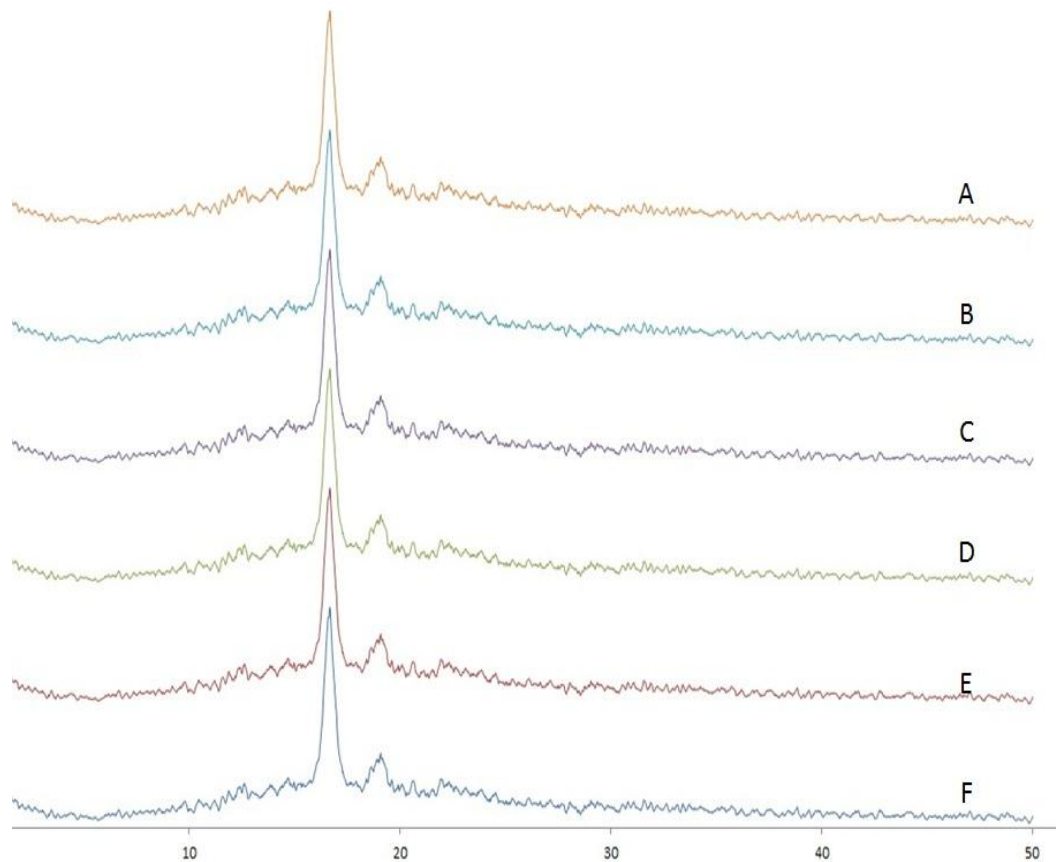
ตารางที่ 4.5 สมบัติทางความร้อนของพอลิเมอร์ผสม

ตัวอย่าง	PLA:PVAc:cellulose fibril	T_m (°C)	T_{cc} (°C)	ΔH_m	% X_c
1	8:1:4	160.5	106.1	7.91	8.50
2	8:2:4	160.9	-	17.6	18.9
3	8:3:4	156.8	105.0	31.4	33.8
4	8:4:4	167.6	-	18.8	20.2
5	6:4:4	158.1	-	20.0	21.5
6	1:1:1	104.7	157.3	32.9	35.4

จากตารางที่ 4.5 พบว่าค่าความเป็นผลึก ของพอลิเมอร์ผสมจากตัวอย่างที่ 1 ถึง 4 เมื่อ เปอร์เซ็นต์โดยมวลของพอลิไวนิลแอซีเทตเพิ่มขึ้นความเป็นผลึกจะเพิ่มขึ้น เมื่อสัดส่วนของพอลิ แล็กทิกแอซิดลดลงจากตัวอย่างที่ 4 ถึงตัวอย่างที่ 6 พบว่าความเป็นผลึกของพอลิเมอร์ผสมจะลดลง เมื่อสัดส่วนของพอลิแล็กทิกแอซิดเพิ่มขึ้น

4.2.5 การศึกษาความเป็นผลึกด้วยเทคนิค XRD

นำตัวอย่างพอลิเมอร์ผสมไปวิเคราะห์ความเป็นผลึกด้วยเทคนิค XRD พบว่า ผลการ วิเคราะห์เป็นตังรูปที่ 4.15 พีคขึ้นสูงสุดในช่วง $2\theta = 16$ ถึง 17 องศา และมีพีคขนาดเล็กในช่วง $2\theta = 18 - 19$ องศา ซึ่งเป็นพีคของพอลิแล็กทิกแอซิด [43] โดยปกติแล้วพอลิแล็กทิกแอซิดจะมีผลึกที่ไม่ ชัดเจน แต่เนื่องจากการเติมเซลลูโลสนาโนไฟบริลทำให้พอลิแล็กทิกแอซิดมีความเป็นผลึกสูงขึ้น ซึ่ง สอดคล้องกับผลการวิเคราะห์ T_m ด้วยเทคนิค DSC



รูปที่ 4. 15 การวิเคราะห์โครงสร้างพลีกของพอลิเมอร์ผสมด้วยเทคนิค XRD อัตราส่วน

PLA:PVAc:cellulose fibril (A) 8:1:4 (B) 4:1:2 (C) 8:3:4 (D) 2:1:1 (E) 3:2:2 (F) 1:1:1

ตารางที่ 4. 6 เปอร์เซ็นต์ความเป็นพลีกของพอลิเมอร์ผสม

ตัวอย่าง	PLA:PVAc:cellulose fibril	% crystallinity
1	8:1:4	31.92
2	8:2:4	33.13
3	8:3:4	27.14
4	8:4:4	29.92
5	6:4:4	32.21
6	1:1:1	36.87

จากผลการศึกษาความเป็นผลึกของพอลิเมอร์สม และทำการวิเคราะห์เปอร์เซ็นต์ความเป็นผลึกด้วยเทคนิค XRD เมื่อเปอร์เซ็นต์พอลิไวนิลแอซีเทตเพิ่มขึ้นจากตัวอย่างที่ 1 ถึงตัวอย่างที่ 4

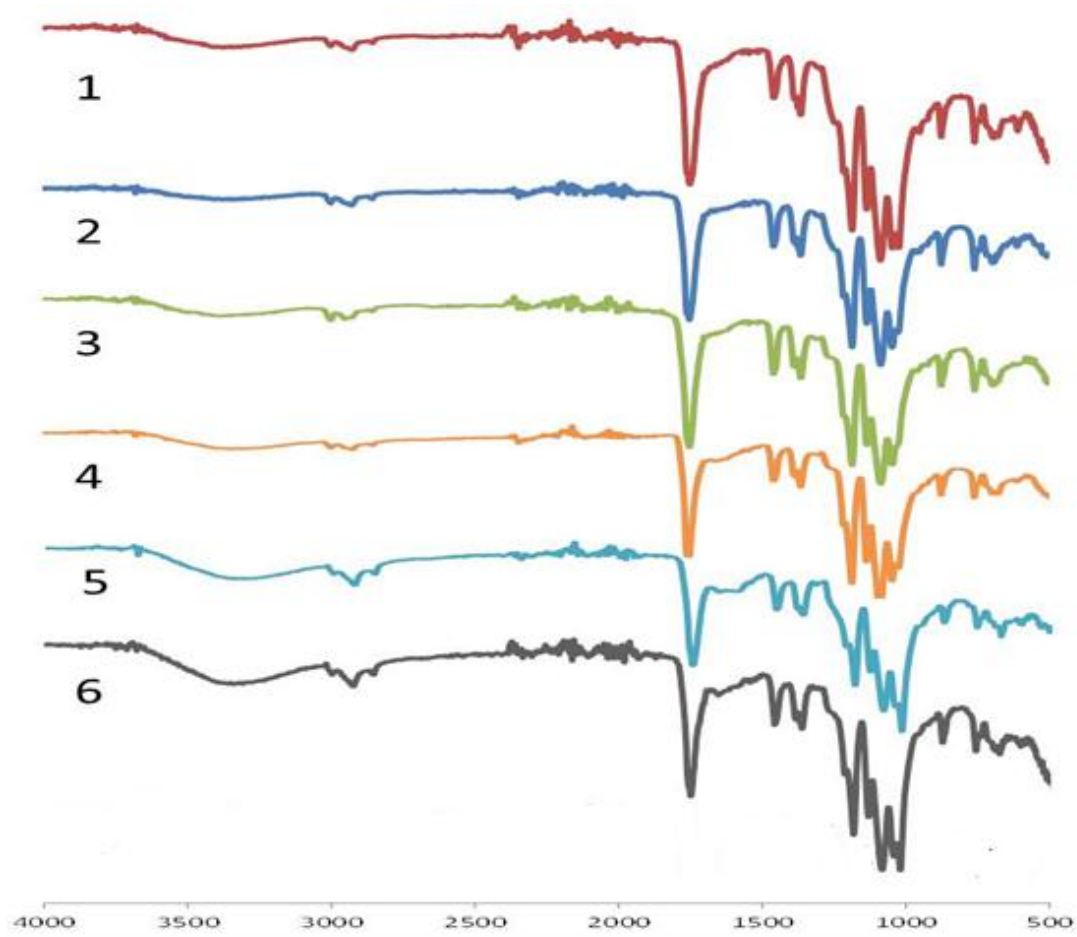
4.2.6 การวิเคราะห์หมุ่ฟังก์ชันของพอลิเมอร์สมพอลิแล็กทิกแอซิด/พอลิไวนิลแอซีเทต/เซลลูโลสไฟบริลด้วยเทคนิค FT-IR

การวิเคราะห์อันตราริยาระหว่างพอลิแล็กทิกแอซิด/พอลิไวนิลแอซีเทต/เซลลูโลสไฟบริลสามารถทดสอบด้วยการวิเคราะห์หมุ่ฟังก์ชันด้วยเทคนิคฟูเรียร์ทرانสฟอร์มอินฟราเรดสเปกโตรสโคป (FTIR) นำตัวอย่างแผ่นพอลิเมอร์สมประมาณ 5 กรัมไปวางบนเครื่องฟูเรียร์ทرانสฟอร์มอินฟราเรดสเปกโตรสโคป โดยหมุ่ฟังก์ชันที่มีในพอลิเมอร์ทั้ง 3 ชนิดเป็นไปดังตารางที่ 4.7

ตารางที่ 4.7 ค่าการดูดกลืนแสงด้วยเทคนิค FT-IR ของหมุ่ฟังก์ชันต่างๆ

โครงสร้างโมเลกุล	หมุ่ฟังก์ชัน	พีค(cm^{-1})
พอลิแล็กทิกแอซิด 	C=O	1735
	C-H	2800 – 3000
	C-O-C	1070
	(C=O)-O-	1070
	-OH	3700 - 3100
	-CH ₃	1550 - 1300
พอลิไวนิลแอซีเทต 	-CH ₃ , -CH ₂ -	3000 – 2800
	(C=O)-O-	1070
เซลลูโลส 	-OH	3700 - 3100
	-CH	3000 – 2800
	C-O-C	1300 – 1000
	C-OH	1300 - 1000

ทำการวิเคราะห์พอลิเมอร์ผสานระหว่างพอลิแล็คทิกแอซิด/พอลีไวนิลแอซีเทต/เซลลูโลสไฟบริล ทดสอบหาหมู่ฟังก์ชันด้วยเทคนิคฟูเรียร์ทรานส์ฟอร์มอินฟราเรดスペกโตรสโคปี ทำการทดลองโดยนำแผ่นตัวอย่างแผ่นพอลิเมอร์ผสานไปวางบนเครื่องฟูเรียร์ทรานส์ฟอร์มอินฟราเรดスペกโตรสโคปี ผลของスペกตรัมของพอลิเมอร์ผสานเป็นดังแสดงในรูปที่ 4.16



รูปที่ 4. 16 แสดง FT-IR สเปกตรัมของพอลิเมอร์ผสานอัตราส่วน PLA:PVA:cellulose fibril

(1) 8:1:4 (2) 4:1:2 (3) 8:3:4 (4) 2:1:1 (5) 3:2:2 (6) 1:1:1

จากรูปที่ 4.16 พื้นที่ปราภูมิสีที่ตำแหน่ง 3500 cm^{-1} แสดงเอกลักษณ์ของหมู่ -OH จากกราฟที่ 1 ถึงกราฟที่ 4 เป็นการลดลงของปริมาณพอลีไวนิลแอซีเทตลดลงของพื้นที่

เนื่องจากหมู่ $-OH$ มาจากโครงสร้างโมเลกุลของเซลลูโลสไฟบริลดังนั้นการลดลงของหมุ่นแสดงว่าหมู่นี้มีการสร้างเรงยีดเหนี่ยกับโมเลกุลอื่นดังนั้นการเพิ่มปริมาณของพอลิไวนิลแอซีเทตจะทำให้เซลลูโลสไฟบริลสร้างเรงยีดเหนี่ยกับพอลิไวนิลแอซีเทตได้มากขึ้น อีกทั้งการลดลงของพอลิแล็กทิกแอซิดในตัวอย่างที่ 4 ถึง 6 เนื่องจากการลดลงของพอลิแล็กทิกแอซิดทำให้เรงยีดเหนี่ยวระหว่างพอลิแล็กทิกแอซิดและเซลลูโลสไฟบริลลดลงทำให้มีปริมาณเซลลูโลสไฟบริลเหลือจึงปรากฏหมู่ $-OH$ ซึ่งเป็นหมู่ฟังก์ชันหลักในเซลลูโลสไฟบริลชัดเจนขึ้น พีคที่ปรากฏคุดกลืนรังสีที่ตำแหน่ง $3000 - 2800 \text{ cm}^{-1}$ แสดงเอกลักษณ์การคุดกลืนรังสีอินฟารेटของพันธะ $-CH$ ซึ่งปรากฏในทุกๆ ตัวอย่างของพอลิเมอร์สม แต่จะแสดงชัดเจนในพีคที่ 5, 6 ซึ่งมีปริมาณของพอลิแล็กทิกแอซิดลดลง พีคที่ปรากฏคุดกลืนรังสีที่ตำแหน่ง 1735 cm^{-1} แสดงเอกลักษณ์การคุดกลืนรังสีอินฟารेटของพันธะ $C=O$ ซึ่งจะปรากฏอย่างชัดเจนในทุกๆ พีค และพีคที่ปรากฏคุดกลืนรังสีที่ตำแหน่ง $1300 - 1000 \text{ cm}^{-1}$ แสดงเอกลักษณ์การคุดกลืนรังสีอินฟารेटของพันธะ $C-O-C$ ซึ่งแสดงชัดในทุกๆ พีค



บทที่ 5

สรุปผลการทดลองและข้อเสนอแนะ

5.1 สรุปผลการทดลอง

งานวิจัยนี้มีวัตถุประสงค์เพื่อศึกษาการเตรียมเซลลูโลสไฟบริลด้วยการผสานไฮโดรออกไซด์บิสูทีฟลูอิด และนำเซลลูโลสไฟบริลที่เตรียมได้มาเตรียมพอลิเมอร์ผสานศึกษาความเข้ากันได้ของพอลิเมอร์ผสาน ผลการทดลองเป็นดังนี้

5.1.1 การสกัดเซลลูโลสจากต้นยาสูบด้วยสารละลายโซเดียมไฮดรอกไซด์บิสูทีฟลูอิด เนื่องจากผลึกที่ได้เมื่อเทียบกับผลึกของต้นยาสูบหลังจากการวิเคราะห์ความเป็นผลึกด้วยเทคนิค XRD แล้ว มีพื้นที่แพร่และแคบกว่าเนื่องจากเซลลูโลสที่สกัดได้ไม่มีลักษณะการบกวนความเป็นผลึก

5.1.2 การเตรียมเซลลูโลสไฟบริลโดยการทำกรดนำเซลลูโลสมาทำปฏิกิริยาไฮโดรไลซิสกับกรดชัลฟิวริกแล้วทำการเปรียบเทียบผลเซลลูโลสไฟบริลที่เตรียมได้ด้วยการเติมไฮโดรออกไซด์บิสูทีฟลูอิด ซึ่งจะนำไฮโดรออกไซด์บิสูทีฟลูอิดไปกระจายตัวในกรดแอซิติกแล้วผสานกับเซลลูโลสไฟบริลด้วยสัดส่วนน้ำหนักหนึ่งต่อหนึ่ง เมื่อทำการศึกษาสมบัติของเซลลูโลสไฟบริลที่เตรียมได้ วัดขนาดเซลลูโลสไฟบริลด้วยการนำเซลลูโลสไฟบริลไปกระจายตัวในน้ำแล้ววัดขนาดวัดเครื่องวัดขนาดอนุภาคพบว่า เซลลูโลสไฟบริลที่เตรียมในระบบเติมไฮโดรออกไซด์บิสูทีฟลูอิดมีขนาดเล็กกว่าเซลลูโลสไฟบริลที่เตรียมในระบบไม่เติมไฮโดรออกไซด์บิสูทีฟลูอิด เนื่องจากเซลลูโลสไฟบริลสร้างอันตรกิริยากับไฮโดรออกไซด์บิสูทีฟลูอิดในโมเลกุลของเซลลูโลสไฟบริลและหมู่อะมิโนในไฮโดรออกไซด์บิสูทีฟลูอิด เมื่อไฮโดรออกไซด์บิสูทีฟลูอิดมีการสร้างแรงดึงเห็นiy กันทำให้เซลลูโลสไฟบริลดการเกาะกลุ่มกันและกระจายตัวได้ดีขึ้นเมื่อนำไปทำปฏิกิริยาไฮโดรไลซิสกับกรดชัลฟิวริกทำให้กรดชัลฟิวริกเข้าทำปฏิกิริยากับเซลลูโลสไฟบริลได้ดีขึ้นเซลลูโลสไฟบริลที่เตรียมได้จึงมีขนาดเล็กลงเมื่อมีการเติมไฮโดรออก사이ด์บิสูทีฟลูอิด และเมื่อทำการศึกษาความเป็นผลึกด้วยเทคนิค XRD ของเซลลูโลสไฟบริลเพื่อยืนยันว่าเซลลูโลสไฟบริลที่เติมไฮโดรออกไซด์บิสูทีฟลูอิดทำปฏิกิริยากับกรดชัลฟิวริกได้ดีขึ้น ซึ่งจากการวิเคราะห์ความเป็นผลึกด้วยเทคนิค XRD พบร่วมกับเซลลูโลสไฟบริลที่เตรียมในระบบเติมไฮโดรออกไซด์บิสูทีฟลูอิดมีความแตกต่างกันมากกว่า ภาพ XRD ที่ได้จึงมีความแพร่หลายของพีคมากกว่าอีกทั้งยังสอดคล้องกับการผลการวิเคราะห์การกระจายตัวในน้ำโดยนำเซลลูโลสไฟบริลที่ได้ไปโซนิเคตแล้วว่างทึ้งไว้สังเกตการตกตะกอน พบร่วมกับเซลลูโลสไฟบริลที่เตรียมโดยการเติมไฮโดรออกไซด์บิสูทีฟลูอิดซึ่งเป็นการยืนยันว่าเซลลูโลสไฟบริลที่เติมไฮโดรออกไซด์บิสูทีฟลูอิดมีความเป็นผลึกสูงกว่าอีกทั้งเมื่อทำการศึกษาการบรวมตัวในน้ำพบว่าเซลลูโลสไฟบริลที่เตรียมมีการบรวมตัวที่ไม่แตกต่างกันอย่างมีนัยสำคัญ ผลการทดลองทั้งหมดสามารถยืนยันได้ว่าเซลลูโลส

ไฟบริลที่เตรียมได้โดยการเติมไฮโดรเจนอะตอเมติกและสารต้านออกซิเดชันจะสามารถจัดการกับกรดซัลฟิวริกและสารทำปฏิกิริยาได้ดีกว่า

5.1.3 ทำการเตรียมพอลิเมอร์สมรรถนะว่างพอลิแล็กทิกแอชิดพอลิไวนิลแอซีเทตและเซลลูโลสไฟบริล โดยนำเซลลูโลสไฟบริลเจลที่เตรียมได้มาผสานกับพอลิไวนิลแอซีเทตแล้วคนจนมีความเข้ากันได้ จากนั้นนำผสานกับพอลิแล็กทิกแอชิดที่ละลายในไดคลอโรเมทีนคนจนเข้ากันอีกทั้งแล้วเพื่อเตรียมได้มาเทลงในงาน เพราะเชื้อทึ่งไวรัสนั้นแห้งแล้วนำไปวิเคราะห์ความเข้ากันได้ของพอลิเมอร์สมโดยนำพอลิเมอร์สมที่เตรียมได้ไปวิเคราะห์สัณฐานวิทยาด้วยเทคนิค SEM พบว่าพอลิเมอร์สมที่เตรียมได้หลอมตัวเป็นเนื้อเดียวกัน จากนั้นวิเคราะห์สมบัติทางความร้อนของพอลิเมอร์สมด้วยเทคนิค TGA เปรียบเทียบระหว่างพอลิเมอร์สมรรถนะว่างพอลิแล็กทิกแอชิดกับเซลลูโลสไฟบริล พบว่าเมื่อวิเคราะห์อุณหภูมิการสลายตัวของพอลิเมอร์สมรรถนะว่างพอลิแล็กทิกแอชิดและเซลลูโลสไฟบริลมีอุณหภูมิการสลายตัว 2 ช่วง ซึ่งเป็นของพอลิแล็กทิกแอชิดและเซลลูโลสไฟบริลแสดงว่าพอลิเมอร์สมรรถนะว่างพอลิแล็กทิกแอชิด/พอลิไวนิลแอซีเทต/เซลลูโลสไฟบริลไม่สมเป็นเนื้อเดียวกัน แต่สำหรับพอลิเมอร์สมรรถนะว่างพอลิแล็กทิกแอชิด/พอลิไวนิลแอซีเทต/เซลลูโลสไฟบริลพบว่ามีอุณหภูมิการสลายตัวเพียงแค่ 1 ช่วงเท่านั้น ดังนั้นพอลิเมอร์สมที่เตรียมได้มีสมบัติการทนความร้อนที่ดีขึ้นอีกทั้งพอลิเมอร์สมยังเป็นเนื้อเดียวกัน และเมื่อวิเคราะห์การทนความร้อนจากการทดลองทดสอบแสดงว่าพอลิเมอร์สมที่เตรียมในสัดส่วน พอลิแล็กทิกแอชิด:พอลิไวนิลแอซีเทต:เซลลูโลสไฟบริล ในอัตราส่วน 200:25:100 ซึ่งเป็นตัวอย่างที่มีอัตราส่วนของพอลิไวนิลแอซีเทตน้อยที่สุดมีค่าสมบัติการทนต่ำความร้อนดีที่สุด ดังนั้นพอลิไวนิลแอซีเทตทำให้สมบัติทางความร้อนของพอลิเมอร์สมลดลงเนื่องจากพอลิไวนิลแอซีเทตมีสมบัติเป็นยางจึงทำให้พอลิเมอร์สมมีค่าการทนความร้อนลดลงเมื่อมีการพอยไวนิลแอซีเทตที่เพิ่มขึ้น อีกทั้งยังสามารถยืนยันความเป็นลักษณะของพอลิเมอร์สมได้จากเทคนิค XRD พบว่าพื้นที่ได้ปรากฎ 2θ ในช่วง 16 – 19 องศา ซึ่งเป็นพื้นที่ของพอลิแล็กทิกแอชิดแต่ไม่แสดงพื้นที่ของเซลลูโลส แสดงว่าเซลลูโลสและพอลิแล็กทิกแอชิดที่เตรียมได้มีความเข้ากันได้อีกทั้งเซลลูโลสที่ยังช่วยทำให้พอลิแล็กทิกแอชิดมีความเป็นผลึกที่สูงขึ้นซึ่งผลการวิเคราะห์แสดงพื้นที่ 2 พีค และสอดคล้องกับการทดสอบอุณหภูมิการหลอมเหลว จากเทคนิค DSC พบว่า พื้นที่ T_m ใน DSC 2 พีคเช่นกัน

5.2 ข้อเสนอแนะ

ทดสอบสมบัติเชิงกลของพอลิเมอร์สมรรถนะว่างพอลิแล็กทิกแอชิดและเซลลูโลสไฟบริล ว่าได้ผลการทดลองสอดคล้องกับผลการทดสอบสมบัติความเข้ากันได้หรือไม่

รายการอ้างอิง

- [1] Rasal, R.M., Janorkar, A.V., and Hirt, D.E. Poly (lactic acid) modifications. *Progress in polymer science* 35(3) (2010): 338-356.
- [2] Drumright, R.E., Gruber, P.R., and Henton, D.E. Polylactic acid technology. *Advanced materials* 12(23) (2000): 1841-1846.
- [3] Martin, O. and Averous, L. Poly (lactic acid): plasticization and properties of biodegradable multiphase systems. *Polymer* 42(14) (2001): 6209-6219.
- [4] Achmad, F., Yamane, K., Quan, S., and Kokugan, T. Synthesis of polylactic acid by direct polycondensation under vacuum without catalysts, solvents and initiators. *Chemical Engineering Journal* 151(1) (2009): 342-350.
- [5] Mehta, R., Kumar, V., Bhunia, H., and Upadhyay, S. Synthesis of poly (lactic acid): a review. *Journal of Macromolecular Science, Part C: Polymer Reviews* 45(4) (2005): 325-349.
- [6] Lasprilla, A.J., Martinez, G.A., Lunelli, B.H., Jardini, A.L., and Maciel Filho, R. Poly-lactic acid synthesis for application in biomedical devices—A review. *Biotechnology advances* 30(1) (2012): 321-328.
- [7] Tian, D., Dubois, P., Grandfils, C., and Jérôme, R. Ring-opening polymerization of 1, 4, 8-trioxaspiro [4.6]-9-undecanone: A new route to aliphatic polyesters bearing functional pendent groups. *Macromolecules* 30(3) (1997): 406-409.
- [8] Jonoobi, M., Harun, J., Mathew, A.P., and Oksman, K. Mechanical properties of cellulose nanofiber (CNF) reinforced polylactic acid (PLA) prepared by twin screw extrusion. *Composites Science and Technology* 70(12) (2010): 1742-1747.
- [9] Jackanicz, T.M., Nash, H.A., Wise, D.L., and Gregory, J.B. Polylactic acid as a biodegradable carrier for contraceptive steroids. *Contraception* 8(3) (1973): 227-234.
- [10] Cutright, D.E., Perez, B., Beasley, J.D., Larson, W.J., and Posey, W.R. Degradation rates of polymers and copolymers of polylactic and polyglycolic acids. *Oral Surgery, Oral Medicine, Oral Pathology* 37(1) (1974): 142-152.

- [11] Smith, A. Evaluation of poly (lactic acid) as a biodegradable drug delivery system for parenteral administration. *International journal of pharmaceutics* 30(2) (1986): 215-220.
- [12] Gilding, D. and Reed, A. Biodegradable polymers for use in surgery—polyglycolic/poly (actic acid) homo-and copolymers: 1. *Polymer* 20(12) (1979): 1459-1464.
- [13] Jin, T. and Zhang, H. Biodegradable polylactic acid polymer with nisin for use in antimicrobial food packaging. *Journal of Food Science* 73(3) (2008): M127-M134.
- [14] Vink, E.T., et al. The sustainability of NatureWorks™ polylactide polymers and Ingeo™ polylactide fibers: an update of the future. *Macromolecular bioscience* 4(6) (2004): 551-564.
- [15] Liu, S.-J. and Chen, Y.-S. The manufacturing of thermoplastic composite parts by water-assisted injection-molding technology. *Composites Part A: Applied Science and Manufacturing* 35(2) (2004): 171-180.
- [16] Advani, S.G. and Sozer, E.M. *Process modeling in composites manufacturing*. Vol. 59: CRC Press, 2010.
- [17] Auras, R.A., Harte, B., Selke, S., and Hernandez, R. Mechanical, physical, and barrier properties of poly (lactide) films. *Journal of Plastic Film and Sheeting* 19(2) (2003): 123-135.
- [18] Cink, K., Bopp, R., and Sikkema, K. *Injection stretch blow molding process using polylactide resins*. 2005, Google Patents.
- [19] Vink, E.T., Rabago, K.R., Glassner, D.A., and Gruber, P.R. Applications of life cycle assessment to NatureWorks™ polylactide (PLA) production. *Polymer degradation and stability* 80(3) (2003): 403-419.
- [20] Henton, D.E., Gruber, P., Lunt, J., and Randall, J. Polylactic acid technology. *Natural Fibers, Biopolymers, and Biocomposites*, Taylor & Francis, Boca Raton, FL (2005): 527-577.
- [21] Auras, R.A., Lim, L.-T., Selke, S.E., and Tsuji, H. *Poly (lactic acid): synthesis, structures, properties, processing, and applications*. Vol. 10: John Wiley & Sons, 2011.

- [22] Sin, L.T., Rahmat, A.R., and Rahman, W.A. Polylactic acid: PLA biopolymer technology and applications. William Andrew, 2012.
- [23] Rhim, J.-W., Lee, J.H., and Ng, P.K. Mechanical and barrier properties of biodegradable soy protein isolate-based films coated with polylactic acid. LWT-Food Science and Technology 40(2) (2007): 232-238.
- [24] Taib, R.M., Ramarad, S., Ishak, Z.A.M., and Todo, M. Properties of kenaf fiber/polylactic acid biocomposites plasticized with polyethylene glycol. Polymer composites 31(7) (2010): 1213-1222.
- [25] Elmendorp, J.J. A study on polymer blending microrheology. Polymer Engineering & Science 26(6) (1986): 418-426.
- [26] De Rodriguez, N.L.G., Thielemans, W., and Dufresne, A. Sisal cellulose whiskers reinforced polyvinyl acetate nanocomposites. Cellulose 13(3) (2006): 261-270.
- [27] O'SULLIVAN, A.C. Cellulose: the structure slowly unravels. Cellulose 4(3) (1997): 173-207.
- [28] Siró, I. and Plackett, D. Microfibrillated cellulose and new nanocomposite materials: a review. Cellulose 17(3) (2010): 459-494.
- [29] Zhbankov, R., Firsov, S., Buslov, D., Nikonenko, N., Marchewka, M., and Ratajczak, H. Structural physico-chemistry of cellulose macromolecules. Vibrational spectra and structure of cellulose. Journal of molecular structure 614(1) (2002): 117-125.
- [30] Morán, J.I., Alvarez, V.A., Cyras, V.P., and Vázquez, A. Extraction of cellulose and preparation of nanocellulose from sisal fibers. Cellulose 15(1) (2008): 149-159.
- [31] Edgar, R.C. Extraction of cellulose. 1926, Google Patents.
- [32] Pasquini, D., de Morais Teixeira, E., da Silva Curvelo, A.A., Belgacem, M.N., and Dufresne, A. Extraction of cellulose whiskers from cassava bagasse and their applications as reinforcing agent in natural rubber. Industrial Crops and products 32(3) (2010): 486-490.
- [33] Klemm, D., Heublein, B., Fink, H.P., and Bohn, A. Cellulose: fascinating biopolymer and sustainable raw material. Angewandte Chemie International Edition 44(22) (2005): 3358-3393.

- [34] Pallesen, B.E. The quality of combine-harvested fibre flax for industrials purposes depends on the degree of retting. *Industrial Crops and products* 5(1) (1996): 65-78.
- [35] Lee, S.-Y., Chun, S.-J., Kang, I.-A., and Park, J.-Y. Preparation of cellulose nanofibrils by high-pressure homogenizer and cellulose-based composite films. *Journal of Industrial and Engineering Chemistry* 15(1) (2009): 50-55.
- [36] Kaushik, A., Singh, M., and Verma, G. Green nanocomposites based on thermoplastic starch and steam exploded cellulose nanofibrils from wheat straw. *Carbohydrate Polymers* 82(2) (2010): 337-345.
- [37] Chen, W., Yu, H., Liu, Y., Chen, P., Zhang, M., and Hai, Y. Individualization of cellulose nanofibers from wood using high-intensity ultrasonication combined with chemical pretreatments. *Carbohydrate Polymers* 83(4) (2011): 1804-1811.
- [38] Yu, L., Dean, K., and Li, L. Polymer blends and composites from renewable resources. *Progress in polymer science* 31(6) (2006): 576-602.
- [39] Gajria, A.M., Dave, V., Gross, R.A., and McCarthy, S.P. Miscibility and biodegradability of blends of poly (lactic acid) and poly (vinyl acetate). *Polymer* 37(3) (1996): 437-444.
- [40] Södergård, A. and Stolt, M. Properties of lactic acid based polymers and their correlation with composition. *Progress in polymer science* 27(6) (2002): 1123-1163.
- [41] Unalan, I.U., Cerri, G., Marcuzzo, E., Cozzolino, C.A., and Farris, S. Nanocomposite films and coatings using inorganic nanobuilding blocks (NBB): current applications and future opportunities in the food packaging sector. *RSC advances* 4(56) (2014): 29393-29428.
- [42] Abdulkhani, A., Hosseinzadeh, J., Ashori, A., Dadashi, S., and Takzare, Z. Preparation and characterization of modified cellulose nanofibers reinforced polylactic acid nanocomposite. *Polymer Testing* 35 (2014): 73-79.
- [43] Suryanegara, L., Nakagaito, A.N., and Yano, H. The effect of crystallization of PLA on the thermal and mechanical properties of microfibrillated cellulose-reinforced PLA composites. *Composites Science and Technology* 69(7) (2009): 1187-1192.

- [44] Frone, A.N., Berlioz, S., Chailan, J.-F., and Panaiteescu, D.M. Morphology and thermal properties of PLA-cellulose nanofibers composites. *Carbohydrate Polymers* 91(1) (2013): 377-384.
- [45] Shogren, R.L., Peterson, S.C., Evans, K.O., and Kenar, J.A. Preparation and characterization of cellulose gels from corn cobs. *Carbohydrate Polymers* 86(3) (2011): 1351-1357.
- [46] Shi, Q., Zhou, C., Yue, Y., Guo, W., Wu, Y., and Wu, Q. Mechanical properties and in vitro degradation of electrospun bio-nanocomposite mats from PLA and cellulose nanocrystals. *Carbohydrate Polymers* 90(1) (2012): 301-308.
- [47] Sun, J., Yu, H., Zhuang, X., Chen, X., and Jing, X. Crystallization behavior of asymmetric PLLA/PDLA blends. *The Journal of Physical Chemistry B* 115(12) (2011): 2864-2869.





ภาคผนวก ก

ภาคผนวก ก การวิเคราะห์สมบัติของเยื่อเซลลูโลสจากต้นยาสูบ ตามมาตรฐาน TAPPI (Technical Association of The Pulp and Paper Industry)

มาตรฐานการทดสอบ
1. APPITA P4 M-61 การหาค่าการละลายในน้ำร้อน(hot water solubility)
2. APPITA P5 M-61 การหาค่าการละลายในสารคละลายโซเดียมไฮดรอกไซด์ (1% NaOH solubility)
3. APPITA P7 M-70 การหาค่าการละลายในแอลกอฮอล์และเบนซิน (Alcohol-benzene solubility)
4. TAPPI 9M-54 การหาปริมาณโฮโลเซลลูโลส (Holo-cellulose)
5. TAPPI T203 om-93 การหาปริมาณ แอลฟ่าเซลลูโลส(Alpha-cellulose)

ภาคผนวก ก-1 การวิเคราะห์ปริมาณความชื้น (Moisture Content)

ชั่งน้ำหนักตัวอย่างไม้จากการเตรียมข้างบนประมาณ 1 กรัม(A) ในขวดชั่งสาร (Weighing bottle) นำเข้าตู้อบเป็นเวลา 5 ชั่วโมง ตั้งอุณหภูมิในการอบไว้ที่ $100 \pm 5^{\circ}\text{C}$ หลังจากนั้น นำออกไปทำให้เย็นใน ตู้ดูความชื้น (desiccator) ชั่งน้ำหนักจนกระทั่งได้น้ำหนักที่คงที่ (B)

คำนวณเปอร์เซ็นต์ความชื้นในไม้ได้จากสูตร

$$\% \text{ moisture content} = [(A-B) \times 100] / B$$

**ภาคผนวก ก-2 การหาปริมาณสารแพรกที่ละลายในตัวทำละลายอินทรีย์เอทานอล-เบนซีน
วิเคราะห์ตาม TAPPI T204 Om-88**

1. ชั่งตัวอย่างที่เตรียมไว้ ประมาณ 3 กรัมแล้วใส่ลงไปใน อุปกรณ์กรอง (extraction thimble)
2. ตวงสารละลายผสมของเอทานอล/เบนซีน (อัตราส่วน 1:2 โดยปริมาตร) จำนวน 200 มล ใส่ลงในขวดกันกลมขนาด 250 มล
3. ทำการสกัดด้วย soxhlet apparatus ควบคุมอุณหภูมิและจุดเดือดของสารละลาย และใช้เวลาสกัดประมาณ 4-5 ชั่วโมง
4. นำสารละลายที่ได้จากการสกัดไประเหย ให้เหลือปริมาตรประมาณ 20-25 ml โดย เครื่อง rotary evaporator และเทใส่บีกเกอร์ ที่รู้น้ำหนักแล้วนำไประเหยใน oven ซึ่ง ตั้งอุณหภูมิไว้ที่ $100 \pm 5^{\circ}\text{C}$ จนกระทั่งแห้ง แล้วนำออกมาทำให้เย็นในตู้ดูดความชื้น (dessicator) และซึ่งน้ำหนักของสารที่เหลือรวมกับน้ำหนักของบีกเกอร์
5. ทำ blank หรือการทดลองเปรียบเทียบโดยการนำสารตัวทำละลายเอทานอล/เบนซีน 200 มล ไประเหยให้แห้งโดยทำการทดลองต่างๆ เมื่อกับการทดลองข้อ 4
6. คำนวนหาเปอร์เซ็นต์สารแพรกที่ละลายในตัวทำละลายจากสูตร

$$\text{สารแพรก} = [(W_e - W_b)/W_p] \times 100$$

เมื่อ W_e คือ น้ำหนักแห้งเป็นกรัมของสารที่ถูกสกัด

W_b คือ น้ำหนักแห้งเป็นกรัมของ blank

W_p คือ น้ำหนักแห้งเป็นกรัมของตัวอย่างไม้ที่ใช้ทดลอง

ภาคผนวก ก-3 การหาปริมาณไฮโลเชลลูโลสโดยวิธี acid chlorite ด้วยวิธีของ Browning ใน method of wood chemistry มีขั้นตอนการทดลองดังนี้

1. ซึ่งน้ำหนักแห้งของตัวอย่างไม้ที่ปราศจากสารแทรกประมาณ 3 กรัม ใส่ลงในขวดก้นกลมขนาด 250 ml
2. เติมน้ำกลั่น 160 ml , กรดอะซิติก 0.5 ml และโซเดียมคลอไรต์ 1.5 ± 0.1 กรัม ตามลำดับลงในขวดกันกลมและทำการทดลองในตู้ดูดควัน
3. นำขวดกันกลมไปตั้งใน water bath ที่มีอุณหภูมิประมาณ $70-80^{\circ}\text{C}$ เป็นเวลา 1 ชั่วโมงโดยเขย่าขวดอย่างสม่ำเสมอ
4. หลังจากครบ 1 ชั่วโมง เติมกรดอะซิติก 0.5 ml ตามด้วย โซเดียมคลอไรต์ 1.5 กรัม ลงในสารละลายที่ยังร้อนอยู่แล้วเขย่าขวด
5. หลังจากครบ 2 ชั่วโมง และ 3 ชั่วโมง ให้ปฏิบัติตามข้อ 4 เมื่อครบทั้ง 4 เมื่อครบชั่วโมง
6. นำขวดกันกลมมาวางในอ่างน้ำแข็งจันกระทั้งสารละลายในขวดมีอุณหภูมิต่ำกว่า 10°C และนำสารละลายมากรองผ่าน sinter glass crucible เบอร์ 3 ล้างด้วยน้ำเย็น และอะซีโตนหลังจากนั้นนำไปอบให้แห้งในเตาอบที่อุณหภูมิ $100 \pm 5^{\circ}\text{C}$ หลังจากอบแล้วนำมาซึ่งน้ำหนัก และเก็บตัวอย่างไว้เคราะห์หาปริมาณแอลฟ่าเชลลูโลสต่อไป
7. คำนวณหาปริมาณไฮโลเชลลูโลสจาก

$$\% \text{ไฮโลเชลลูโลส} = \frac{\text{น้ำหนักแห้งของไฮโลเชลลูโลสหลังการอบ}}{\text{น้ำหนักแห้งของตัวอย่างไม้}} \times 100$$

ภาคผนวก ก-4 การหาปริมาณแอลฟ่าเซลลูโลส วิเคราะห์ตาม TAPPI T203 om-88 มีขั้นตอน
การทดลองดังนี้

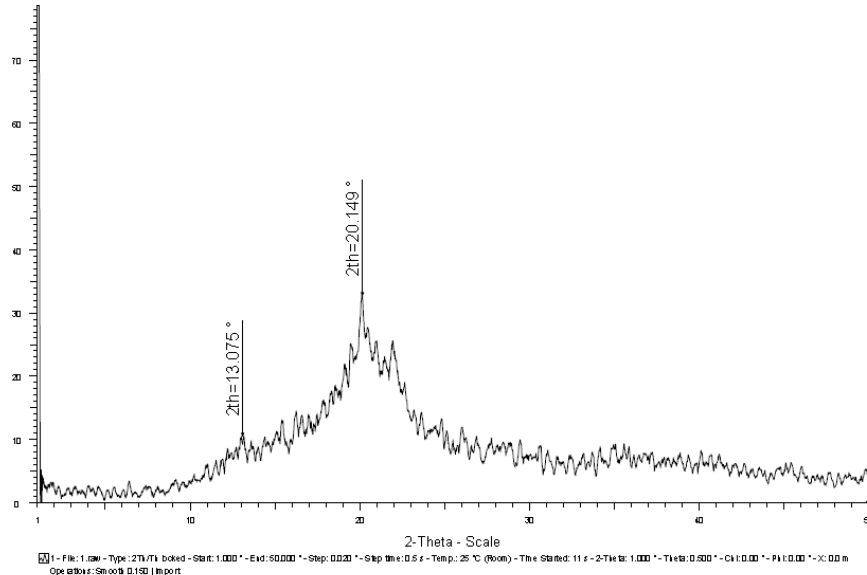
1. ซั่งตัวอย่างจากการวิเคราะห์ % ไฮโลเซลลูโลสประมาณ 1.5 ± 0.1 กรัม ใส่ลงในบีก
เกอร์ขนาด 400 ml เติมสารละลายโซเดียมไฮดรอกไซด์เข้มข้น 17.5% ปริมาตร 75
ml ลงไป ปรับอุณหภูมิของสารละลายให้อยู่ที่ปริมาณ $2.5 \pm 0.2^{\circ}\text{C}$
2. คนสารละลายด้วยเครื่องวนจนกระทั้งเยื่อกระจาอยอย่างสมบูรณ์
3. ล้างเครื่องวนด้วยสารละลายโซเดียมไฮดรอกไซด์เข้มข้น 17.5% ปริมาตร 2.5 ml
(ปริมาตรรวมของสารละลายเท่ากับ 100 ml)คนสารละลายด้วยแท่งแก้วนำไปแช่
ในอ่างน้ำตามที่ควบคุมอุณหภูมิ $2.5 \pm 0.2^{\circ}\text{C}$ เป็นเวลา 30 นาที
4. เติมน้ำกําลังในสารละลายปริมาตร 100 ml และคนด้วยแท่งแก้ว ทึ่ไว้อีก 30
นาที
5. กรองสารละลายโดยใช้ sinter crucible เบอร์ 3
6. ล้างเยื่อที่เหลือด้วยน้ำกําลังจนกระทั้งเป็นกลางและ 10% กรดอะซิติก ปริมาตร 40
ml นำไปอบแห้งที่ 105°C ในเตาอบ
7. คำนวนหา%แอลฟ่าเซลลูโลสจาก

$$\% \text{แอลฟ่าเซลลูโลส} = \frac{\text{น้ำหนักแอลฟ่าเซลลูโลส} \times 100}{\text{น้ำหนักตัวอย่าง}}$$

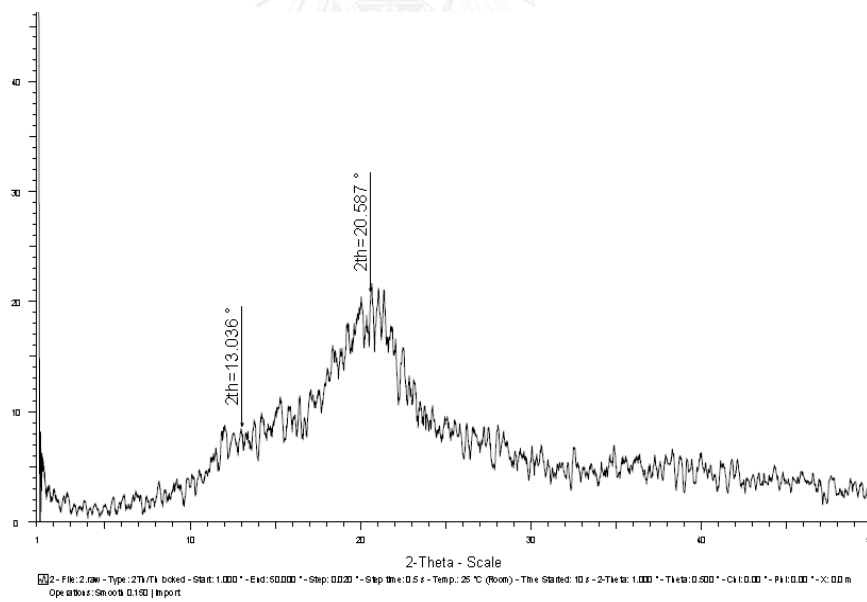
จุฬาลงกรณ์มหาวิทยาลัย
CHULALONGKORN UNIVERSITY

ภาคผนวก ข

ภาคผนวก ข-1 การวิเคราะห์ความเป็นผลึกของเซลลูโลสไฟบริลด้วยเทคนิค XRD

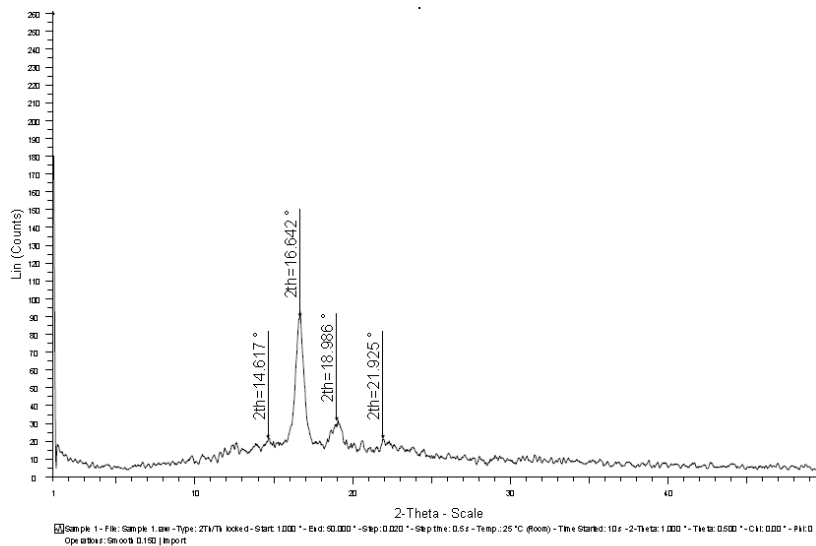


รูปที่ ข-1 ผลการศึกษาความเป็นผลึกของเซลลูโลสที่เตรียมโดยไม่ผสมไครโตซานด้วยเทคนิค XRD



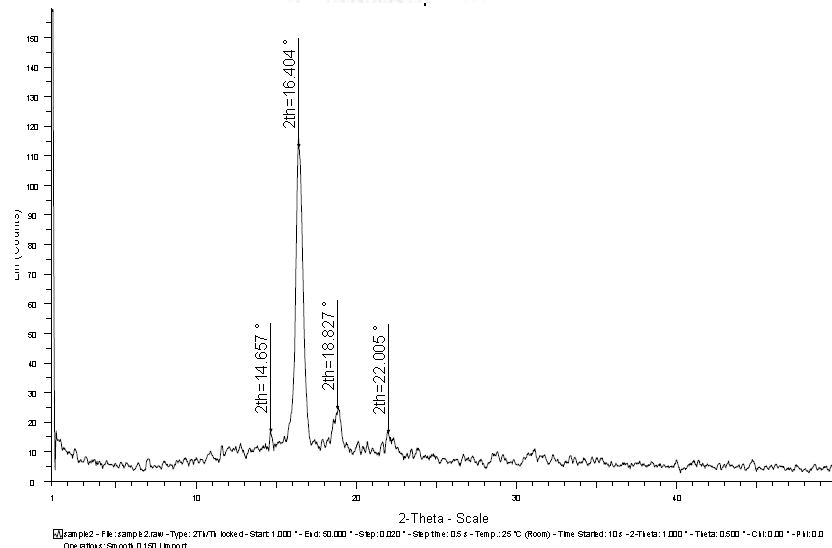
รูปที่ ข-2 ผลการศึกษาความเป็นผลึกของเซลลูโลสที่เตรียมโดยผสมไครโตซานด้วยเทคนิค XRD

ภาคผนวก ข-2 การวิเคราะห์ความเป็นผลึกพอลิเมอร์ผสมด้วยเทคนิค XRD



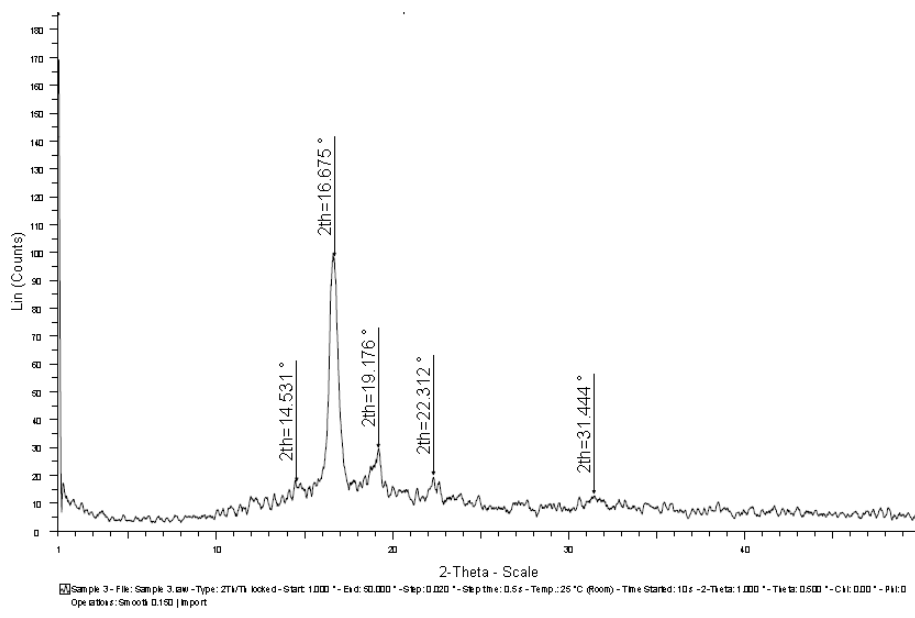
รูปที่ ข-3 การวิเคราะห์ความเป็นผลึกของพอลิเมอร์ผสมในอัตราส่วน

PLA200:PVAc100:cellulose100ด้วยเทคนิค XRD



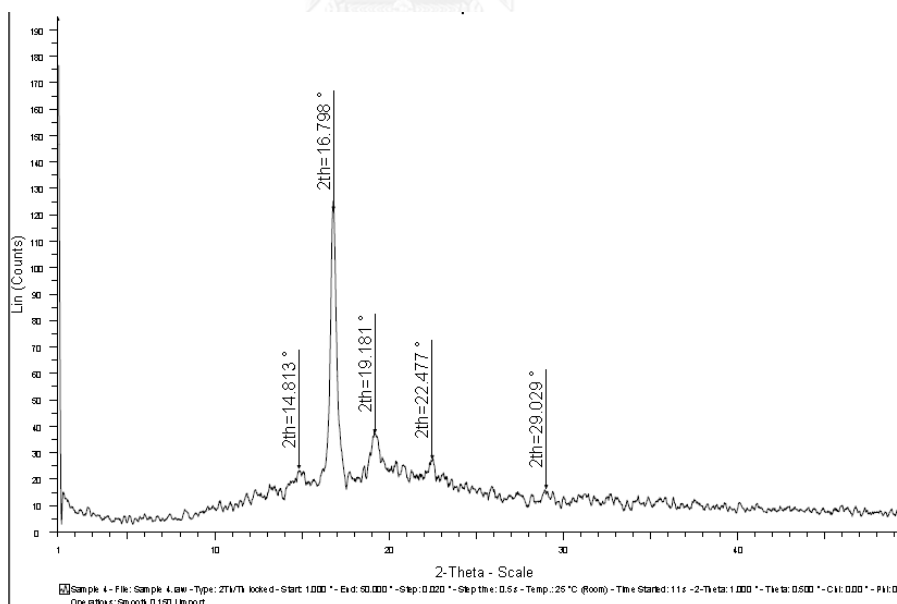
รูปที่ ข-4 การวิเคราะห์ความเป็นผลึกของพอลิเมอร์ผสมในอัตราส่วน

PLA150:PVAc100:cellulose100ด้วยเทคนิค XRD



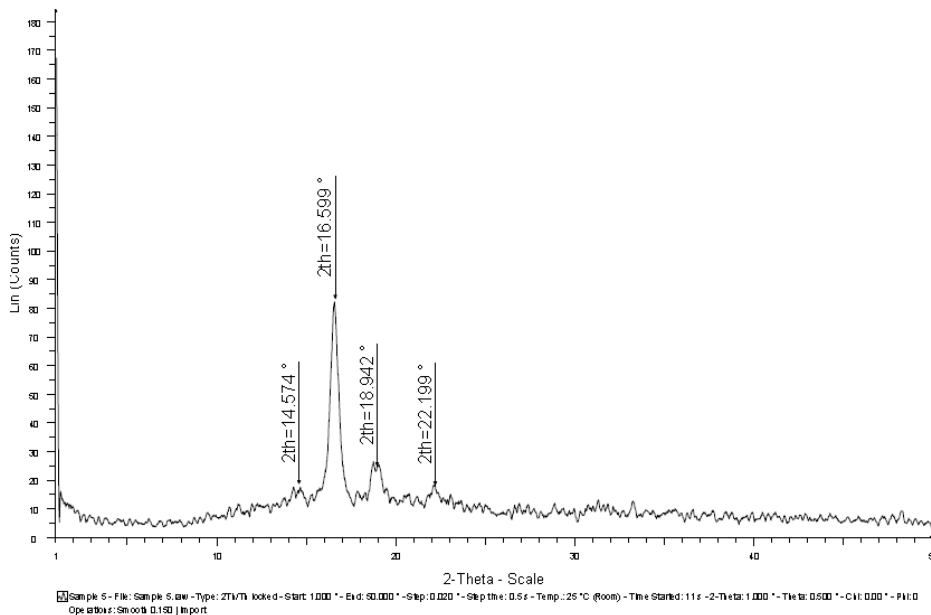
รูปที่ ข-5 การวิเคราะห์ความเป็นผลึกของพอลิเมอร์ผสมในอัตราส่วน

PLA100:PVAc100:cellulose100ด้วยเทคนิค XRD

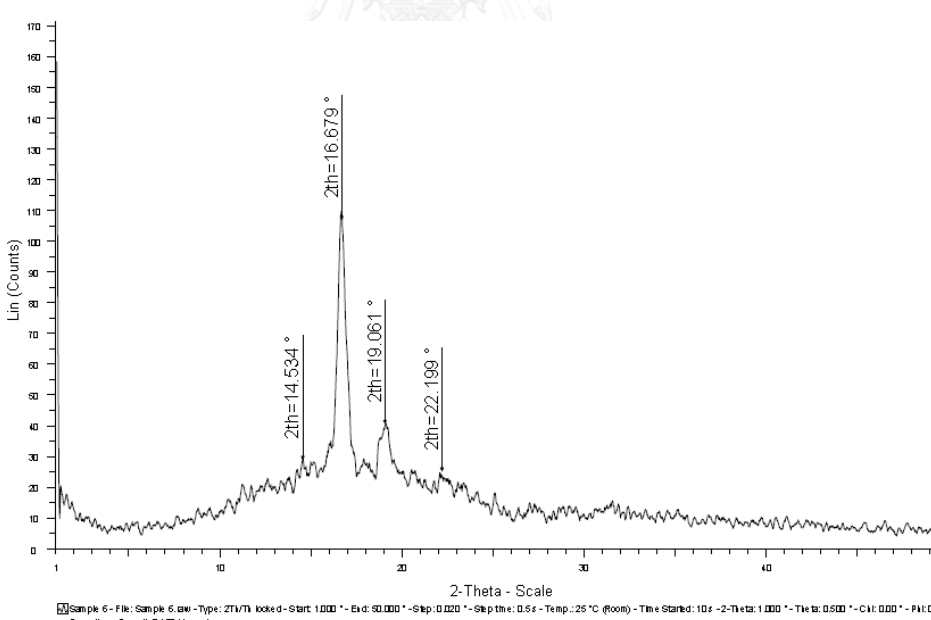


รูปที่ ข-6 การวิเคราะห์ความเป็นผลึกของพอลิเมอร์ผสมในอัตราส่วน

PLA200:PVAc75:cellulose100ด้วยเทคนิค XRD



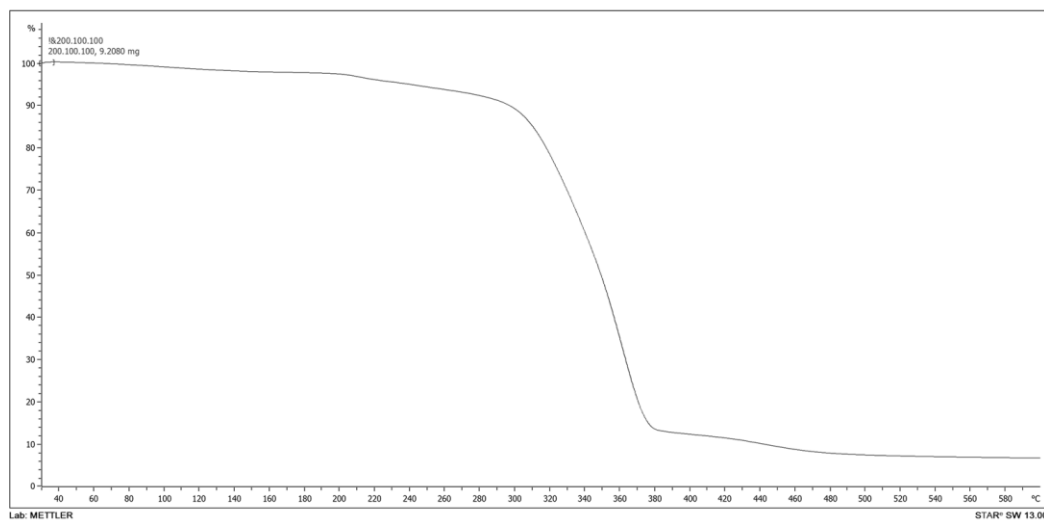
รูปที่ ข-7 การวิเคราะห์ความเป็นผลึกของพอลิเมอร์ผสมในอัตราส่วน
PLA200:PVAc50:cellulose100ด้วยเทคนิค XRD



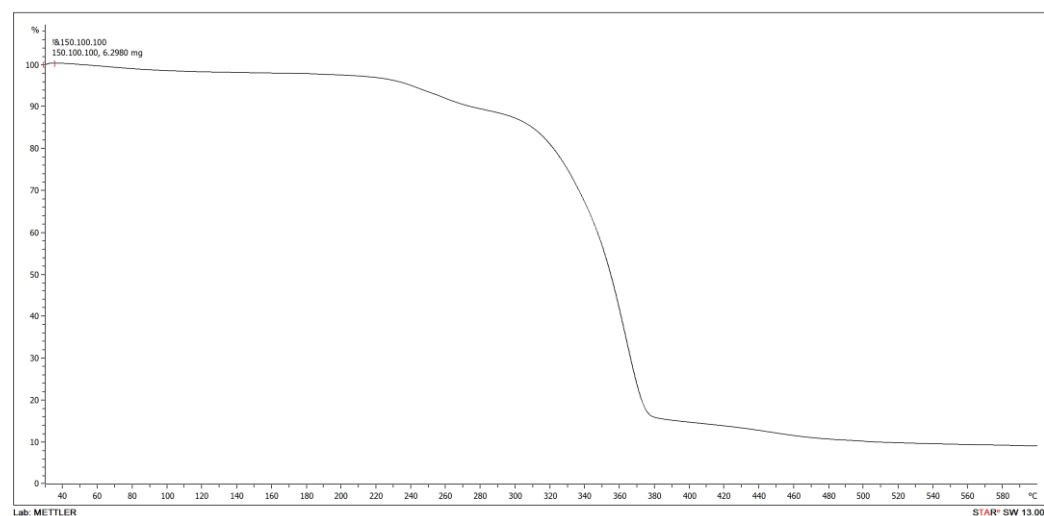
รูปที่ ข-8 การวิเคราะห์ความเป็นผลึกของพอลิเมอร์ผสมในอัตราส่วน
PLA200:PVAc25:cellulose100ด้วยเทคนิค XRD

ภาคผนวก ค

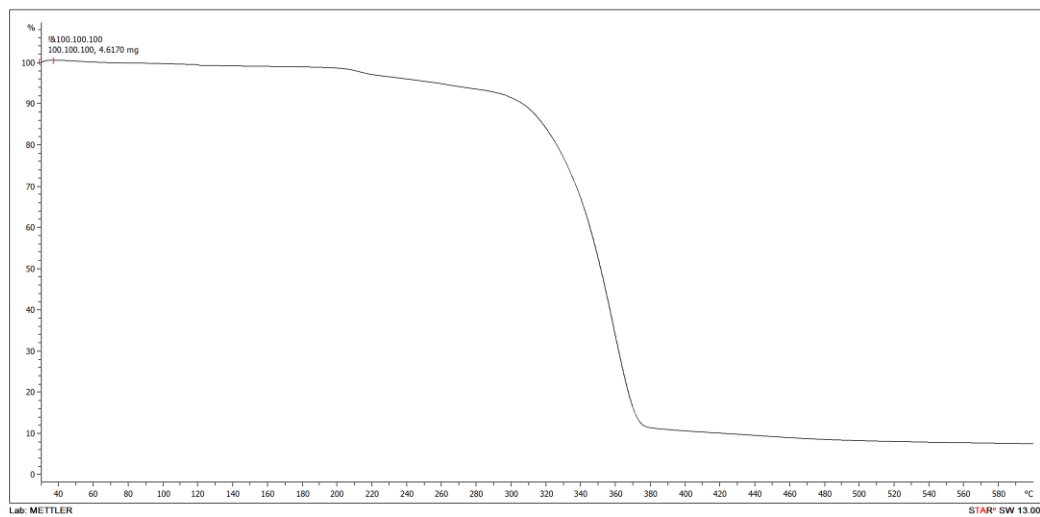
ภาคผนวก ค.1 การวิเคราะห์สมบัติทางความร้อนของพอลิเมอร์ผสมพอลิแล็กทิกแอซิด/พอลิไวนิลแอ็ซีเทต/เซลลูโลสนาโนไฟเบรลด้วยเทคนิค TGA และ DSC



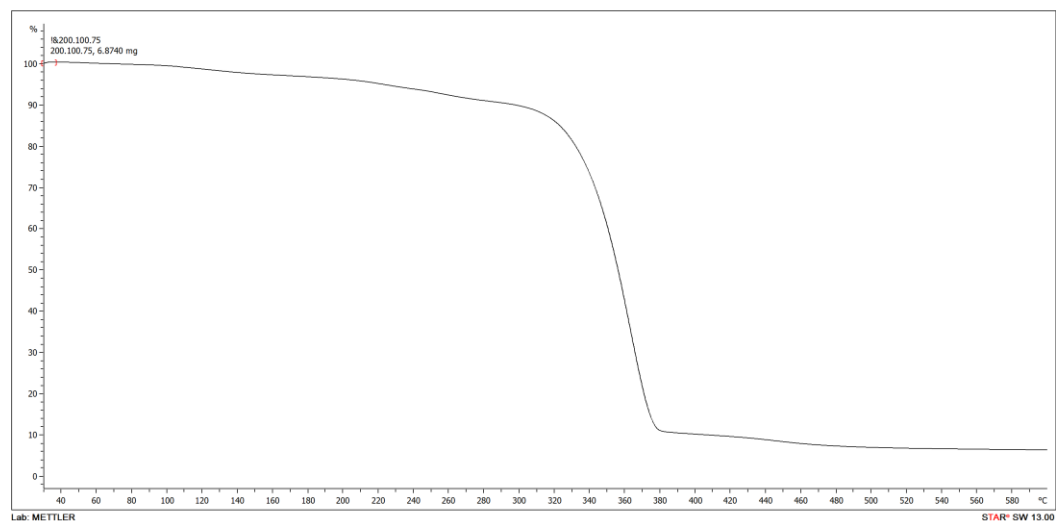
รูปที่ ค-1 TG เทอร์โมแกรมของพอลิเมอร์ผสมในอัตราส่วน PLA200:PVAc100:cellulose100



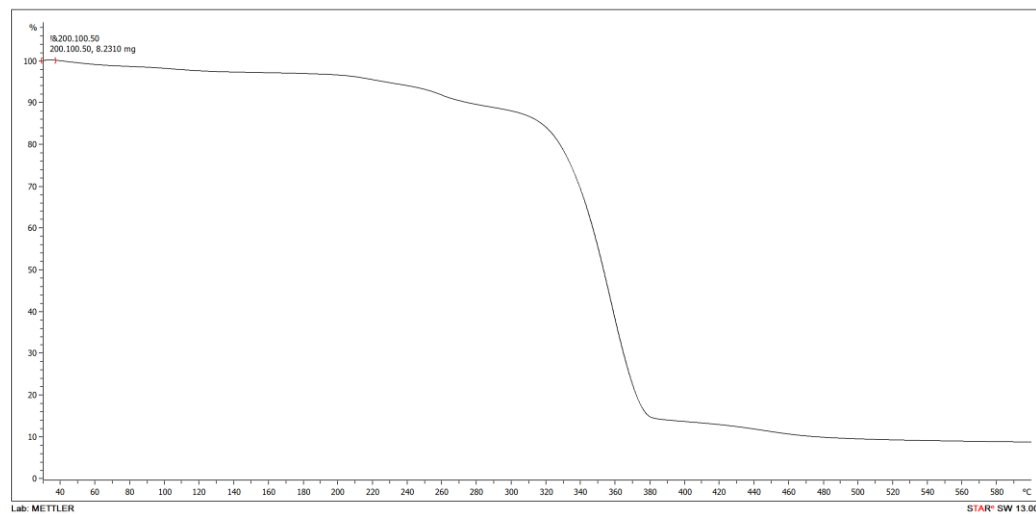
รูปที่ ค-2 TG เทอร์โมแกรมของพอลิเมอร์ผสมในอัตราส่วน PLA150:PVAc100:cellulose100



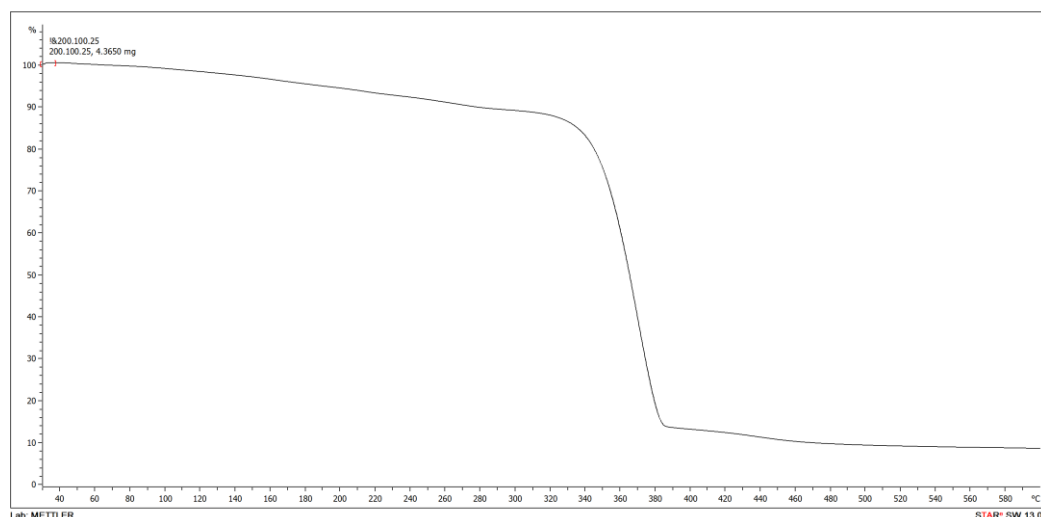
รูปที่ ค-3 TG เทอร์โมแกรมของพอลิเมอร์ผสมในอัตราส่วน PLA100:PVAc100:cellulose100



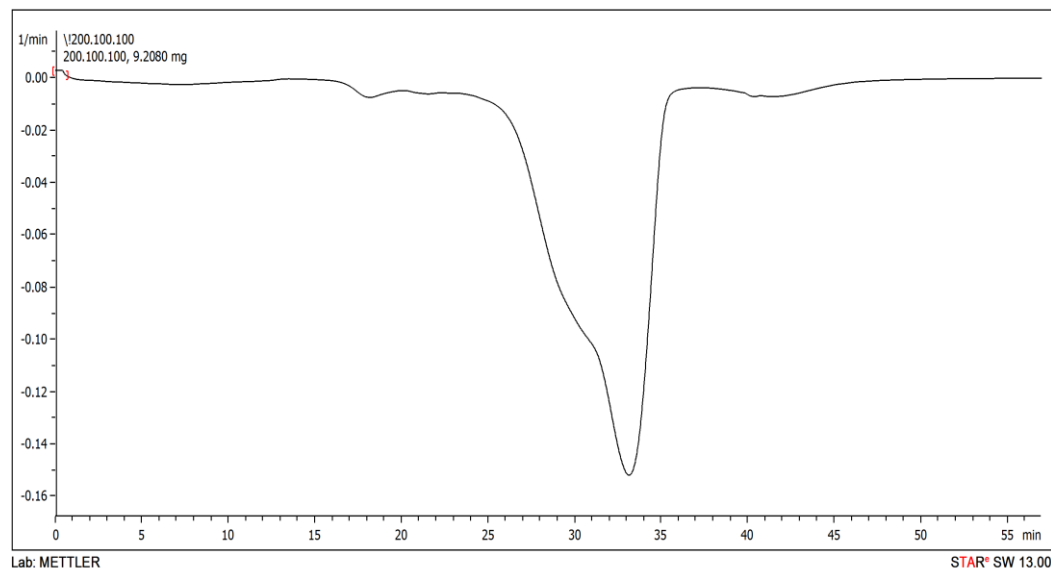
รูปที่ ค-4 TG เทอร์โมแกรมของพอลิเมอร์ผสมในอัตราส่วน PLA200:PVAc75:cellulose100



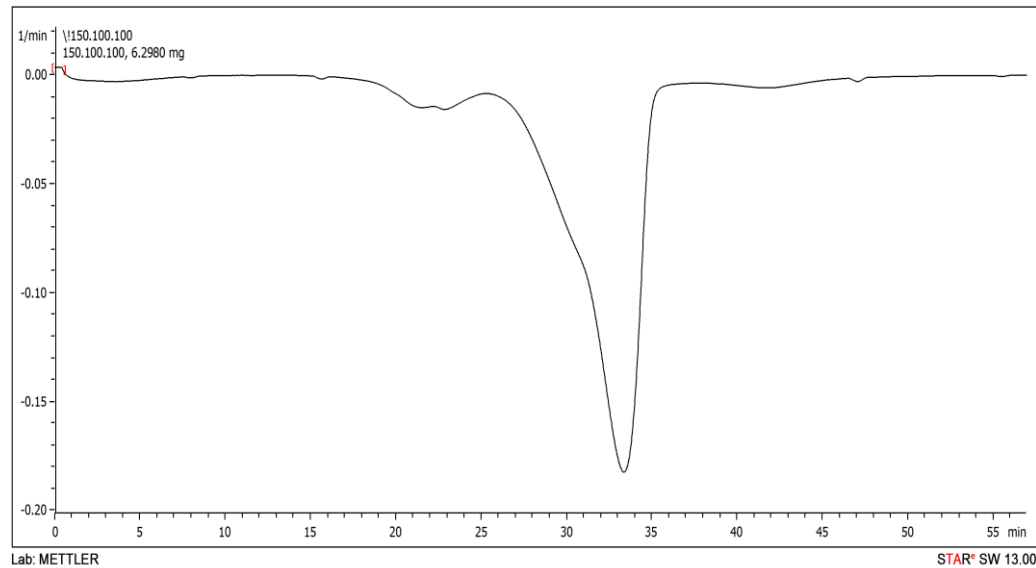
รูปที่ ค-5 TG เทอร์โมแกรมของพอลิเมอร์ผสมในอัตราส่วน PLA200:PVAc50:cellulose100



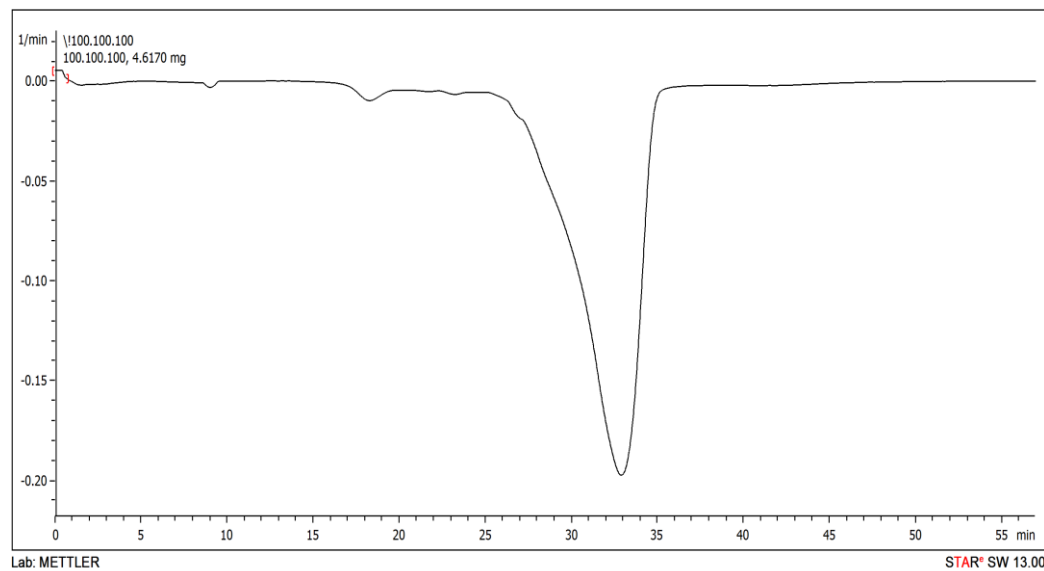
รูปที่ ค-6 TG เทอร์โมแกรมของพอลิเมอร์ผสมในอัตราส่วน PLA200:PVAc25:cellulose100



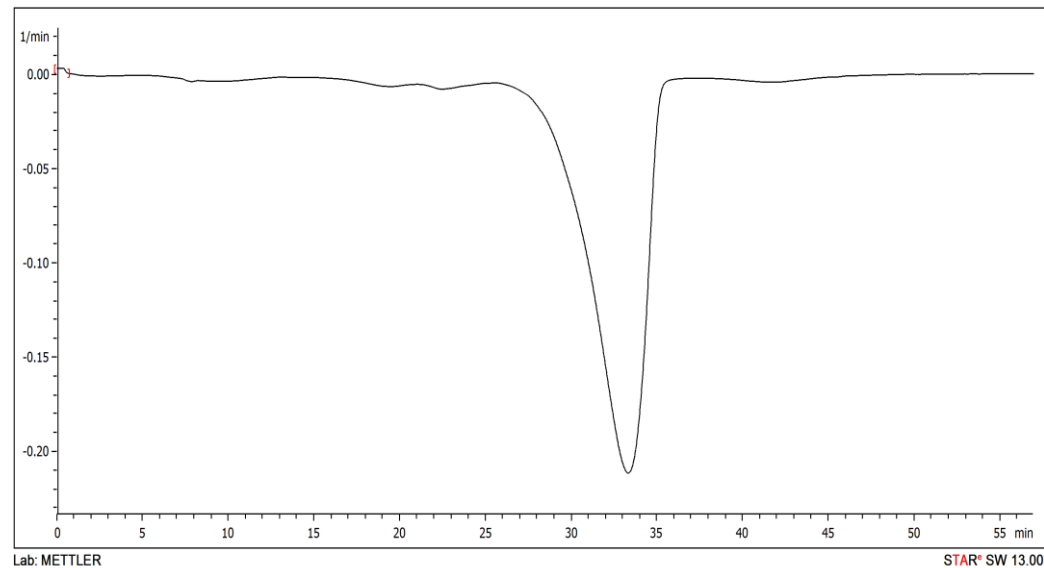
รูปที่ ค-7 DTG เทอร์โมแกรมของพอลิเมอร์ผสมในอัตราส่วน PLA200:PVAc100:cellulose100



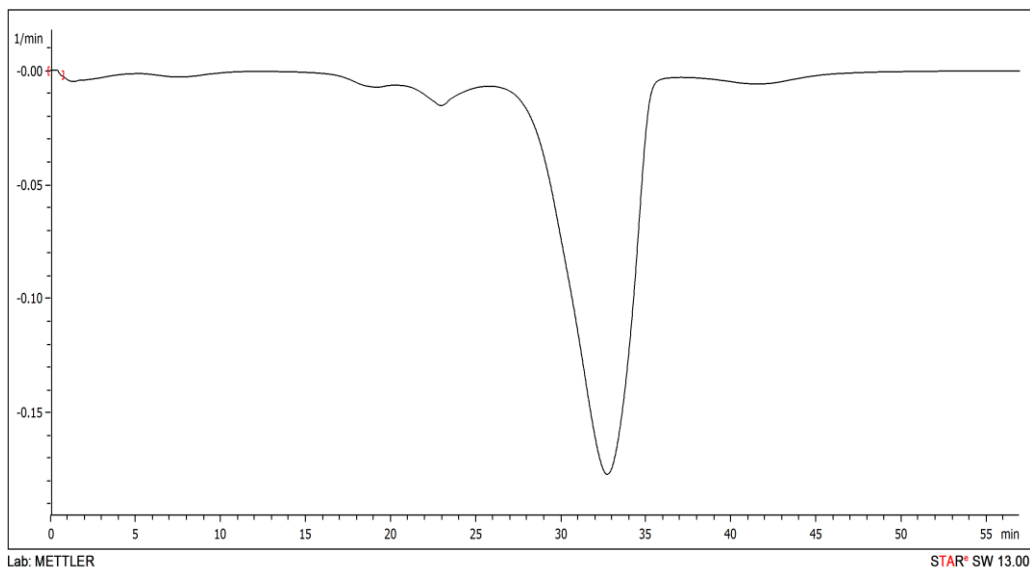
รูปที่ ค-8 DTG เทอร์โมแกรมของพอลิเมอร์ผสมในอัตราส่วน PLA150:PVAc100:cellulose100



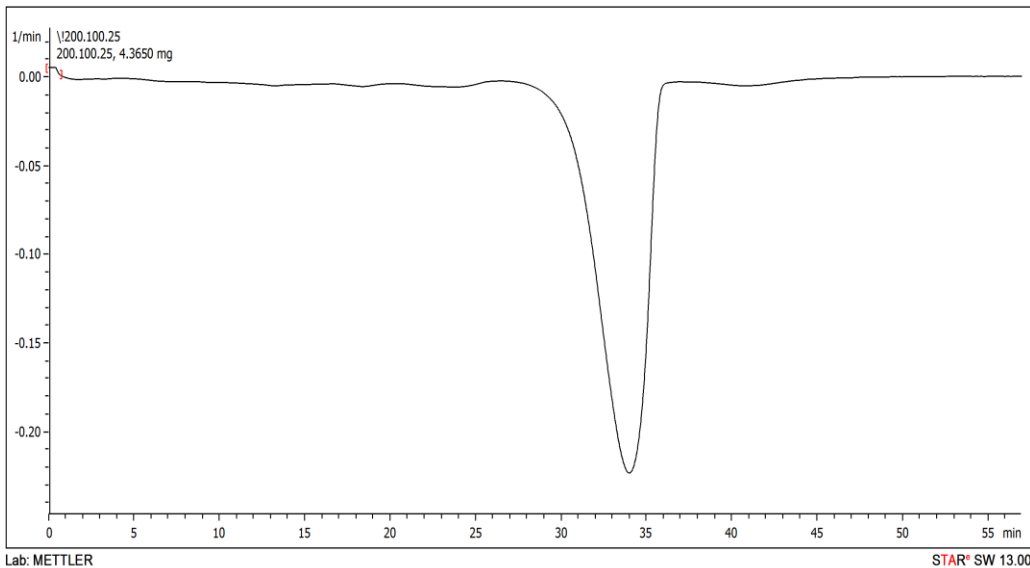
รูปที่ ค-9 DTG เทอร์โมแกรมของพอลิเมอร์ผสมในอัตราส่วน PLA100:PVAc100:cellulose100



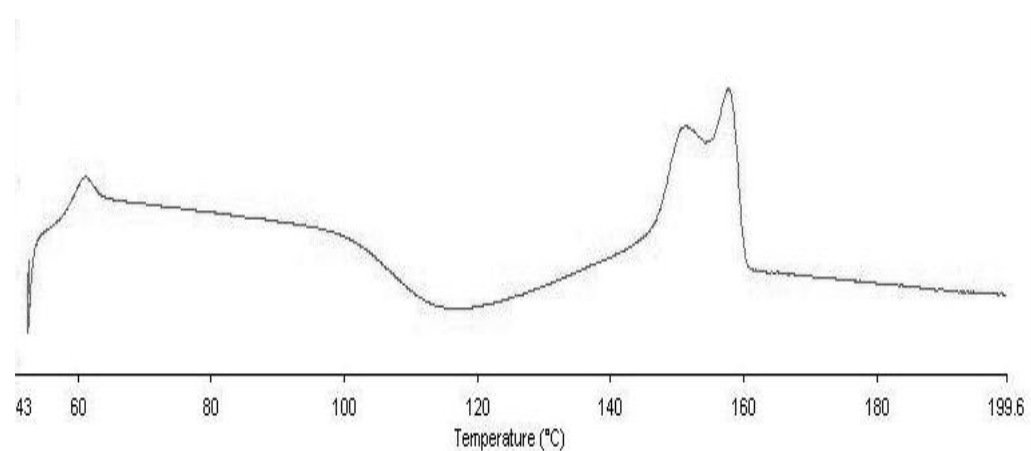
รูปที่ ค-10 DTG เทอร์โมแกรมของพอลิเมอร์ผสมในอัตราส่วน PLA200:PVAc75:cellulose100



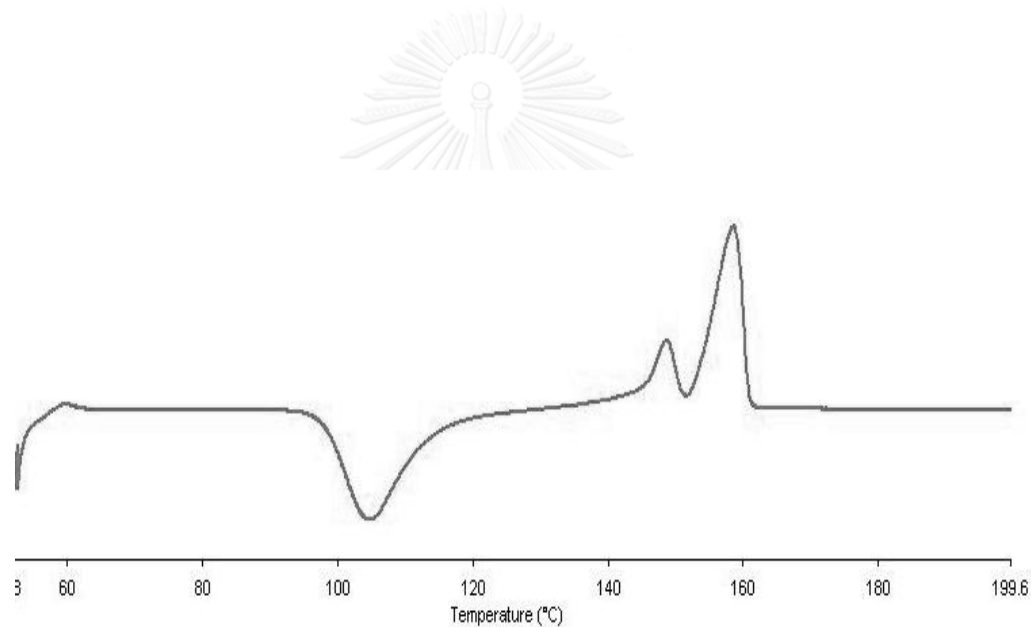
รูปที่ ค-11 DTG เทอร์โมแกรมของพอลิเมอร์ผสมในอัตราส่วน PLA200:PVAc50:cellulose100



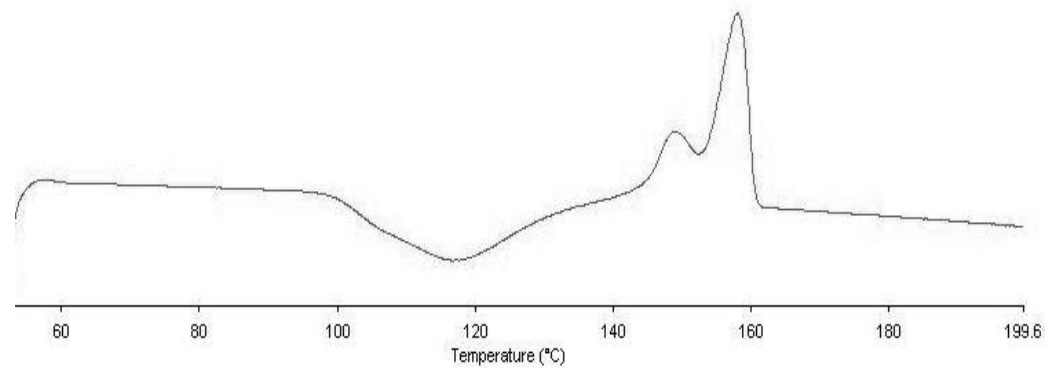
รูปที่ ค-12 DTG เทอร์โมแกรมของพอลิเมอร์ผสมในอัตราส่วน PLA200:PVAc25:cellulose100



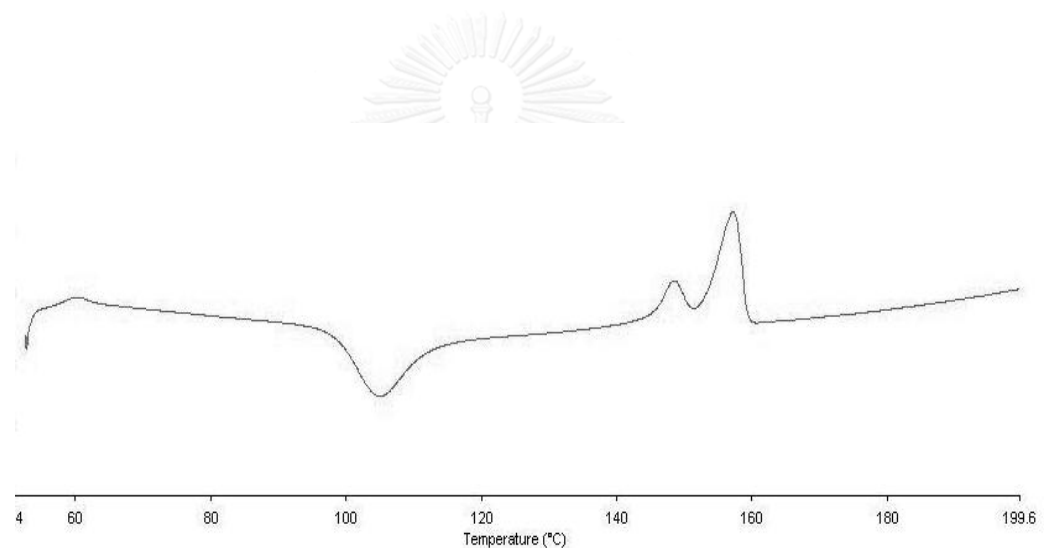
รูปที่ ค-13 DSC เทอร์โมแกรมของพอลิเมอร์ผสมในอัตราส่วน PLA200:PVAc100:cellulose100



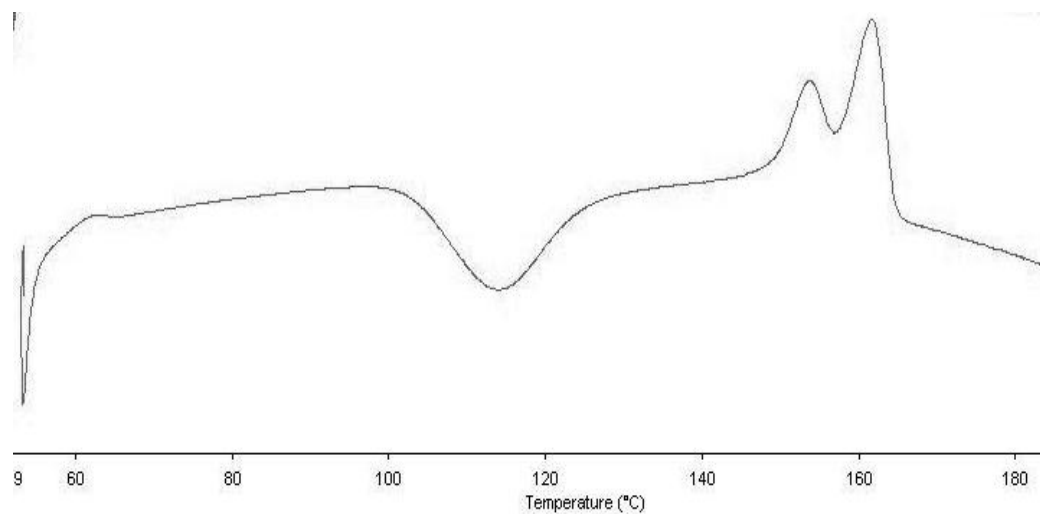
รูปที่ ค-14 DSC เทอร์โมแกรมของพอลิเมอร์ผสมในอัตราส่วน PLA150:PVAc100:cellulose100



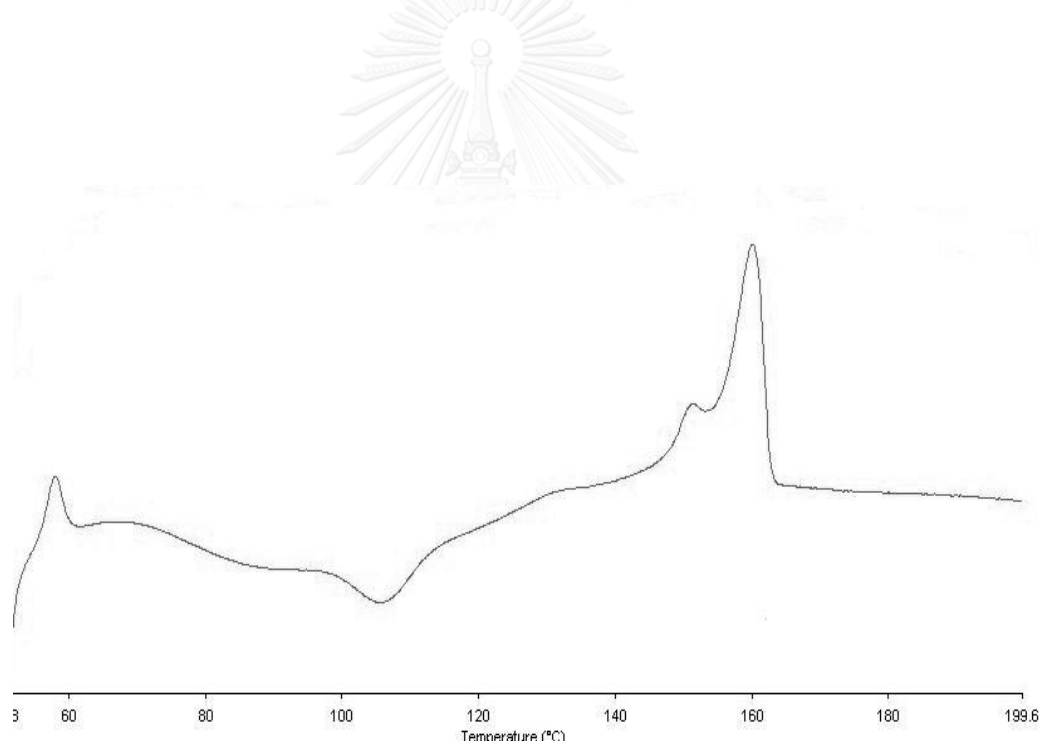
รูปที่ ค-15 DSC เทอร์โมแกรมของพอลิเมอร์ผสมในอัตราส่วน PLA100:PVAc100:cellulose100



รูปที่ ค-16 DSC เทอร์โมแกรมของพอลิเมอร์ผสมในอัตราส่วน PLA200:PVAc75:cellulose100



รูปที่ ค-17 DSC เทอร์โมแกรมของพอลิเมอร์ผสมในอัตราส่วน PLA200:PVAc50:cellulose100



รูปที่ ค-18 DSC เทอร์โมแกรมของพอลิเมอร์ผสมในอัตราส่วน PLA200:PVAc25:cellulose100



